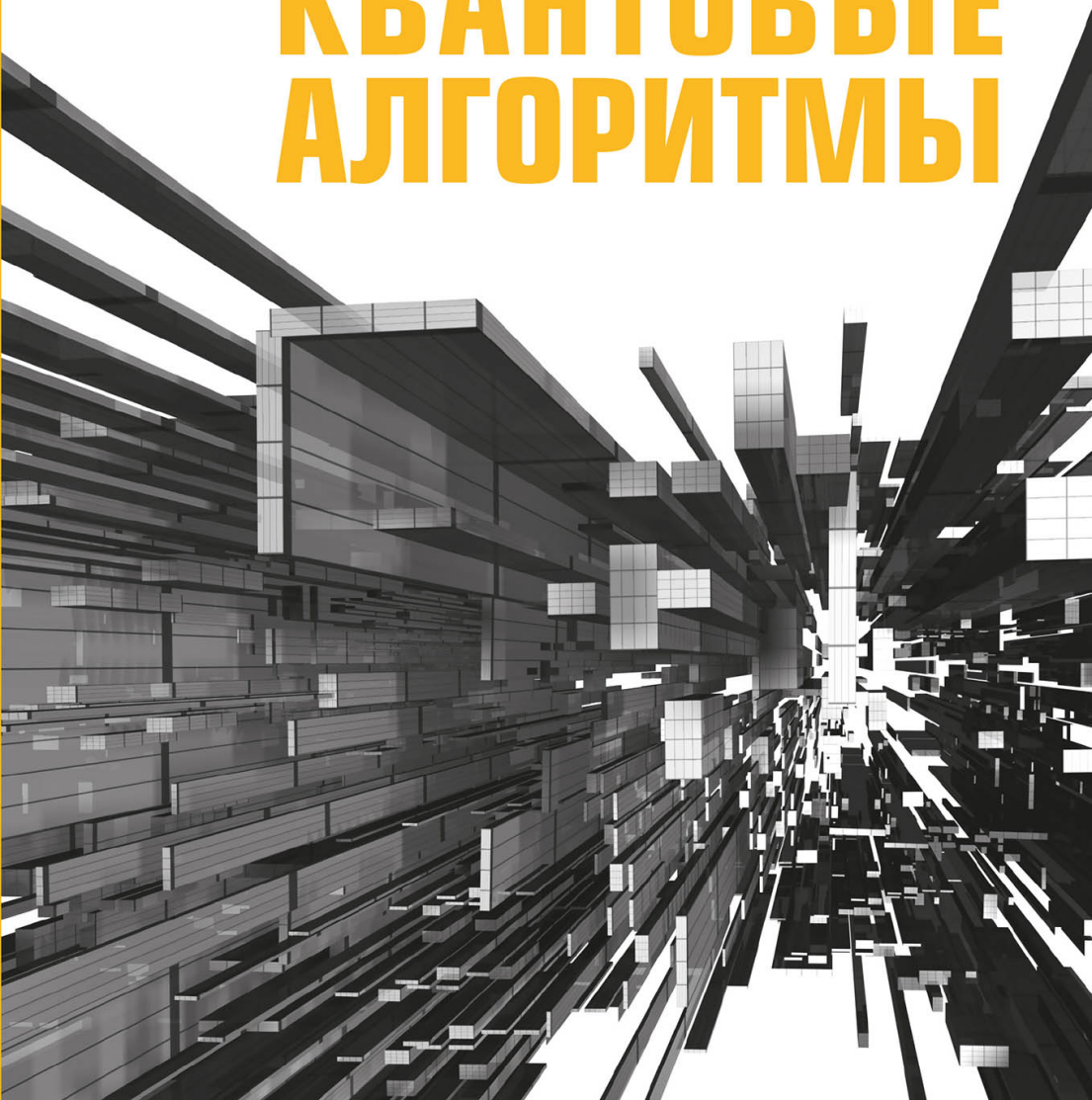




САНКТ-ПЕТЕРБУРГСКИЙ  
ГОСУДАРСТВЕННЫЙ  
УНИВЕРСИТЕТ

С. С. СЫСОЕВ

ВВЕДЕНИЕ  
В КВАНТОВЫЕ ВЫЧИСЛЕНИЯ  
**КВАНТОВЫЕ  
АЛГОРИТМЫ**



САНКТ-ПЕТЕРБУРГСКИЙ ГОСУДАРСТВЕННЫЙ УНИВЕРСИТЕТ

С. С. Сысоев

ВВЕДЕНИЕ  
В КВАНТОВЫЕ ВЫЧИСЛЕНИЯ.  
КВАНТОВЫЕ АЛГОРИТМЫ

*Учебное пособие*



ИЗДАТЕЛЬСТВО САНКТ-ПЕТЕРБУРГСКОГО УНИВЕРСИТЕТА

УДК 519.684:004.4  
ББК 22.18+32.973.2  
С95

Рецензенты: д-р физ.-мат. наук, проф. *О. Н. Граничин* (С.-Петерб. гос. ун-т), канд. физ.-мат. наук *А. В. Рыбин* (С.-Петерб. нац. исслед. ун-т информ. технологий, механики и оптики)

*Рекомендовано к публикации  
учебно-методической комиссией  
математико-механического факультета  
Санкт-Петербургского государственного университета*

**Сысоев С. С.**

С95 Введение в квантовые вычисления. Квантовые алгоритмы: учеб. пособие. — СПб.: Изд-во С.-Петерб. ун-та, 2019. — 144 с.  
ISBN 978-5-288-05933-9

В учебном пособии рассматривается математическая модель квантовых вычислений, разбираются примеры квантовых алгоритмов, анализируются границы их применимости. Все квантовые алгоритмы иллюстрируются примерами их реализации на симуляторе квантового компьютера, а для задачи Дойча приводится реальный прототип квантового компьютера на фотонах.

Предназначено для студентов, обучающихся по направлению «Математическое обеспечение и администрирование информационных систем». Может быть полезно математикам и программистам.

**УДК 519.684:004.4  
ББК 22.18+32.973.2**

ISBN 978-5-288-05933-9

© Санкт-Петербургский  
государственный  
университет, 2019  
© С. С. Сысоев, 2019

## ОГЛАВЛЕНИЕ

<b>Предисловие .....</b>	<b>5</b>
<b>Глава 1. Вычисления. От классических к квантовым ..</b>	<b>7</b>
1.1. Введение .....	7
1.2. Информация и вычисления .....	9
1.3. Характеристики вычислительной системы .....	15
1.4. Вычислимость и алгоритм .....	17
1.5. Сложность вычислений .....	21
1.6. Квантовые вычисления .....	25
1.7. Многомировая интерпретация квантовой механики .....	29
1.8. Упражнения .....	34
<b>Глава 2. Математическая модель     квантовых вычислений .....</b>	<b>35</b>
2.1. Кубит .....	—
2.2. Измерение кубита .....	39
2.3. Система кубитов .....	44
2.4. Измерение системы кубитов .....	48
2.5. Эволюция квантовой системы .....	50
2.6. Оператор Адамара .....	57
2.7. Упражнения .....	59
<b>Глава 3. Квантовый компьютер     и квантовые алгоритмы .....</b>	<b>64</b>
3.1. Задача Дойча .....	—
3.2. Квантовый компьютер на фотонах .....	70
3.3. Задача Дойча—Джозы .....	80
3.4. Задача Бернштейна—Вазирани .....	83
3.5. Задача Саймона .....	84
3.6. Упражнения .....	86

<b>Глава 4. Алгоритм Шора.....</b>	<b>89</b>
4.1. Введение.....	—
4.2. Факторизация и RSA.....	90
4.3. Поиск периода и факторизация.....	93
4.4. Квантовое преобразование Фурье.....	97
4.5. Алгоритм Шора.....	101
4.6. Пример реализации.....	107
4.7. Упражнения.....	109
<b>Глава 5. Алгоритм Гровера</b>	
<b>и границы квантовых вычислений.....</b>	<b>114</b>
5.1. Введение.....	—
5.2. Алгоритм Гровера.....	116
5.3. Оптимальность алгоритма Гровера.....	126
5.4. Всегда ли квантовый компьютер	
имеет преимущество перед классическим?.....	131
5.5. Упражнения.....	133
<b>Использованная литература.....</b>	<b>136</b>
<b>Рекомендованная литература.....</b>	<b>137</b>
<b>Ответы к упражнениям.....</b>	<b>139</b>

## ПРЕДИСЛОВИЕ

Настоящее учебное пособие предназначено для математиков и программистов, желающих разобраться в относительно новой, стремительно растущей области — квантовых вычислениях. Вопрос о том, какие технологии позволят нам создать вычислительные устройства следующего поколения, пока остается открытым, но предварительный ответ на него дать уже можно: будущее за квантовыми компьютерами.

Ответ этот, несмотря на отсутствие в настоящее время технологической базы для создания практически полезного квантового компьютера, тем не менее обоснован. Во введении мы познакомим читателя с основными аргументами, подтверждающими эту точку зрения. Прямым и очевидным следствием такого взгляда является прогноз того, что в ближайшем будущем в сфере информационных технологий, информатики и алгоритмов потребуются специалисты нового профиля — квантовые алгоритмисты и программисты. Подготовка таких специалистов — важная и сложная задача, частичному решению которой и посвящено это пособие.

Для освоения материала читателю потребуются некоторые предварительные знания из теории сложности вычислений, линейной алгебры и теории операторов, математического анализа и теории чисел. Необходимо будет вспомнить, что такое линейный оператор в конечномерном пространстве, как определяется скалярное произведение векторов, что из себя представляет кольцо вычетов по простому модулю и тому подобные вещи.

Учебный материал в настоящем пособии организован следующим образом. В главе 1 рассматривается понятие «вычис-

ление» в отношении к реализующему его физическому процессу. Выделяются некоторые важные характеристики физических процессов и их эволюция, известная как смена поколений ЭВМ. Обосновывается прогноз перехода к пятому поколению вычислительных машин, которое будет работать на основе квантовых систем. Далее, в главе 2, рассматривается математическая модель квантовых вычислений — квантовые данные и квантовые операции (гейты). Глава 3 посвящена разбору простейших примеров квантовых алгоритмов в хронологическом порядке их публикаций в работах Дойча и Джозы, Бернштейна и Вазирани, Саймона. Этот материал готовит читателя к материалу глав 4 и 5, в которых описаны алгоритм факторизации составных чисел Питера Шора и обобщенный алгоритм решения задач из класса NP Лова Гровера. Кроме того, в главе 5 обсуждаются границы применимости квантовых алгоритмов и разбирается задача, для решения которой квантовые компьютеры не дают существенного ускорения.

Все квантовые алгоритмы иллюстрируются примерами их реализации на симуляторе квантового компьютера, а для задачи Дойча приводится реальный прототип квантового компьютера на фотонах, который любознательные читатели могут собрать самостоятельно.

# Глава 1

## Вычисления. От классических к квантовым

### 1.1. Введение

Математики и программисты привыкли воспринимать вычисления как абстрактный процесс, не имеющий физической основы. Тем не менее любое устройство, выполняющее вычисления, основано на каком-либо физическом процессе. Принятие данного факта приводит к отказу от платоновского мира идей, зато при этом открываются великолепные перспективы для экспериментов с различными физическими системами.

Поколения ЭВМ являются наглядной иллюстрацией истории таких экспериментов. До ЭВМ вычисления выполнялись механическими системами. Потом появились устройства, основанные на электромагнитных реле, радиолампах, транзисторах... Каждый последующий тип устройства был эффективнее предыдущего, поэтому естественно было бы ожидать появления новых, еще более эффективных ЭВМ.

Вместе с устройствами эволюционировали и алгоритмы. В 1936 году Алан Тьюринг предложил математическую модель вычислений, названную впоследствии машиной Тьюринга. Модель Тьюринга [Turing, 1938] формализовала понятие алгоритма (способа



вычисления некоторой функции на физическом устройстве), что позволило ввести понятие вычислимости и в дальнейшем — понятие сложности вычислений. Тогда же, в 1936 году, Тьюринг показал, что существуют невычислимые (undecidable) функции — такие функции, которые можно формально определить, но для вычисления которых невозможно предложить алгоритм.

Понятие сложности вычислений (количества ресурсов, необходимых для выполнения алгоритма) позволило выделить классы задач, названных неразрешимыми (intractable). В отличие от невычислимых функций, для них существуют алгоритмы, работающие за конечное время. Однако ресурсы, необходимые для выполнения этих алгоритмов, растут слишком быстро (например, экспоненциально) с увеличением размера входных данных.

С появлением неразрешимых задач возникла потребность в физических устройствах, вычислительные возможности которых зависели бы экспоненциально от размеров (ресурсов) устройства. В 1981 году нобелевский лауреат по физике Ричард Фейнман предложил построить вычислительное устройство на основе квантовой системы. Оптимизм Фейнмана [Feynman, 1982] был основан на том, что простейшая квантовая система намного сложнее простейшей классической системы. Кроме того, линейным ростом квантовой системы вызывается экспоненциальный рост сложности ее описания. Например, для классического описания состояния 10-кубитной системы потребуется 1024 комплексных числа, а для 30 кубит — более миллиарда комплексных чисел.

Уже в 1985 году Дэвид Дойч [Deutsch, 1985] разработал математическую модель универсального квантового компьютера и показал некоторые ее преимущества перед классической моделью. А в 1994-м Питер Шор взорвал научную общественность, опубликовав полиномиальный квантовый алгоритм разложения составного числа на множители. Результат Шора [Shor, 1994] поставил под угрозу широко используемый алгоритм асимметричного шифрования RSA<sup>1</sup>.

---

<sup>1</sup> RSA — асимметричный алгоритм шифрования, названный по первым буквам фамилий его авторов — Rivest, Shamir, Adleman.

Таким образом, квантовые вычисления имеют все шансы превзойти современные классические компьютеры сразу по двум направлениям: 1) как более совершенный, быстрый и информационно емкий физический процесс, 2) как более перспективная в теоретическом смысле модель. Репертуар квантового компьютера шире, чем у классической машины Тьюринга (которая не может, например, генерировать случайные числа), а для многих сложных для классических вычислений задач уже существуют эффективные квантовые алгоритмы.

Цель этого курса — познакомить читателя с моделью квантовых вычислений, структурой и примерами квантовых алгоритмов. Квантовые вычисления — сравнительно новая область науки, и поэтому она может быть интересной для молодых исследователей, желающих работать на самом острие современной научной мысли.

Развитие аппаратной базы квантового компьютера в скором времени может породить спрос на алгоритмистов, способных понимать существующие квантовые алгоритмы и разрабатывать новые. Создание фундамента подобных знаний у читателей является главной задачей этого учебного пособия.

## 1.2. Информация и вычисления

Итак, перейдем к теме курса. Называется он «Квантовые вычисления», и сначала мы должны разобраться с обоими словами, составляющими это название. Начнем со слова «вычисление». Существует довольно много дополняющих друг друга определений этого понятия. Для наших целей подойдет самое общее определение, выделяющее важные для нас характеристики вычислений.

Вычисление — это конечный по времени физический процесс с фиксированным (не обязательно конечным) набором состояний, каждое из которых может быть описано в некоторой кодировке.

Выбор набора состояний и определение способа их описания зависят целиком от пользователя процесса. На одном и том же физическом явлении вычисления можно организовать

по-разному. Рассмотрим в качестве примера действия пастуха, не умеющего считать, описанные в популярной книге Дэвида Дойча «Начало бесконечности».

Каждое утро пастух выпускает своих овец из хлева на выпас, а по вечерам загоняет их обратно в хлев. В силу непреодолимых обстоятельств, не являющихся важными для читателя, пастух не умеет считать. Он не знает, сколько у него овец, и, по всей видимости, не считает эту информацию важной. Важно для него только то, чтобы число овец в стаде оставалось неизменным в течение дня. Недостаток овец вечером необходимо отслеживать, и если не все они вернутся, то пастух должен отправляться на поиски заблудившихся животных. Для решения этой задачи он использует вычислительное устройство — веревку, помогающую ему отслеживать неизменность числа овец утром и вечером. Утром при выходе каждой овцы из хлева пастух наматывает один виток веревки на столб, стоящий неподалеку. Вечером, загоняя овцу обратно, он разматывает один виток со столба. Если все витки к концу процесса размотаны, то пастух вправе полагать, что все овцы на месте.

Подобный вычислительный процесс, включающий в себя веревку, столб и пастуха, хорошо демонстрирует данное выше определение.

Во-первых, процесс, безусловно, основан на физических системах. Все его составляющие присутствуют в наблюдаемой вселенной, а одна из них — пастух — даже преобразовывает в ходе вычислений энергию. Пастух, являясь одновременно частью вычислителя и его пользователем, различает только шесть состояний процесса:

- 1) утро, веревка полностью размотана (**начальное состояние**);
- 2) утро, веревка наматывается на столб (сохранение числа овец);
- 3) вечер, веревка разматывается со столба (считывание числа овец);
- 4) вечер, все овцы зашли, веревка размотана неполностью (**конечное состояние**: недостаток овец);

- 5) вечер, веревка полностью размотана, но овцы зашли не все (**конечное состояние:** избыток овец);
- 6) вечер, все овцы зашли, веревка размотана полностью (**конечное состояние:** все овцы на месте).

Тот же самый пастух, прочитав учебник по арифметике, может существенно обогатить состояниями этот физический процесс, считая каждый отдельный виток веревки как самостоятельное состояние, несущее информацию о числе овец. Столб в этом случае становится инструментом «оцифровки» непрерывного параметра — длины веревки.

Пример этот, кроме всего прочего, показывает, что каждое состояние несет некоторую информацию (в заданной кодировке). Начальное состояние определяет входные данные процесса, конечное — выходные. То есть мы можем определить информацию как описание состояния некоторой физической системы.

Информация — это описание в некоторой кодировке состояния физической системы (не обязательно выполняющей вычисления).

Подобный материалистический подход позволит нам пойти еще дальше и определить такие понятия, как количество информации и количество вычислений.

Количество вычислений — это число смен состояний вычислительного процесса.

Для определения количества информации воспользуемся формулой Шеннона, предложенной американским криптоаналитиком Клодом Шенноном в 1948 году. Она определяет информационную емкость системы, имеющей  $n$  состояний, для каждого из которых определена его вероятность  $P_i$ :

$$I = - \sum_{i=1}^n P_i \log_b(P_i).$$

Те, кто помнит школьную физику, заметят несомненное сходство информации в этой формуле с энтропией системы.

Если мы возьмем логарифм по основанию 2 ( $b = 2$ ), то информационная емкость по формуле будет рассчитываться в битах. Бит — минимальная частичка информации, еще одно понятие, подаренное миру Клодом Шенноном.

Для системы, имеющей  $n$  равновероятных состояний, количество информации в битах по формуле Шеннона выглядит проще:

$$I = - \sum_{i=1}^n \frac{1}{n} \log_2 \frac{1}{n} = \log_2 n.$$

Например, для простейшего тумблера (рис. 1.1), имеющего два равновероятных состояния, мы получаем по формуле ( $I = \log_2 2 = 1$ ) информационную емкость 1 бит. Получается, что такой тумблер может хранить (содержать) 1 бит информации.

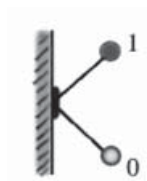


Рис. 1.1. Переключатель с двумя состояниями

Если мы добавим тумблеру третье состояние, то его информационная емкость увеличится и станет равной  $\log_3 \approx 1,6$  бит.

Оказывается, информация не только материальна, она еще и в некотором смысле эквивалентна энергии! Рассмотрим мысленный эксперимент, предложенный венгерским физиком Лео Сцилардом в 1929 году.

В этом эксперименте рассматривается камера, ограниченная с двух сторон подвижными невесомыми поршнями и разделенная перегородкой. Перегородку можно убирать (рис. 1.2).

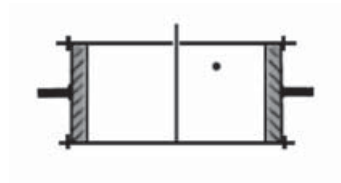


Рис. 1.2. Двигатель Сциларда

В камере находится одна молекула идеального газа с температурой  $T$ . В этой системе мы будем различать два состояния: когда молекула находится слева от перегородки (обозначим его как состояние 0) и когда она находится справа от перегородки (обозначим его как состояние 1). Информационная емкость по формуле Шеннона равна 1 бит. Допустим, что мы владеем этим битом информации, т.е. мы знаем, с какой стороны от перегородки находится молекула. Тогда мы можем подвинуть невесомый поршень с другой стороны прямо к перегородке (рис. 1.3) и вынуть перегородку.

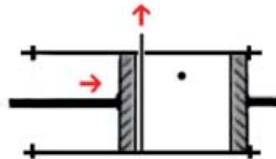


Рис. 1.3. Двигатель Сциларда. Стирание бита

Идеальный газ (наша молекула), согласно законам термодинамики, расширится, толкая поршень обратно и совершит работу  $A$ :

$$A = k_B T \ln 2,$$

где  $k_B$  — постоянная Больцмана,  $T$  — температура газа, а  $\ln 2$  — логарифм отношения объемов газа, конечного и начального. Таким образом, владея информацией, мы заставили систему совершить работу!

Операция, которую мы выполнили, называется Erase — стирание. Мы стерли 1 бит информации и получили работу ( $I \rightarrow A$ ). Обратная операция называется Assign — присвоение.

Предположим, что мы хотим присвоить нашей системе, находящейся в неизвестном состоянии, например, значение 1. Тогда мы должны сжать идеальный газ левым поршнем до половины объема, затратив при этом ту же самую работу, которую мы получили при стирании бита. После чего мы вставляем перегородку и убираем обратно левый поршень. Работа (энергия) преобразовалась в информацию ( $A \rightarrow I$ ).

Рассмотрим теперь простейший вычислительный гейт NOT, преобразовывающий 0 в 1, а 1 в 0. Применение этого гейта к нашему текущему состоянию можно выполнить следующим образом:

- 1) пододвинуть левый поршень к перегородке ( $A = 0$ );
- 2) убрать перегородку;
- 3) одновременно, без изменения объема, передвинуть оба поршня влево ( $A = 0$ ) (рис. 1.4);
- 4) поставить перегородку и вернуть на место правый поршень.

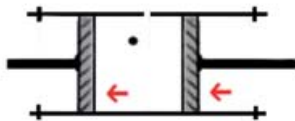


Рис. 1.4. Двигатель Сциларда. Гейт NOT

Выполнение гейта NOT оказалось не связано с преобразованием энергии, так как количество информации в системе не изменилось.

Получается, что обратимые преобразования (вроде гейта NOT) в идеале не требуют от нас затрат энергии. Забегая вперед, отметим, что все преобразования в квантовых вычислениях обратимы, и значит теоретически квантовые вычисления

можно производить без затрат энергии. Конечно, современные квантовые компьютеры далеки от этого идеала.

### 1.3. Характеристики вычислительной системы

Подшло время нам перейти к описанию характеристик вычислительных систем, чтобы мы могли сравнивать эти системы друг с другом.

Мы договорились, что вычисление — всегда физический процесс. Но физические процессы бывают разные. Нам нужно выделить какие-нибудь важные характеристики, которые позволят нам сравнивать данные процессы и предпочитать один другому для организации вычислений.

Среди наиболее важных характеристик выделим:

- 1) информационную емкость процесса (по Шеннону);
- 2) инерционность, или скорость смены состояний;
- 3) универсальность.

Назовем (неформально) репертуаром вычислителя все множество задач, которые он может решать.

Информационная емкость влияет на репертуар вычислительного процесса (например, при помощи одного тумблера с двумя состояниями нельзя считать овец, если их больше одной).

Инерционность, или скорость смены состояний, влияет на потребительские характеристики вычислителя и в практическом смысле так же на репертуар. Всего за несколько десятилетий скорость смены состояний в ЭВМ выросла в миллиарды раз, и многие современные задачи были бы невыполнимы на практике смысле для первых ЭВМ, так как для их решения потребовались бы миллионы лет.

Универсальность — характеристика, стоящая немного в стороне от первых двух — непосредственно задает репертуар вычислительного процесса.



Вспомним пастуха, использующего веревку для контроля неизменности числа овец в стаде. У веревки есть непрерывный параметр — ее длина. При помощи веревки пастух может, например, запоминать и сравнивать длины предметов, измеряя их веревкой и делая отметки. Непрерывность параметра очень удобна для этой задачи, так как не возникает проблем соизмеримости сравниваемых предметов и делений измерителя.

Веревка без делений может служить и для сравнения количеств. Вместо наматывания веревки на столб пастух мог бы просто откладывать от мотка кусок, равный, например, длине своей руки, при выходе овец из хлева. «Подсчет» овец при обратном процессе заключался бы в обратной операции — сматывании веревки в моток на одну длину руки при возвращении каждой овцы. При таком подходе у пастуха нередко возникали бы ситуации с накоплением ошибки. Считать ли конечным состояние, в котором неслотанным оказался кусок веревки, меньший, чем длина руки фермера? И какое решение необходимо принять в этой ситуации?

Фермер может «оцифровать» веревку, завязав на ней узелки. Таким образом он сразу решит проблему накопления ошибки. Вообще, оцифровка часто служит именно для целей контроля и исправления ошибок. Кроме того, оцифрованная веревка более универсальна в задачах подсчета чего бы то ни было. Наличие узелков увеличивает ее репертуар. При помощи такой веревки можно складывать, вычитать и даже умножать и делить с остатком.

Универсальность — свойство цифровых, дискретных вычислений. И именно такие вычисления мы будем рассматривать в дальнейшем.

Оставив пока в стороне универсальность, сосредоточимся на первых двух характеристиках — емкости и скорости. Эволюция вычислительных устройств, известная нам как поколения ЭВМ, — это последовательный подбор все более быстрых и емких физических процессов, лежащих в их основе.

Инженеры идут по пути миниатюризации базового элемента вычислительного процесса, начиная от сравнительно боль-

ших и инертных радиоламп и кончая технологией упаковки огромного количества р—п-переходов в одном квадратном сантиметре кристалла кремния. Нам нужны базовые элементы все меньшего размера. Почему?

1. Для того чтобы увеличить емкость при снижении энергопотребления.
2. Для того чтобы уменьшить инерционность. Чем меньше элемент, тем меньше, например, его индуктивность или масса, тем выше скорость переключения состояний.

В настоящее время р—п-переход — основной базовый элемент вычислений. Современные нам технологии производства процессоров приближаются к отметке 10 нм, что всего в 200 раз больше атома водорода! Понятно, что у этого пути есть конец, и каждый новый шаг в его направлении дается со все большим трудом. На отдельном атоме р—п-переход уже не организовать, а значит, от технологии транзисторов придется отказаться. Кроме того, при таких размерах базового элемента уже нельзя пренебрегать квантовыми эффектами. Получается, что следующее поколение вычислителей неизбежно будет квантовым!

## 1.4. Вычислимость и алгоритм

Физические ограничения реального мира — не единственное препятствие для безграничного роста наших вычислительных возможностей. Чтобы разобраться с этим вопросом, определим цель вычислений.

Вычисления всегда реализовывают алгоритмически (если они цифровые) некоторую функцию. Любой алгоритм имеет множество (иногда пустое) входных данных — параметры функции, а также выходные данные для каждого набора входных. Иными словами, алгоритм является отображением из множества входных данных в множество выходных. Данные описывают состояние физической системы в выбранной

нами кодировке. Если мы выберем числовое представление (например, двоичное), то можно утверждать, что любой алгоритм является отображением множества натуральных чисел в множество натуральных чисел:

$$A : \mathbb{N} \rightarrow \mathbb{N}.$$

Можем ли мы утверждать, что верно и обратное — любая функция представима в виде алгоритма?

Для того чтобы ответить на этот вопрос, нам необходимо строгое математическое определение понятия «алгоритм».

Наиболее известным и общепринятым определением считается модель устройства, предложенная в 1936 году английским ученым Аланом Тьюрингом. Машина Тьюринга  $M$  — это упорядоченная шестерка:

$$M = \{Q, \Gamma, b, \delta, q_0, F\}, \quad (1.1)$$

где  $Q$  — конечное непустое множество состояний;  $\Gamma$  — конечный непустой алфавит;  $b \in \Gamma$  — символ алфавита, для которого допустимо появление на ленте бесконечное число раз;  $\delta : Q \setminus F \times \Gamma \rightarrow Q \times \Gamma \times \{\leftarrow, \rightarrow\}$  — набор правил;  $q_0 \in Q$  — начальное состояние;  $F \subset Q$  — множество конечных состояний.

Машина Тьюринга представляет собой бесконечную ленту, разделенную на ячейки, в каждой из которых записан один символ алфавита  $\Gamma$ , и читающую/пишущую головку, расположенную на каждом шаге над некоторой ячейкой ленты.

Это устройство начинает работу в исходном состоянии. На каждом шаге головка считывает символ, записанный на ленте. После этого из множества правил выбирается то, которое соответствует текущему состоянию и прочитанному символу. Правило определяет, какой символ нужно записать на ленту, в какое перейти состояние и куда (влево или вправо) передвинуть головку.

Работа заканчивается в одном из конечных состояний либо не заканчивается никогда (машина входит в бесконечный цикл).

Репертуаром машины Тьюринга назовем все множество функций, для которых существует конкретный набор вида (1.1). Этот набор для любых входных данных функции, действуя по правилам машины Тьюринга, приходит в конечное состояние, написав на ленте значение функции. Функции, вычисление которых входит в репертуар машины Тьюринга, называются вычислимыми.

Тогда же, в 1936 году, независимо Алонзо Чёрчем и Аланом Тьюрингом был сформулирован вопрос: возможен ли цифровой вычислительный процесс с большим, чем у машины Тьюринга, репертуаром? Ответ на этот вопрос отрицателен и известен как тезис Чёрча—Тьюринга. Одна из множества эквивалентных формулировок тезиса звучит так: **все алгоритмически вычислимые функции входят в репертуар машины Тьюринга**. В этой формулировке термин «алгоритмически вычислимые» подразумевает интуитивное понимание алгоритма, предполагающее механическое выполнение конечного числа шагов для достижения детерминированного (одинакового для одного и того же набора входных данных) результата. На сегодняшний момент тезис не доказан и не опровергнут. Если предположить, что он верен, то получится, что даже вычислительные возможности человека подчиняются тем же правилам и ограничениям, что и машина Тьюринга.

Что же это за ограничения?

Давайте посчитаем, сколько всего может быть различных машин Тьюринга.

Каждая машина Тьюринга может быть закодирована конечной строкой, состоящей из нулей и единиц, что соответствует двоичному представлению некоторого натурального числа. Таким же образом мы можем интерпретировать любое достаточно большое натуральное число как закодированное представление машины Тьюринга. Множество всех натуральных чисел счетно, следовательно, множество различных машин Тьюринга тоже счетно.

А сколько всего функций вида  $f : \mathbb{N} \rightarrow \mathbb{N}$ ?

Для ответа на этот вопрос рассмотрим произвольное число  $a \in [0, 1]$ . Запишем его, например, в двоичной системе счисления. Получится бесконечная строка из нулей и единиц вида  $a = 0.a_1a_2a_3 \dots a_k \dots$ .

Теперь определим функцию  $f_a$ :

$$f_a(n) = a_n.$$

Эта функция определена на всем натуральном ряде и возвращает 1 бит ( $f_a : \mathbb{N} \rightarrow \{0, 1\}$ ). Очевидно, что разные значения  $a$  задают таким образом разные функции подобного вида. Разных чисел на отрезке  $[0, 1]$  континуум, а значит, и разных функций из  $\mathbb{N}$  в  $\mathbb{N}$  — минимум континуум (на самом деле — ровно континуум, поскольку подобным образом можно каждой такой функции сопоставить ровно одно вещественное число).

В итоге получается, что функций больше, чем алгоритмов! Причем не просто больше. Функции, которые можно вычислять на машине Тьюринга, имеют меру 0 на общем множестве функций! В этом богатом и разнообразном мире мы не можем вычислить практически ничего!

Но может быть, и не надо? Может быть, все эти невычислимые функции нам совсем неинтересны? Оказывается, нет. В той же работе, в которой Тьюринг определил математическую модель вычислений, он привел пример полезной невычислимой функции, получившей название «проблема останова» (Halting problem).

Тьюринг показал, что не существует такого алгоритма  $A$ , который бы предсказал поведение всех возможных алгоритмов, например, таким образом:

$$A(x, y) = \begin{cases} 0, & X(y) \text{ halts,} \\ 1, & X(y) \text{ hangs.} \end{cases}$$

Здесь  $X$  — анализируемый алгоритм, а  $x$  — его двоичное представление. Алгоритм  $A$  принимает на вход двоичное представление алгоритма  $x$  и входные данные к нему,  $y$ , и возвращает 1, если  $X$  на этих входных данных зависает, и 0, если нет.

Для доказательства того, что такого алгоритма не существует, Тьюринг воспользовался модификацией диагонального аргумента Кантора.

Предположим, что алгоритм  $A$  существует. Тогда мы можем определить алгоритм  $\hat{A}$  — анализатор, действующий следующим образом:

$$\hat{A}(x, y) = \begin{cases} 0, & X(y) \text{ hangs,} \\ \text{hang,} & X(y) \text{ halts.} \end{cases}$$

Ясно, что имея алгоритм  $A$ , нетрудно реализовать алгоритм  $\hat{A}$ .

Теперь определим алгоритм  $D$  — диагонализатор, который вызывает анализатор:

$$D(x) = \hat{A}(x, x).$$

Посмотрим, что получится, если мы вызовем диагонализатор от двоичного представления самого диагонализатора:

$$D(d) = \hat{A}(d, d) = \begin{cases} 0, & D(d) \text{ hangs,} \\ \text{hang,} & D(d) \text{ halts.} \end{cases}$$

Получается, что  $D(d)$  возвращает 0, если  $D(d)$  зависает. Это противоречие указывает на ошибочность самой первой предпосылки — существование алгоритма  $A$ .

## 1.5. Сложность вычислений

Существование невычислимых функций накладывает серьезные ограничения на классическую модель вычислений. Но и для тех функций, которые являются формально вычислимыми для машины Тьюринга, в практическом плане существуют проблемы.

Дело в том, что вычислимые функции в модели Тьюринга имеют важную характеристику — сложность вычислений. Строго говоря, сложность вычислений — это характеристика

не функции, а алгоритма, ее вычисляющего. Поскольку для одной и той же функции существует бесконечно много вычисляющих ее алгоритмов, нам необходимо выбрать алгоритм, сложность которого мы будем считать сложностью функции.

Мы не будем формально определять сложность вычислений и классы сложности, поскольку она является темой отдельного курса. Неформально сложность алгоритма — это характер роста какого-то ресурса (например, времени), необходимого для выполнения данного алгоритма, в зависимости от размера задачи.

Для определения сложности задачи (функции) было бы естественно выбрать сложность наилучшего вычисляющего ее алгоритма. Но выбор наилучшего элемента в бесконечном множестве не всегда осуществим. Рассмотрим, например, последовательность чисел

$$\{a_n\}_{n=1}^{\infty}, \quad a_n = \frac{1}{n}.$$

В этой последовательности нет наименьшего элемента. Точно так же теоретически возможно существование задачи, для которых нет наилучшего алгоритма. Однако чаще всего препятствием для определения сложности задачи является то обстоятельство, что лучший алгоритм неизвестен.

Приведем несколько примеров.

При сложении чисел в столбик мы выполняем вдвое больше элементарных (табличных) операций сложения, чем число разрядов (цифр) в наименьшем из складываемых чисел. Если  $n$  — число цифр, то сложность сложения в столбик оценивается как  $O(n)$ .

При сортировке массива из  $n$  элементов методом пузырька мы выполняем  $O(n^2)$  операций сравнения. Сортировка массива — очень хорошая функция. Для нее нам известен теоретический предел сложности,  $O(n \cdot \ln(n))$ , и алгоритмы, реализующие этот предел. Таким образом, у задачи сортировки есть сложность, и она известна.

Задачи подобного рода, для которых сложность оценивается некоторым полиномом от размера входных данных, счита-

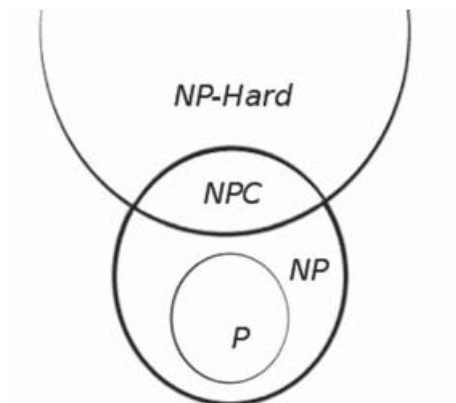


Рис. 1.5. Диаграмма классов сложности при предположении, что  $P \neq NP$

ются «хорошими». Все вместе они составляют класс  $P$  — бесконечный класс задач, для которых существуют полиномиальные алгоритмы (рис. 1.5).

Есть еще класс «условно хороших» задач — класс  $NP$ . Для задач данного класса существуют полиномиальные алгоритмы проверки решения. К таким задачам, например, относятся:

- 1) поиск гамильтонова пути в графе,
- 2) разложение чисел на множители
- 3) и... сложение в столбик!

Все задачи из класса  $P$  входят в класс  $NP$  ( $P \subset NP$ ), так как мы можем проверить решение, просто решив задачу. Если у нас для этого есть полиномиальный алгоритм, то он и будет процедурой проверки решения.

Обратное включение ( $NP \subset P$ ) — один из самых важных нерешенных вопросов современной теории вычислений. На настоящий момент существуют важные задачи из класса  $NP$ , для которых неизвестен полиномиальный алгоритм. Такой задачей, например, является разложение числа на множители (факторизация). Представим, что некоторое число  $N$  являет-



ся произведением двух больших простых множителей —  $p$  и  $q$  ( $N = pq$ ). Если простые числа  $p$  и  $q$  нам даны, то мы можем легко (полиномиально по времени) их перемножить и посмотреть, получится ли число  $N$ . Если же эти числа неизвестны, то в настоящий момент для классических вычислений не существует эффективной процедуры их получения.

Представьте, что вы придумали два разных огромных простых числа  $p$  и  $q$ , в каждом порядка  $10^4$  знаков. Эффективная процедура поиска больших простых чисел существует. Вы перемножили эти числа, сохранили (или даже опубликовали) их произведение  $N$ , а потом забыли, потеряли  $p$  и  $q$ . Теперь и за все время жизни вселенной их невозможно восстановить. Даже если искать их будет компьютер размером со всю вселенную, притом что их произведение у всех на виду!

Если гипотеза  $P \neq NP$  верна, то класс  $NP$ , изображенный на рис. 1.5, больше класса  $P$ , а задача факторизации, вероятно, присутствует в их разности  $NP \setminus P$ .

В 1994 году американский математик Питер Шор предложил полиномиальный алгоритм для квантового компьютера, позволяющий раскладывать числа на множители. И невыполнимая для классических вычислений задача стала легковывполнимой для квантовых.

На рис. 1.5 присутствует также класс  $NP$ -трудных задач ( $NP$ -Hard), к которым полиномиально сводятся все задачи из класса  $NP$ . Иными словами, если у нас есть волшебный ящик, умеющий решать какую-то задачу из этого класса, то при помощи этого ящика мы сможем решать любую задачу из  $NP$ . В 1972 году Стивен Кук [Cook, 1971] показал, что пересечение классов  $NP$ -Hard и  $NP$  не пусто. Задачи из этого пересечения называются  $NP$ -полными, или  $NP$ -Complete,  $NPC$ .

Для всех задач из  $NP$  квантовые вычисления в общем виде дают лучший результат, чем известные в настоящее время классические алгоритмы. К сожалению, этого нельзя сказать про класс  $NP$ -трудных задач. Ближе к концу курса мы разберем одну из этих задач и покажем, что квантовые вычисления для нее дают не лучший результат, чем классические.

## 1.6. Квантовые вычисления

С одной стороны, уменьшение базового элемента в вычислительном процессе приводит к тому, что мы уже не можем пренебрегать квантовыми эффектами. С другой стороны, для многих полезных задач время их решения растет экспоненциально от размера задачи. Одной из таких задач является моделирование квантовых систем.

В 1982 году нобелевский лауреат по физике Ричард Фейнман предложил убить сразу двух зайцев, реализовав вычислительный процесс на базе квантовой системы [Feynman, 1982]. Таким образом, мы смогли бы с пользой эксплуатировать «вредные» квантовые эффекты, и получить вычислители, мощность которых растет экспоненциально с ростом количества базовых элементов.

Уже через три года (в 1985-м) англичанин Дэвид Дойч предложил математическую модель квантовых вычислений и рассмотрел простую задачу (известную как задача Дойча), для которой он продемонстрировал преимущества квантовых вычислений над классическими [Deutsch, 1985]. Далее последовало несколько довольно экзотических результатов, и, наконец, в 1994 году был опубликован алгоритм Питера Шора, показавший, что некоторые пока не разрешимые в практическом смысле задачи могут иметь эффективное решение на квантовом компьютере [Shor, 1994].

В 1996 году Лов Гровер предложил квантовый алгоритм, решающий любую задачу из класса  $NP$  в общем виде с квадратичным (по сравнению с классической моделью) ускорением [Grover, 1996].

Преимущества квантовых вычислений над классическими стали очевидны сразу с двух позиций: 1) с точки зрения миниатюризации базового элемента вычислительного процесса и 2) с точки зрения теоретических преимуществ модели.

Настало время и нам перейти от слова «вычисления» в названии курса к слову «квантовые» и разобраться сначала с квантовыми эффектами, о которых мы упоминали ранее.

### «Эксперимент» с лягушкой

Представим себе лягушку, смотрящую на включенный и направленный на нее фонарик. Лягушка видит фонарик как яркое пятно света. Мы начинаем удалять лягушку от фонарика. Что видит лягушка?

1. Пятно становится меньше.
2. Яркость пятна падает.

Пропадет ли пятно совсем? И да, и нет! С некоторого момента точка света, наблюдаемая лягушкой, начнет мигать. И с этого момента яркость вспышек будет неизменной (у лягушки очень чувствительный глаз — она будет их видеть). Но вспышки эти будут происходить все реже по мере ее отдаления. Реже, но не прекратятся никогда.

Эксперимент этот показывает, что свет не «размазывается» по поверхности распространения бесконечно тонким слоем и, по всей видимости, состоит из частичек, атомов света — фотонов. Именно эти частички воспринимает своим чувствительным глазом лягушка. Сначала их много, и лягушка видит яркое пятно, но по мере ее отдаления от источника света все меньшая доля фотонов устремляется точно в направлении лягушки.

Разумеется, ни одна лягушка при проведении подобного эксперимента не пострадала. Вместо лягушек использовали высокочувствительную фотопленку, а эффект увеличения расстояния создавали затемняющие фильтры.

### Опыт Юнга

Итак, свет состоит из частичек — атомов света, фотонов. Рассмотрим следующий эксперимент.

Вертикально, друг напротив друга, расположены два экрана, в первом из которых прорезаны две щели (рис. 1.6). В некоторой точке напротив первого экрана, строго между щелями, находится пушка, стреляющая в сторону экранов картечью.

Большая часть картечи попадет в первый экран, но будет маленькая ее часть, которая пройдет сквозь щели и долетит до



Рис. 1.6. Эксперимент с двумя щелями.  
Установка

второго экрана (рис. 1.7). Картинка, нарисованная картечью на втором экране, будет по форме напоминать щели в первом. Это своеобразное рисование по трафарету.

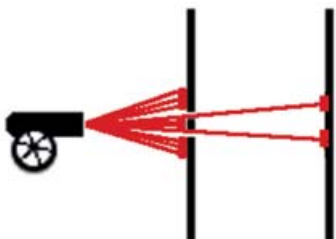


Рис. 1.7. Эксперимент с двумя щелями.  
Картечь

Изменим установку. Экраны остаются, но теперь они поставлены в воду, а в точке, где была раньше пушка, теперь происходят колебания, создающие на поверхности воды волны (рис. 1.8).

В этом случае щели в первом экране становятся вторичными источниками волн, и на экране мы видим уже не образ двух щелей, а интерференционную картину этих волн. Например, в точку, находящуюся строго посередине между щелями, волны прибывают в одинаковой фазе, и их амплитуды складываются. Но есть также и точки, в которые волны приходят в противофазе, и амплитуда в этих точках равна 0.

Какую картину мы увидим, если первая установка вместо пули будет выпускать фотоны? Мы только что убедились, не



Рис. 1.8. Эксперимент с двумя щелями. Волны

без помощи лягушки, что свет состоит из неделимых частичек — фотонов, и, следовательно, нужно ожидать ситуацию рисования по трафарету. Не тут-то было! Еще в 1803 году английский физик Томас Юнг показал, что в этом эксперименте свет ведет себя как волна, и вместо рисования по трафарету мы видим интерференционную картину! Более того, интерференционная картина возникает, даже если мы выпускаем фотоны по одному в час!

Если мы закрываем одну из щелей, то мы видим образ второй щели — рисование по трафарету. Если же мы открываем вторую щель, то в тех местах, где раньше был свет, появляются тени интерференционной картины. Мы добавили света, а получили тень!

Если же мы будем «подглядывать» за фотонами, пытаюсь определить, через какую щель они прошли, то интерференционная картина немедленно исчезает. Подглядывать можно, например, по разному изменяя поляризацию фотонов в разных щелях. Фотоны не любят, когда за ними подглядывают. Пока мы на них не смотрим, они как бы проходят сразу через две щели, но стоит нам установить наблюдение — они тут же становятся нормальными классическими частицами, проходящими ровно через одну щель.

И подобное поведение замечено не только у фотонов. Так же ведут себя и другие элементарные частицы, например электроны. Для маленьких частиц нашего мира свойственно нахо-

диться сразу в двух состояниях: сразу на двух орбитах атома или сразу в двух щелях интерферометра Юнга. Или одновременно иметь разный спин. Очень неудобное обстоятельство для организации классических вычислений на подобных элементах!

## 1.7. Многомировая интерпретация квантовой механики

Было бы жестоко познакомить вас с этими чудесами совсем без их объяснения.

В квантовой механике разработан строгий математический аппарат, позволяющий описывать все перечисленные явления. Согласно этой теории, положение фотона или электрона описывается не его координатой, а некоторой функцией вероятности, «размазанной» по определенной области пространства — волновой функцией. Наблюдение частицы вызывает коллапс этой волновой функции. Иными словами, в эксперименте с двумя щелями вероятности прохождения через каждую из щелей равны, а значит, и фотон проходит сразу через обе щели. Только это не совсем фотон, а его волновая функция, которая моментально становится фотоном, если мы попытаемся ее измерить. В таком виде объяснение представляется не слишком понятным, да и вообще не является объяснением. Это скорее описание.

Первое понятное и математически строгое объяснение квантовых эффектов дал в своей диссертации в 1956 году американский ученый Хью Эверетт III [Everett, 1956].

Вспомним всеми любимый мысленный эксперимент с котом Шрёдингера. Кот заперт в ящике с адской машиной, поведение которой зависит от микроскопической частицы — например, от пути фотона в интерферометре Юнга (рис. 1.9). Его путь (состояние фотона) описывается суперпозицией некоторых базисных состояний. К примеру, прохождение через верхнюю и нижнюю щели с равными вероятностями ( $|\uparrow\rangle + |\downarrow\rangle$ ). Если фотон проходит через верхнюю щель, адская машина прихо-

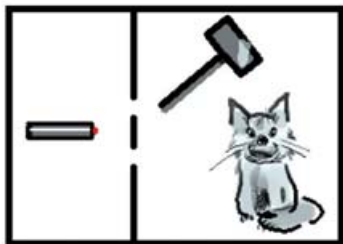


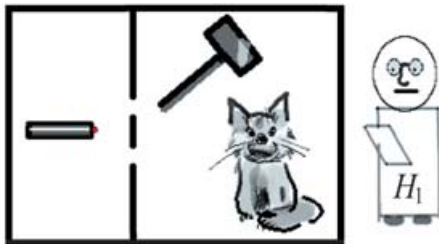
Рис. 1.9. Кот Шрёдингера

дит в действие, и кот умирает, если через нижнюю щель — кот остается жив. В некотором смысле кот первым проводит измерение.

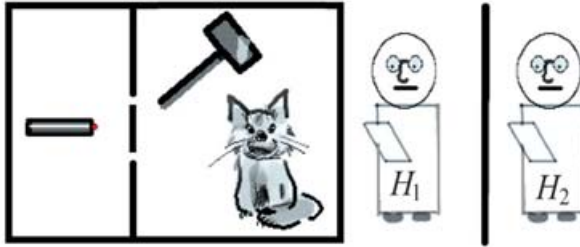
Проблема в том, что, до того как мы измерили (пронаблюдали) кота, система в ящике для наблюдателя не подвергалась измерению и, согласно законам квантовой механики, должна была развиваться линейно и унитарно (рис. 1.10). Коллапса волновой функции этой системы не произошло, и, следовательно, она находится в состоянии

$$(|\uparrow\rangle |Cat = Dead\rangle + |\downarrow\rangle |Cat = Alive\rangle) |H_1\rangle.$$

Здесь  $H_1$  — волновая функция первого наблюдателя.

Рис. 1.10. Кот Шрёдингера и наблюдатель  $H_1$ 

Получается, что для каждого из исходов мы получаем реально существующего кота, соответствующего конкретному исходу.

Рис. 1.11. Кот Шрёдингера, наблюдатели  $H_1$  и  $H_2$ 

Добавим на картинку второго наблюдателя (рис.1.11). Пусть первый, находясь в закрытой комнате, в 12.00 открыл коробку и посмотрел на кота. Тем самым он сформировал некоторый субъективный чувственный опыт, осознав, например, что кот мертв. Система для него коллапсировала в состояние

$$|\uparrow\rangle |Cat = Dead\rangle |H_1 = SAD\rangle.$$

Но для  $H_2$  измерение комнаты с  $H_1$  еще не происходило. Он знает, что в 12.00  $H_1$  откроет коробку, но волновая функция всей комнаты коллапсировать не должна. Для  $H_2$  эта волновая функция выглядит так:

$$|\uparrow\rangle |Cat = Dead\rangle |H_1 = SAD\rangle + |\downarrow\rangle |Cat = Alive\rangle |H_1 = GLAD\rangle.$$

Получается, что когда субъективно  $H_1$  расстроился из-за потери кота, объективно существует второй  $H_1$ , который увидел кота живым, и для  $H_2$  оба они реальны!

Где же существуют эти реальные копии наблюдателей? Для того чтобы разобраться с этим вопросом, представим данную ситуацию в пространстве — времени.

В пространстве — времени есть снимок вселенной в момент  $t_0$ , когда фотон испускается в направлении интерферометра Юнга (рис.1.12). Далее, для момента  $t_1$  физически возможно существование снимков, на которых фотон проходит через верхнюю или нижнюю щели (рис.1.13). Для каждого из этих



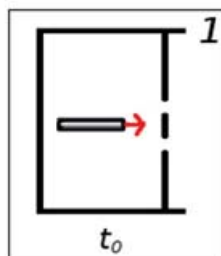


Рис. 1.12. Снимок 1. Фотон направлен в интерферометр

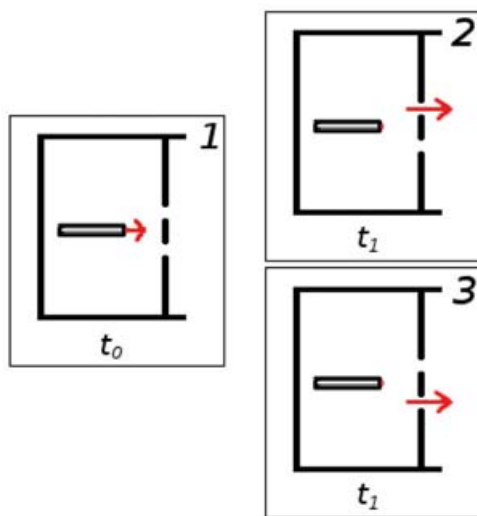


Рис. 1.13. Снимки 2 и 3. Фотон проходит через верхнюю и нижнюю щели

снимков предыдущим по времени является снимок 1. И Эверетт предположил, что раз оба эти снимка физически возможны и нет никакого способа предпочесть один другому, то оба они существуют в пространстве — времени!

Таким образом, наша вселенная, согласно интерпретации Эверетта, сложнее, чем кажется. В ней могут существовать копии моментов времени, содержащие различные варианты од-

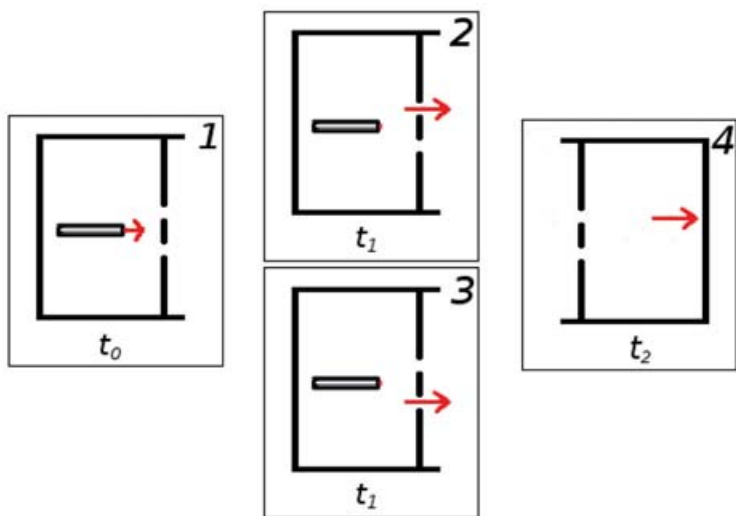


Рис. 1.14. Снимки 2 и 3. Фотон попадает в черную полосу на экране

них и тех же событий. Для каждой точки во времени существует множество различных потомков этой точки, и обитатели «параллельных» снимков не могут воспринимать соседние снимки. Но если параллельные снимки в пространстве — времени не могут взаимодействовать, то откуда же берется интерференционная картина?

Рассмотрим темную полосу в интерференционной картине (рис. 1.14). В ее точки фотоны из разных щелей интерферометра приходят в противофазе. И когда фотон попадает в экран, то уже нельзя определить, из какой щели он пришел (и какой из снимков — 2 или 3 — был его предшественником). Получается, что оба снимка являются предысторией снимка 4, но этого не может быть, поскольку в таком случае фотон должен находиться в противофазе с самим собой. Такая ситуация противоречит здравому смыслу, а значит, и снимка 4, в котором фотон приходит в точку черной полосы, в пространстве — времени не существует.

Если же в точке экрана мы можем определить, откуда пришел фотон, например запутав его позицию в интерферометре

с поляризацией, то противоречие исчезает, и снимок 4 имеет право на существование, что приводит к исчезновению интерференционной картины.

Объяснение Эверетта — это просто объяснение, не меняющее математического аппарата теории. С точки зрения математической модели не важно, как мы понимаем коэффициенты в состоянии  $\frac{1}{\sqrt{3}}|0\rangle + \frac{\sqrt{2}}{\sqrt{3}}|1\rangle$  — как параметры волновой функции или как доли вселенных, в которых реализовано каждое из базовых состояний. Но подобное объяснение позволяет иногда лучше понять тот математический аппарат, которым нам предстоит пользоваться дальше.

## 1.8. Упражнения

### Упражнение 1.1

Сообщение передается по ненадежному каналу, который может испортить (заменить противоположным значением) 1 бит информации. Какое количество информации в битах можно гарантированно передать по этому каналу в строке из  $n$  бит?

## Глава 2

# Математическая модель КВАНТОВЫХ ВЫЧИСЛЕНИЙ

### 2.1. Кубит

Разрекламировав в достаточной степени преимущества квантовых вычислений, перейдем, наконец, к математической модели квантового компьютера. Эта модель, описанная в достаточной степени, позволит нам оперировать квантовыми данными и квантовыми алгоритмами без отсылки к физическим процессам, на которых реализованы упомянутые данные и алгоритмы. Понимание материала, представленного в настоящей главе, критически важно для понимания всего курса, поэтому к ней прилагается наибольшее число упражнений и тестовых заданий.

Ключевым понятием всей теории квантовых вычислений является «кубит» — сокращение термина «квантовый бит» (**quantum bit**) — минимальная информационная единица квантового мира. Так же как бит является частичкой информации, содержащейся в простейшем содержательном классическом вычислительном процессе (типа двигателя Сциларда), кубит является описанием простейшей содержательной квантовой системы.

В рассмотренном нами ранее двигателе Сциларда бит информации кодировался камерой, в которой находится частица идеального газа. Например, левая камера — 0, правая — 1 (рис. 2.1).

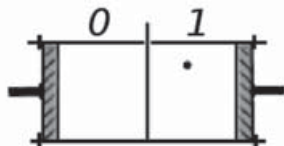


Рис. 2.1. Двигатель Сциларда

Точно так же кубит может описывать, например, поляризацию фотона, орбиталь электрона в атоме водорода или любую другую подобную характеристику системы в квантовой физике. Электромагнитные волны являются поперечными волнами. Это означает, что колебания происходят в плоскости, перпендикулярной линии их распространения. В таком случае колебания в выбранной системе координат могут быть, например, вертикальными или горизонтальными (что и называется поляризацией волны), и каждой из этих ситуаций мы можем присвоить обозначения — 0 и 1 (рис. 2.2), и, таким образом, поляризация будет кодировать для нас 1 бит информации. В атоме водорода мы можем присвоить обозначение 0 первой, базовой, орбитали, а 1 — второй и аналогичным образом кодировать 1 бит информации состоянием атома.

Вы можете заметить (и будете совершенно правы), что поляризация фотона в выбранной системе координат бывает не только вертикальной или горизонтальной, но и вообще какой угодно — так же, как и атом водорода способен занимать суперпозицию базового и возбужденного состояний. Это обстоятельство создает затруднения для построения классического компьютера на перечисленных базовых элементах, и именно оно является одним из преимуществ квантового компьютера.

Настало время дать строгое математическое определение термину «квантовый бит», или «кубит».

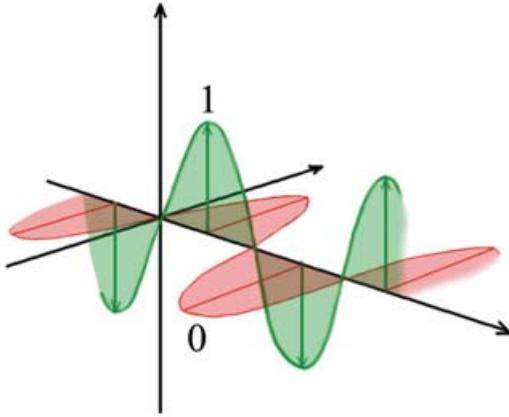


Рис. 2.2. Информация в квантовой системе

Кубит — это вектор единичной длины в двумерном гильбертовом пространстве над полем комплексных чисел.

$$|\phi\rangle \in H, \quad \|\phi\| = 1, \quad \dim H = 2. \quad (2.1)$$

В гильбертовых пространствах определено скалярное произведение векторов:

$$|x\rangle = \begin{pmatrix} x_1 \\ x_2 \\ \dots \\ x_n \end{pmatrix}, \quad |y\rangle = \begin{pmatrix} y_1 \\ y_2 \\ \dots \\ y_n \end{pmatrix}, \quad \langle x|y\rangle = \sum_{i=1}^n x_i \cdot y_i^*.$$

Скобки  $|\dots\rangle$  для обозначения векторов были введены Полем Дираком и называются нотацией Дирака.

В пространстве со скалярным произведением можно определить понятие угла  $\theta$  между векторами:

$$\cos \theta = \frac{|\langle x|y\rangle|}{\|x\| \cdot \|y\|}, \quad (2.2)$$

$$\theta = \arccos \frac{|\langle x|y\rangle|}{\|x\| \cdot \|y\|}, \quad \theta \in [0, \frac{\pi}{2}].$$

Поскольку мы имеем дело с комплексными числами, а комплексные косинусы нам ни к чему, в выражении (2.2) мы берем модуль и, таким образом, ограничиваем диапазон возможных углов. В евклидовом пространстве над вещественными числами модуль в данном выражении не стоит, и поэтому там возможны углы от 0 до  $\pi$ .

На протяжении всего курса мы будем иметь дело с единичными векторами (векторами единичной длины), в связи с чем нормы векторов из этого выражения можно убрать:

$$\begin{aligned}\cos \theta &= |\langle x|y \rangle|, \\ \theta &= \arccos |\langle x|y \rangle|. \end{aligned} \tag{2.3}$$

Получается, что косинус угла между двумя векторами равен модулю их скалярного произведения. Ортогональными векторами мы будем называть такие векторы, скалярное произведение которых равно 0:

$$|x\rangle \perp |y\rangle \Leftrightarrow \langle x|y \rangle = 0.$$

Сонаправленными векторами мы будем называть такие векторы, скалярное произведение которых равно единице. Заметим, что, в отличие от евклидова пространства, сонаправленные единичные векторы не обязаны быть идентичными. Например, единичные векторы

$$|x\rangle, \quad e^{i\phi} |x\rangle, \quad |e^{i\phi}| \cdot |\langle x|x \rangle| = 1$$

сонаправлены, но, как мы видим, это разные векторы.

А кубит представляет собой единичный вектор в двухмерном гильбертовом пространстве (рис. 2.3).

Каждая из осей на рис. 2.3 является проекцией комплексной плоскости на плоскость страницы. Вообще говоря, нарисовать две ортогональные комплексные плоскости без проекции нам не удалось бы даже на трехмерной бумаге. Окружность здесь представляет все векторы единичной длины в этом пространстве — все возможные значения одного кубита. Как видите, их намного больше, чем значений классического бита (которых всего два). Кубит может принимать любое из бесконечного

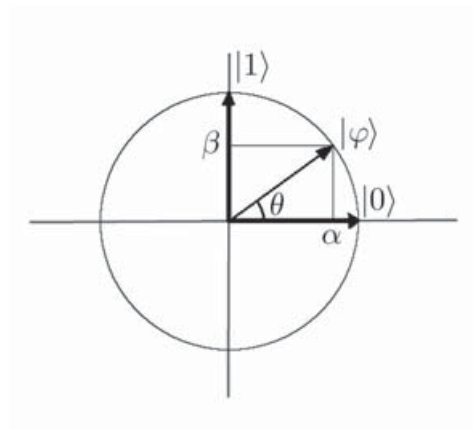


Рис. 2.3. Кубит

множества значений и так же, как фотон (см. рис. 2.2), может быть поляризован не только вертикально или горизонтально, но, вообще говоря, под любым углом. Получается, что простейшая квантовая система не ограничивается двумя состояниями.

На самом деле и классические системы (тот же двигатель Сциларда) содержат огромное множество возможных состояний. Молекула газа в камерах двигателя Сциларда может находиться во множестве разных точек, но наши особенности интерпретации (измерения) этой системы позволяют нам определить ее положение только с точностью до номера камеры.

В классических системах такое сокращение количества потенциально доступной информации называется «оцифровка». В квантовых системах есть похожий процесс, называемый измерением (measurement).

## 2.2. Измерение кубита

Выделим в пространстве системы ортонормированный базис (см. рис. 2.3). Выбор такого базиса, вообще говоря, произволен и определяется так называемой наблюдаемой, которая, в свою очередь, определяется процессом измерения. Векторы базиса



назовем  $|0\rangle$  и  $|1\rangle$  по аналогии со значениями классического бита. Дело в том, что для получения информации о состоянии его нужно измерить (совсем как с двигателем Сциларда!). А для измерения нужно выбрать базис (наблюдаемую). И после измерения квантовой системы в выбранном нами базисе мы получим не что иное, как один из векторов этого базиса.

Например, если система находится в состоянии  $|0\rangle$ , то при измерении ее в этом базисе мы получим результат  $|0\rangle$ . Если система находится в состоянии  $|1\rangle$ , мы получим результат  $|1\rangle$ . А для состояния  $|\phi\rangle$ ,

$$\begin{aligned} |\phi\rangle &= \alpha |0\rangle + \beta |1\rangle, \\ \alpha, \beta &\in \mathbb{C}, \\ |\alpha|^2 + |\beta|^2 &= 1, \end{aligned} \tag{2.4}$$

мы получим вектор  $|0\rangle$  с вероятностью  $|\alpha|^2$ , а вектор  $|1\rangle$  — с вероятностью  $|\beta|^2$ :

$$\begin{aligned} P(|0\rangle) &= |\alpha|^2, \\ P(|1\rangle) &= |\beta|^2. \end{aligned} \tag{2.5}$$

Обратите внимание, что

$$\begin{aligned} \alpha &= \langle \phi | 0 \rangle, \\ |\alpha| &= \cos \theta, \\ \beta &= \langle \phi | 1 \rangle, \\ |\beta| &= \sin \theta. \end{aligned} \tag{2.6}$$

Резюмируем наши сведения об измерении системы, несущей один кубит информации:

- 1) подготовка к измерению кубита заключается в выборе ортонормированного базиса, один из векторов которого станет результатом измерения;
- 2) вероятность получения в результате измерения конкретного вектора выбранного базиса равна квадрату модуля скалярного произведения вектора системы на этот вектор;

- 3) из одного квантового бита получается один классический бит информации, поскольку возможных результатов измерения всего два;
- 4) сама система переходит в тот вектор выбранного базиса, который получился в результате измерения, поэтому повторное измерение системы всегда дает нам тот же результат, который мы получили при первом измерении.

Получается, что измерение в некотором смысле аналогично классической оцифровке — вместо континуума возможных состояний мы всегда получаем один бит.

Узнать коэффициенты  $\alpha$  и  $\beta$  при помощи измерения мы не можем. Повторно измерить ту же самую систему мы также не можем, поскольку при измерении разрушается ее изначальное состояние. И вдобавок ко всему, мы не можем копировать неизвестные нам состояния, для того чтобы провести серию измерений на копиях и оценить коэффициенты. Это нам не позволяет сделать теорема о запрете клонирования, сформулированная Уильямом Вуттерсом, Войцехом Зуреком и Деннисом Диэксом в 1982 году.

Таким образом, если мы хотим получить максимально достоверную информацию о состоянии системы, нам для ее измерения нужно выбирать базис, один из векторов которого очень близок (в идеале совпадает) с измеряемым нами кубитом.

Допустим, например, мы знаем, что система находится в одном из следующих состояний:

$$\begin{aligned} |\phi\rangle &= \frac{1}{\sqrt{2}} |0\rangle + \frac{1}{\sqrt{2}} |1\rangle, \\ |\psi\rangle &= \frac{1}{\sqrt{2}} |1\rangle - \frac{1}{\sqrt{2}} |0\rangle. \end{aligned} \tag{2.7}$$

Нам нужно узнать, какая из ситуаций имеет место на самом деле. В базисе  $|0\rangle, |1\rangle$  измерять этот кубит бесполезно, поскольку при таком измерении мы получим  $|0\rangle$  или  $|1\rangle$  с одина-

ковыми вероятностями:

$$\begin{aligned} P(|0\rangle|\phi) &= |\langle\phi|0\rangle|^2 = \frac{1}{2} = |\langle\psi|0\rangle|^2 = P(|0\rangle|\psi), \\ P(|1\rangle|\phi) &= \frac{1}{2} = P(|1\rangle|\psi). \end{aligned} \quad (2.8)$$

Мы, правда, можем это сделать, если нам нужен абсолютно случайный бит информации. В остальных же случаях, если нам нужно что-то узнать о состоянии кубита, мы можем выбрать базис  $|+\rangle, |-\rangle$ :

$$\begin{aligned} |+\rangle &= \frac{1}{\sqrt{2}}|0\rangle + \frac{1}{\sqrt{2}}|1\rangle, \\ |-\rangle &= \frac{1}{\sqrt{2}}|0\rangle - \frac{1}{\sqrt{2}}|1\rangle, \end{aligned} \quad (2.9)$$

который называется базисом Адамара (Hadamard).

Измерив систему в базисе Адамара, мы получим достоверную информацию о состоянии кубита, потому что модуль его скалярного произведения на один из векторов этого базиса равен 1, что соответствует вероятности достоверного события:

$$\begin{aligned} P(|+\rangle|\phi) &= |\langle\phi|+\rangle|^2 = 1, \\ P(|+\rangle|\psi) &= |\langle\psi|+\rangle|^2 = 0. \end{aligned} \quad (2.10)$$

Проиллюстрируем процесс измерения на примере. Мы помним, что носителем информации может быть, например, поляризация фотонов — направление их колебаний. Предположим, что у нас есть фотон или поток фотонов, поляризованный определенным образом, например вертикально или горизонтально. Как мы можем узнать, какая из этих ситуаций реализовалась на самом деле?

К нашему счастью, в природе существуют кристаллы, имеющие оптическую ось и пропускающие только свет, поляризованный определенным образом. На микроуровне они состоят из диполей, ориентированных по одной оси (рис. 2.4). Пружинка между полюсами диполя нарисована потому, что атомы в

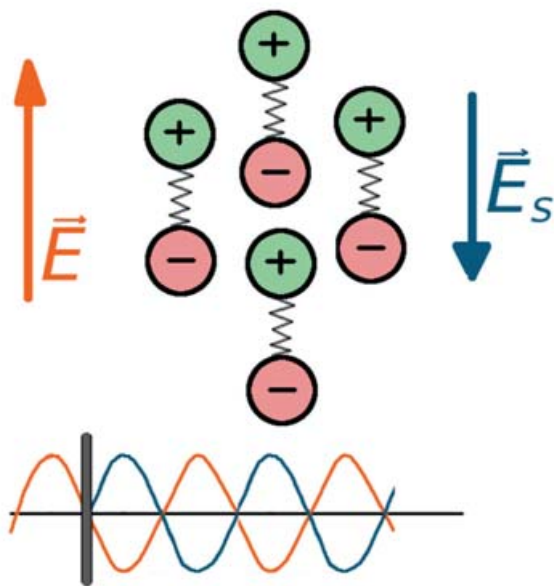


Рис. 2.4. Линейный поляризатор на молекулярном уровне

молекулах не скреплены гвоздями, а находятся в ямах потенциальной энергии кулоновского поля и, следовательно, могут отдаляться и приближаться при наличии внешнего поля. Пропускаемый через кристалл поляризованный вертикально свет как раз и создает это поле  $\vec{E}$ , причем поле переменное (синусоиду). Оно приводит диполи в колебательное движение, а последние, в свою очередь, испускают вторичную волну  $\vec{E}_s$ , смещенную по фазе на  $\pi$  по отношению к падающей волне. Эта вторичная волна складывается с прошедшей через кристалл и гасит ее. Зато горизонтально поляризованная волна никак не влияет на диполи, не создает вторичную волну и, следовательно, легко проходит через кристалл (рис. 2.5).

При помощи изготовленных из таких кристаллов пластинок, называемых линейными поляризаторами, мы можем получать поляризованный свет и измерять его поляризацию.

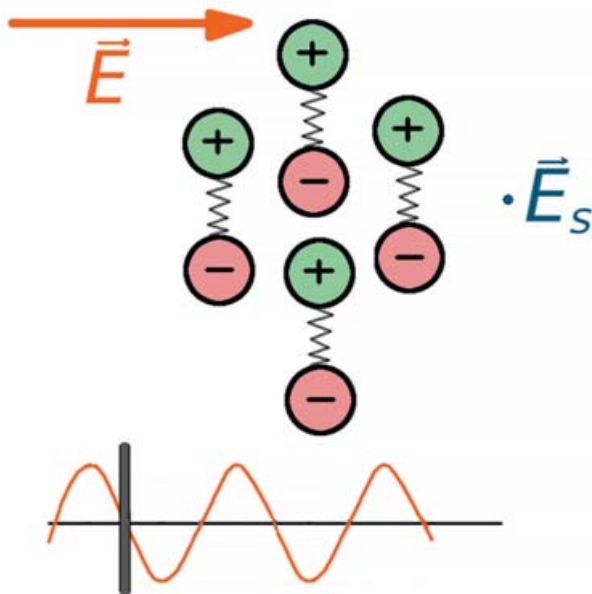


Рис. 2.5. Линейный поляризатор на молекулярном уровне

Обычный свет от лампочки не является поляризованным. Источниками поляризованного света могут быть, например, экраны LCD-мониторов, покрытые пленками, имеющими оптическую ось. Частично поляризованным бывает свет, отраженный от некоторых материалов, например от воды. Иногда фотографы, желая сфотографировать дно неглубокого водоема, используют подобные поляризационные фильтры для отсекаания изображения, отраженного поверхностью воды. Так же поляризованный свет можно использовать для анализа дефектов (напряжений) в прозрачных материалах.

### 2.3. Система кубитов

В подавляющем большинстве случаев для вычислений нам требуется более одного бита. Система, состоящая из нескольких кубитов, описывается тензорным произведением составляющих ее систем. Поясним на примере.

Допустим, у нас есть два кубита (например, два поляризованных фотона, или два атома водорода, или два электрона с разными спинами). Распишем возможные варианты измерения данных кубитов в стандартном базисе:

qubit I	qubit II
$ 0\rangle$	$ 0\rangle$
$ 0\rangle$	$ 1\rangle$
$ 1\rangle$	$ 0\rangle$
$ 1\rangle$	$ 1\rangle$

Нам удобно и дальше считать состояние всей квантовой системы вектором в некотором гильбертовом пространстве. Поскольку возможных результатов измерения у нас теперь четыре, то и число базисных векторов равно четырем (и пространство четырехмерно). Обозначим базисные векторы этого пространства:

qubit I	qubit II	vector
$ 0\rangle$	$ 0\rangle$	$ 00\rangle$
$ 0\rangle$	$ 1\rangle$	$ 01\rangle$
$ 1\rangle$	$ 0\rangle$	$ 10\rangle$
$ 1\rangle$	$ 1\rangle$	$ 11\rangle$

А теперь представим, что до измерения один из кубитов находился в суперпозиции базовых состояний. Например, вот так:

qubit I	qubit II
$ 0\rangle$	$\alpha  0\rangle + \beta  1\rangle$

В нашем новом базисе мы можем записать это совокупное состояние следующим образом:

qubit I	qubit II	vector
$ 0\rangle$	$\alpha  0\rangle + \beta  1\rangle$	$\alpha  00\rangle + \beta  01\rangle$

Вероятность измерения:

$$\begin{aligned} P(|00\rangle) &= |\alpha|^2, \\ P(|01\rangle) &= |\beta|^2, \\ P(|10\rangle) &= P(|11\rangle) = 0. \end{aligned} \tag{2.11}$$

Вектор четырехмерный, длина его по-прежнему равна 1. Полностью смешанное состояние описывается так:

qubit I	qubit II	vector
$\alpha  0\rangle + \beta  1\rangle$	$\gamma  0\rangle + \delta  1\rangle$	$\alpha\gamma  00\rangle + \alpha\delta  01\rangle + \beta\gamma  10\rangle + \beta\delta  11\rangle$

Легко показать, что сумма квадратов коэффициентов по-прежнему равна 1:

$$|\alpha\gamma|^2 + |\alpha\delta|^2 + |\beta\gamma|^2 + |\beta\delta|^2 = 1.$$

Вообще говоря, любой вектор единичной длины в пространстве  $H^{2^n}$  представляет какое-то реально возможное состояние системы из  $n$  кубитов. Нам нужно договориться, как мы будем представлять векторы в  $H^{2^n}$  в виде столбцов (т.е. как мы их перенумеруем). Для одного кубита мы изобразили векторы базиса на рис. 2.3:

$$|0\rangle = \begin{pmatrix} 1 \\ 0 \end{pmatrix}, \quad |1\rangle = \begin{pmatrix} 0 \\ 1 \end{pmatrix}.$$

Для двух (и более) кубитов мы определим вектор-столбец описывающей их системы через тензорное (кронекерово)

произведение векторов отдельных кубитов:

$$|00\rangle = |0\rangle \otimes |0\rangle = \begin{pmatrix} 1 \\ 0 \end{pmatrix} \otimes \begin{pmatrix} 1 \\ 0 \end{pmatrix} = \begin{pmatrix} 1 \cdot \begin{pmatrix} 1 \\ 0 \end{pmatrix} \\ 0 \cdot \begin{pmatrix} 1 \\ 0 \end{pmatrix} \end{pmatrix} = \begin{pmatrix} 1 \\ 0 \\ 0 \\ 0 \end{pmatrix},$$

$$|01\rangle = |0\rangle \otimes |1\rangle = \begin{pmatrix} 1 \\ 0 \end{pmatrix} \otimes \begin{pmatrix} 0 \\ 1 \end{pmatrix} = \begin{pmatrix} 1 \cdot \begin{pmatrix} 0 \\ 1 \end{pmatrix} \\ 0 \cdot \begin{pmatrix} 0 \\ 1 \end{pmatrix} \end{pmatrix} = \begin{pmatrix} 0 \\ 1 \\ 0 \\ 0 \end{pmatrix},$$

$$|10\rangle = |1\rangle \otimes |0\rangle = \begin{pmatrix} 0 \\ 1 \end{pmatrix} \otimes \begin{pmatrix} 1 \\ 0 \end{pmatrix} = \begin{pmatrix} 0 \cdot \begin{pmatrix} 1 \\ 0 \end{pmatrix} \\ 1 \cdot \begin{pmatrix} 1 \\ 0 \end{pmatrix} \end{pmatrix} = \begin{pmatrix} 0 \\ 0 \\ 1 \\ 0 \end{pmatrix},$$

$$|11\rangle = |1\rangle \otimes |1\rangle = \begin{pmatrix} 0 \\ 1 \end{pmatrix} \otimes \begin{pmatrix} 0 \\ 1 \end{pmatrix} = \begin{pmatrix} 0 \cdot \begin{pmatrix} 0 \\ 1 \end{pmatrix} \\ 1 \cdot \begin{pmatrix} 0 \\ 1 \end{pmatrix} \end{pmatrix} = \begin{pmatrix} 0 \\ 0 \\ 0 \\ 1 \end{pmatrix}.$$

Такой способ определения столбцов в получившемся пространстве не является единственным. Мы могли перенумеровать векторы как угодно иначе, но кронекерово произведение дает нам естественную и удобную для дальнейшей работы нумерацию.

Таким образом, система из 3 кубитов описывается вектором в 8-мерном пространстве, а размерность пространства системы из 10 кубитов равна 1024. Для 1000 кубитов мы получаем пространство, размерность которого описывается числом с 300 нулями.

Построив компьютер на всего лишь 1000 атомов, мы получаем в свое распоряжение «монстра», состояние которого описывается  $10^{30}$  комплексными числами. А это гораздо больше, чем элементарных частиц в наблюдаемой вселенной! Понятно, откуда у Фейнмана был оптимизм относительно перспектив квантовых вычислений!



Представим себе кубиты в виде подброшенных в воздух монеток. Пока монетки вращаются в воздухе, они как бы находятся в суперпозиции состояний орел—решка. Падая на пол, монетка измеряется в базисе орла и решки. Для одной подброшенной монетки мы имеем 2 возможных исхода, для 2 — 4, для 3 — 8, а для 10 одновременно подброшенных монеток — уже 1024 возможных исхода их измерения!

Пришло время узнать, почему на подброшенных монетах нельзя построить квантовый компьютер.

## 2.4. Измерение системы кубитов

Удивительнее и интереснее всего то, что не любое состояние вида

$$\begin{aligned} &\alpha |00\rangle + \beta |01\rangle + \gamma |10\rangle + \delta |11\rangle, \\ &|\alpha|^2 + |\beta|^2 + |\gamma|^2 + |\delta|^2 = 1 \end{aligned} \quad (2.12)$$

раскладывается на тензорное произведение отдельных кубитов. Например, каждое из состояний Белла,

$$\begin{aligned} &\alpha |00\rangle + \beta |11\rangle, \\ &\alpha |01\rangle + \beta |10\rangle, \\ &|\alpha|^2 + |\beta|^2 = 1, \end{aligned} \quad (2.13)$$

описывает реальную систему, которую можно построить, например, на 2 фотонах. Разложить эти состояния на тензорное произведение 2 кубитов нельзя. Получается, что частицы, на которых хранятся кубиты, как бы запутанны. Состояния такого вида (которые нельзя разложить на тензорное произведение отдельных кубитов) так и называются — запутанными (entangled). Именно такие состояния нам не удастся реализовать в виде подброшенных в воздух монеток.

Запутанные состояния очень не нравились Альберту Энштейну, и вот по какой причине. Дело в том, что систему, состоящую из нескольких кубитов, можно измерять не только

целиком, но и по частям (измерять отдельные кубиты). При измерении состояния (2.12) целиком мы получаем один из четырех базисных векторов с вероятностью, равной квадрату модуля коэффициента при нем. Но физически система располагается на двух разных частицах, и в таком случае никто нам не мешает измерить только одну из них, а вторую не трогать.

При этом если, например, при измерении первого кубита мы получим вектор  $|0\rangle$ , то из указанной суммы уходят все слагаемые с единицей на первом месте, а оставшиеся члены нужно домножить на нормализующий коэффициент, чтобы длина вектора была равна 1:

$$|0\rangle \left( \frac{\alpha |0\rangle}{\sqrt{|\alpha|^2 + |\beta|^2}} + \frac{\beta |1\rangle}{\sqrt{|\alpha|^2 + |\beta|^2}} \right).$$

В результате измерения первого кубита состояние второго кубита не изменилось. При измерении запутанного состояния, например любого из состояний Белла, измерение первого кубита автоматически приводит к измерению второго. Мгновенно!

Даже если запутанные частицы разнесены друг от друга на много световых лет, измерение одной из них мгновенно определяет состояние второй. Эйнштейн называл этот феномен «жутким дальноводствием».

Однако с точки зрения многомировой интерпретации такая ситуация совсем не выглядит магической. Для незапутанного состояния из двух кубитов в мультивселенной присутствуют почти полностью идентичные варианты вселенной, различающиеся только состоянием интересующих нас частиц:

$ 00\rangle$	$ 01\rangle$
$ 10\rangle$	$ 11\rangle$

А относительная доля вселенных для каждого конкретного состояния (относительная площадь каждого квадрата на диаграмме) соответствует квадрату коэффициента при этом состоянии в суперпозиции (2.12). До момента измерения экземпляры

наблюдателя во всех четырех типах вселенных идентичны друг другу. Но после измерения первого кубита часть экземпляров наблюдателя «запутывается» с верхней строчкой таблицы (те, что получили  $|0\rangle$ ), а вторая часть — с нижней строкой (получившие в результате измерения  $|1\rangle$ ). Измерив один кубит, мы сужаем доступный нам набор вселенных.

Для состояния Белла диаграмма выглядит несколько иначе:

$ 00\rangle$	$ 11\rangle$
--------------	--------------

Вариантов вселенных, в которых мы можем находиться, всего два, и измерение любого из кубитов достоверно указывает нам, где мы на этой картинке.

Таким образом, измерение изменяет не частицы, несущие кубиты, а разделяет ранее идентичные экземпляры наблюдателей.

## 2.5. Эволюция квантовой системы

Эволюция квантовой системы унитарна, т. е. любое изменение ее состояния выражается действием унитарного оператора. Поскольку изменение состояния и есть вычисление, то и программа для квантового компьютера представляет собой последовательное применение различных унитарных операторов к вектору состояния.

Оператор  $U$  унитарен, если его сопряженный оператор совпадает с обратным:

$$UU^* = U^*U = I.$$

Матрица сопряженного оператора представляет собой транспонированную матрицу исходного оператора, все числа в которой заменены на сопряженные.

Необходимым и достаточным условием унитарности оператора является сохранение им при отображении длин векторов

и углов между ними:

$$\begin{aligned}\forall \phi \in H \quad \|U|\phi\rangle\| &= \|\phi\|, \\ \forall \phi, \psi \in H \quad |\langle U|\phi\rangle \mid U|\psi\rangle| &= |\langle \phi|\psi\rangle|.\end{aligned}\tag{2.14}$$

Приведем несколько примеров.

### Оператор Адамара

Оператор Адамара  $H$  определяется следующим образом:

$$H = \frac{1}{\sqrt{2}} \begin{pmatrix} 1 & 1 \\ 1 & -1 \end{pmatrix}.$$

Проверим его унитарность:

$$H^* = \frac{1}{\sqrt{2}} \begin{pmatrix} 1 & 1 \\ 1 & -1 \end{pmatrix} = H,$$

$$H^*H = HH = \left(\frac{1}{\sqrt{2}}\right)^2 \begin{pmatrix} 1 & 1 \\ 1 & -1 \end{pmatrix} \begin{pmatrix} 1 & 1 \\ 1 & -1 \end{pmatrix} = \frac{1}{2} \begin{pmatrix} 2 & 0 \\ 0 & 2 \end{pmatrix} = I.$$

Применим оператор Адамара к состояниям  $|0\rangle$  и  $|1\rangle$ :

$$H|0\rangle = \frac{1}{\sqrt{2}} \begin{pmatrix} 1 & 1 \\ 1 & -1 \end{pmatrix} \begin{pmatrix} 1 \\ 0 \end{pmatrix} = \frac{1}{\sqrt{2}} \begin{pmatrix} 1 \\ 1 \end{pmatrix} = |+\rangle,$$

$$H|1\rangle = \frac{1}{\sqrt{2}} \begin{pmatrix} 1 & 1 \\ 1 & -1 \end{pmatrix} \begin{pmatrix} 0 \\ 1 \end{pmatrix} = \frac{1}{\sqrt{2}} \begin{pmatrix} 1 \\ -1 \end{pmatrix} = |-\rangle.$$

Мы видим, что из стандартного базиса  $|0\rangle$ – $|1\rangle$  оператор Адамара делает базис Адамара. Поскольку  $H$  является самосопряженным и, следовательно, обратным к себе самому, то его повторное применение к базису Адамара вернет нам обычный базис.

### Гейт $X$

Оператор  $X$  определяется так:

$$X = \begin{pmatrix} 0 & 1 \\ 1 & 0 \end{pmatrix}.$$

Проверим его унитарность:

$$X^* = X,$$

$$XX = \begin{pmatrix} 0 & 1 \\ 1 & 0 \end{pmatrix} \begin{pmatrix} 0 & 1 \\ 1 & 0 \end{pmatrix} = I.$$

Применим оператор  $X$  к состояниям  $|0\rangle$  и  $|1\rangle$ :

$$X|0\rangle = \begin{pmatrix} 0 & 1 \\ 1 & 0 \end{pmatrix} \begin{pmatrix} 1 \\ 0 \end{pmatrix} = \begin{pmatrix} 0 \\ 1 \end{pmatrix} = |1\rangle,$$

$$X|1\rangle = \begin{pmatrix} 0 & 1 \\ 1 & 0 \end{pmatrix} \begin{pmatrix} 0 \\ 1 \end{pmatrix} = \begin{pmatrix} 1 \\ 0 \end{pmatrix} = |0\rangle.$$

Мы видим, что гейт  $X$  — это квантовый аналог классического гейта NOT.

### Гейт CNOT

Этот гейт уже для системы из двух кубитов, поскольку предназначен для четырехмерного пространства:

$$\text{CNOT} = \begin{pmatrix} 1 & 0 & 0 & 0 \\ 0 & 1 & 0 & 0 \\ 0 & 0 & 0 & 1 \\ 0 & 0 & 1 & 0 \end{pmatrix}.$$

Унитарность мы проверим, воспользовавшись упомянутым ранее признаком. Посмотрим на образ базиса после применения этого гейта:

$$\text{CNOT}|00\rangle = |00\rangle,$$

$$\text{CNOT}|01\rangle = |01\rangle,$$

$$\text{CNOT}|10\rangle = |11\rangle,$$

$$\text{CNOT}|11\rangle = |10\rangle.$$

Мы видим, что имеет место перестановка изначального базиса. Гейт действует как условный NOT. Если первый (старший) кубит равен единице, то ко второму применяется гейт

NOT. Если же первый кубит — 0, то ко второму не применяется ничего (применяется тождественный оператор).

Поскольку образом ортонормированного базиса оказался ортонормированный базис, это значит, что длины векторов и углы между ними оператор сохраняет, т. е. он унитарен.

Далее мы будем пользоваться диаграммами следующего вида: горизонтальные линии будут обозначать кубиты (старший вверх), и на этих линиях мы будем слева направо размещать операторы в порядке их применения. Например, на (рис. 2.6) иллюстрируется применение оператора Адамара сразу к двум кубитам, старший из которых был в состоянии  $|0\rangle$ , а младший — в состоянии  $|1\rangle$ .

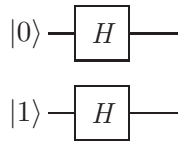


Рис. 2.6. Схема квантового алгоритма

Вектор системы в этом примере четырехмерен (поскольку у нас два кубита), следовательно, и матрица такого преобразования должна быть  $4 \times 4$ . Как она будет выглядеть? Очень просто — двухкубитный оператор Адамара представляет собой тензорное произведение однокубитных:

$$\begin{aligned}
 H_2 &= H \otimes H = \frac{1}{\sqrt{2}} \begin{pmatrix} 1 & 1 \\ 1 & -1 \end{pmatrix} \otimes \frac{1}{\sqrt{2}} \begin{pmatrix} 1 & 1 \\ 1 & -1 \end{pmatrix} = \\
 &= \frac{1}{\sqrt{2}} \begin{pmatrix} H & H \\ H & -H \end{pmatrix} = \frac{1}{2} \begin{pmatrix} 1 & 1 & 1 & 1 \\ 1 & -1 & 1 & -1 \\ 1 & 1 & -1 & -1 \\ 1 & -1 & -1 & 1 \end{pmatrix}.
 \end{aligned}$$

Легко доказать (сделайте это в качестве упражнения), что в общем случае верно тождество:

$$A|x\rangle \otimes B|y\rangle = (A \otimes B)|xy\rangle. \quad (2.15)$$

Представим теперь, что у нас есть система из двух кубитов, и мы хотим применить оператор Адамара только ко второму из них:

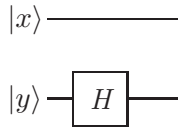


Рис. 2.7.  $H$  на одном кубите

Как будет выглядеть матрица такого оператора?

Так как с первым кубитом ничего не происходит, это равносильно применению к нему тождественного оператора. Поэтому матрица такого оператора представляет собой тензорное произведение  $I$  на  $H$ :

$$I \otimes H = \begin{pmatrix} 1 & 0 \\ 0 & 1 \end{pmatrix} \otimes \frac{1}{\sqrt{2}} \begin{pmatrix} 1 & 1 \\ 1 & -1 \end{pmatrix} = \begin{pmatrix} H & 0 \\ 0 & H \end{pmatrix} = \frac{1}{\sqrt{2}} \begin{pmatrix} 1 & 1 & 0 & 0 \\ 1 & -1 & 0 & 0 \\ 0 & 0 & 1 & 1 \\ 0 & 0 & 1 & -1 \end{pmatrix}.$$

Обратная ситуация показана на рис. 2.8.

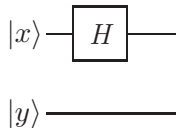


Рис. 2.8.  $H$  на одном кубите

Матрица будет выглядеть так:

$$\begin{aligned}
 H \otimes I &= \frac{1}{\sqrt{2}} \begin{pmatrix} 1 & 1 \\ 1 & -1 \end{pmatrix} \otimes \begin{pmatrix} 1 & 0 \\ 0 & 1 \end{pmatrix} = \\
 &= \frac{1}{\sqrt{2}} \begin{pmatrix} I & I \\ I & -I \end{pmatrix} = \frac{1}{\sqrt{2}} \begin{pmatrix} 1 & 0 & 1 & 0 \\ 0 & 1 & 0 & 1 \\ 1 & 0 & -1 & 0 \\ 0 & 1 & 0 & -1 \end{pmatrix}.
 \end{aligned}$$

Оператор CNOT мы будем обозначать на схеме так, как показано на рис. 2.9.

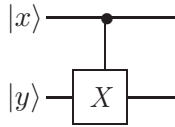


Рис. 2.9. Оператор CNOT

Кубит  $|x\rangle$  — контролирующий (далее — контрольный),  $|y\rangle$  — контролируемый.

Рассмотрим оператор CNOT в трехкубитной системе (рис. 2.10).

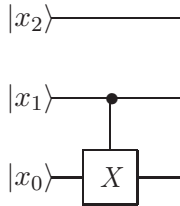


Рис. 2.10. Оператор CNOT.  
Три кубита

Матрица оператора должна иметь размер  $8 \times 8$ . Такой оператор будет выглядеть как тензорное произведение  $I$  на CNOT:

$$I \otimes \text{CNOT} = \begin{pmatrix} \text{CNOT} & 0 \\ 0 & \text{CNOT} \end{pmatrix}.$$

А как быть, если контрольный бит у нас первый, а контролируемый — третий (рис. 2.11)?



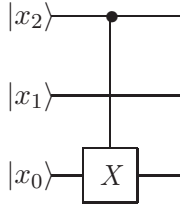


Рис. 2.11. Оператор CNOT.  
Три кубита

Если бы мы могли разложить оператор CNOT на тензорное произведение двух матриц (скажем,  $A$  и  $B$ ), то формула для такого CNOT выглядела бы так:

$$A \otimes I \otimes B. \quad (2.16)$$

Дело в том, что оператор CNOT нельзя разложить на тензорное произведение двух матриц  $2 \times 2$ . Он является в некотором смысле аналогом запутанного состояния, которое мы не можем разложить на тензорное произведение двух состояний. Это запутывающий оператор, и при помощи подобных операторов мы будем получать запутанные состояния. Но как же нам получить его матрицу для нашего примера? Она ведь тоже не будет произведением вида (2.16). Таких операторов  $A$  и  $B$  просто не существует.

Легко показать, что воздействие оператора на базисный вектор с номером  $k$  (такой, у которого в векторе-столбце единственная единица стоит на месте  $k$ ) дает нам в результате столбец оператора с номером  $k$ :

$$Ae_k = \begin{pmatrix} a_{11} & a_{12} & \cdots & a_{1k} & \cdots & a_{1n} \\ a_{21} & a_{22} & \cdots & a_{2k} & \cdots & a_{2n} \\ \cdots & \cdots & \cdots & \cdots & \cdots & \cdots \\ a_{n1} & a_{n2} & \cdots & a_{nk} & \cdots & a_{nn} \end{pmatrix} \begin{pmatrix} 0 \\ 0 \\ \cdots \\ 1 \\ \cdots \\ 0 \end{pmatrix} = \begin{pmatrix} a_{1k} \\ a_{2k} \\ \cdots \\ a_{nk} \end{pmatrix}.$$

Поэтому, зная, какой образ для какого из базисных векторов мы хотим получить, мы можем найти полный вид опера-

тора с рис. 2.11:

$$\begin{aligned}
 |000\rangle &\rightarrow |000\rangle, \\
 |001\rangle &\rightarrow |001\rangle, \\
 |010\rangle &\rightarrow |010\rangle, \\
 |011\rangle &\rightarrow |011\rangle, \\
 |100\rangle &\rightarrow |101\rangle, \\
 |101\rangle &\rightarrow |100\rangle, \\
 |110\rangle &\rightarrow |111\rangle, \\
 |111\rangle &\rightarrow |110\rangle,
 \end{aligned} \tag{2.17}$$

$$\begin{pmatrix}
 1 & 0 & 0 & 0 & 0 & 0 & 0 & 0 \\
 0 & 1 & 0 & 0 & 0 & 0 & 0 & 0 \\
 0 & 0 & 1 & 0 & 0 & 0 & 0 & 0 \\
 0 & 0 & 0 & 1 & 0 & 0 & 0 & 0 \\
 0 & 0 & 0 & 0 & 0 & 1 & 0 & 0 \\
 0 & 0 & 0 & 0 & 1 & 0 & 0 & 0 \\
 0 & 0 & 0 & 0 & 0 & 0 & 0 & 1 \\
 0 & 0 & 0 & 0 & 0 & 0 & 1 & 0
 \end{pmatrix}.$$

## 2.6. Оператор Адамара

Напоследок мы докажем полезное выражение для оператора Адамара для системы из  $n$  кубитов. Оно нам многократно пригодится далее:

$$H_n |x\rangle = \frac{1}{2^{n/2}} \sum_{y=0}^{2^n-1} (-1)^{x \bullet y} |y\rangle, \tag{2.18}$$

$$x \bullet y = x_0 y_0 \oplus x_1 y_1 \oplus \cdots \oplus x_{n-1} y_{n-1}.$$

### Доказательство по индукции

База:

$$H_1 |x\rangle = \frac{1}{2^{1/2}} (|0\rangle + (-1)^x |1\rangle) = \frac{1}{2^{1/2}} \sum_{y=0}^1 (-1)^{x \bullet y} |y\rangle.$$

Индукционный переход:

$$H_n |x\rangle = \frac{1}{2^{n/2}}(|0\rangle + (-1)^{x_{n-1}} |1\rangle) \otimes \cdots \otimes (|0\rangle + (-1)^{x_0} |1\rangle) =$$

(далее раскроем первую скобку)

$$\begin{aligned} &= \frac{1}{\sqrt{2}} |0\rangle \otimes \frac{1}{2^{\frac{n-1}{2}}} (|0\rangle + (-1)^{x_{n-2}} |1\rangle) \otimes \cdots \otimes (|0\rangle + (-1)^{x_0} |1\rangle) + \\ &\quad + \frac{1}{\sqrt{2}} (-1)^{x_{n-1}} |1\rangle \otimes \frac{1}{2^{\frac{n-1}{2}}} (|0\rangle + (-1)^{x_{n-2}} |1\rangle) \otimes \cdots \otimes \\ &\quad \otimes \cdots \otimes (|0\rangle + (-1)^{x_0} |1\rangle) = \end{aligned}$$

(далее воспользуемся индукционным предположением)

$$\begin{aligned} &= \frac{1}{\sqrt{2}} |0\rangle \otimes H_{n-1} |x_{n-2} \cdots x_0\rangle + \\ &\quad + \frac{1}{\sqrt{2}} (-1)^{x_{n-1}} |1\rangle \otimes H_{n-1} |x_{n-2} \cdots x_0\rangle = \\ &= \frac{1}{2^{n/2}} \left( |0\rangle \otimes \sum_{y=0}^{2^{n-1}-1} (-1)^{x_0 y_0 \oplus x_1 y_1 \oplus \cdots \oplus x_{n-2} y_{n-2}} |y\rangle + \right. \\ &\quad \left. + (-1)^{x_{n-1}} |1\rangle \otimes \sum_{y=0}^{2^{n-1}-1} (-1)^{x_0 y_0 \oplus x_1 y_1 \oplus \cdots \oplus x_{n-2} y_{n-2}} |y\rangle \right) = \\ &= \frac{1}{2^{n/2}} \left( \sum_{y=0}^{2^{n-1}-1} (-1)^{x_0 y_0 \oplus x_1 y_1 \oplus \cdots \oplus x_{n-2} y_{n-2} \oplus x_{n-1} \cdot 0} |0\rangle |y\rangle + \right. \\ &\quad \left. + \sum_{y=0}^{2^{n-1}-1} (-1)^{x_0 y_0 \oplus x_1 y_1 \oplus \cdots \oplus x_{n-2} y_{n-2} \oplus x_{n-1} \cdot 1} |1\rangle |y\rangle \right) = \\ &= \frac{1}{2^{n/2}} \sum_{y=0}^{2^n-1} (-1)^{x \bullet y} |y\rangle. \end{aligned}$$

## 2.7. Упражнения

### Упражнение 2.1

Чему равно скалярное произведение векторов  $|x\rangle$  и  $|y\rangle$ ?

$$|x\rangle = \begin{pmatrix} 1+i \\ \exp(\pi i) \\ 0 \\ 1-i \end{pmatrix}, \quad |y\rangle = \begin{pmatrix} 1+i \\ \exp(2\pi i) \\ 0 \\ 1-i \end{pmatrix}.$$

### Упражнение 2.2

$$\frac{1}{i+1} = ?$$

### Упражнение 2.3

$$\sin(i) = ?$$

### Упражнение 2.4

$$\ln(1+i) = ?$$

### Упражнение 2.5

Укажите в списке все векторы, являющиеся кубитами:

1.  $|0\rangle$ .
2.  $|0\rangle + |1\rangle$ .
3.  $\frac{i}{\sqrt{2}}(|0\rangle + |1\rangle)$ .
4.  $\frac{1}{2}(|0\rangle + |1\rangle)$ .
5.  $\frac{1}{4}|0\rangle + \frac{2-\sqrt{11}i}{4}|1\rangle$ .
6.  $e^{i\frac{\pi}{13}}|1\rangle$ .
7.  $\frac{1}{4}|0\rangle - \frac{2+\sqrt{13}i}{4}|1\rangle$ .

## Упражнение 2.6

Состояние

$$|\phi\rangle = \frac{1 - \sqrt{2}i}{4} |0\rangle - \frac{3 - 2i}{4} |1\rangle$$

измеряют в стандартном базисе  $|0\rangle$ ,  $|1\rangle$ . Какова вероятность получить результат  $|1\rangle$ ?

## Упражнение 2.7

Состояние

$$|\phi\rangle = \frac{1 - \sqrt{2}i}{4} |0\rangle - \frac{3 - 2i}{4} |1\rangle$$

измеряют в базисе Адамара  $|+\rangle$ ,  $|-\rangle$ . Какова вероятность получить результат  $|+\rangle$ ?

## Упражнение 2.8

Какую долю неполяризованного света пропускает линейный поляризатор?

$$\int_0^{2\pi} \cos^2 \phi \frac{d\phi}{2\pi} = ?$$

## Упражнение 2.9

Каким из перечисленных векторов описывается состояние  $|101\rangle$ ?

$$(1) = \begin{pmatrix} 0 \\ 1 \\ 0 \\ 1 \end{pmatrix}, \quad (2) = \begin{pmatrix} 0 \\ 0 \\ 0 \\ 0 \\ 1 \\ 0 \\ 1 \end{pmatrix}, \quad (3) = \begin{pmatrix} 0 \\ 0 \\ 0 \\ 0 \\ 1 \\ 0 \\ 0 \\ 0 \end{pmatrix}, \quad (4) = \begin{pmatrix} 0 \\ 0 \\ 0 \\ 0 \\ 0 \\ 1 \\ 0 \\ 0 \end{pmatrix}.$$

## Упражнение 2.10

Первый кубит состояния

$$|\phi\rangle = \frac{1}{2}|00\rangle - \frac{1}{2}|01\rangle + \frac{1}{2}|10\rangle + \frac{1}{2}|11\rangle$$

измерили в стандартном базисе и получили вектор  $|0\rangle$ . Какова вероятность при измерении второго кубита в базисе Адамара получить вектор  $|+\rangle$ ?

## Упражнение 2.11

Первый кубит состояния

$$|\phi\rangle = \frac{1 + \sqrt{3}i}{4}|00\rangle + \frac{1 - \sqrt{3}i}{4}|01\rangle + \frac{1 - \sqrt{3}i}{4}|10\rangle + \frac{1 + \sqrt{3}i}{4}|11\rangle$$

измерили в базисе Адамара и получили вектор  $|-\rangle$ . Какова вероятность при измерении второго кубита в стандартном базисе, получить вектор  $|0\rangle$ ?

## Упражнение 2.12.

Как выглядит матрица оператора, приведенного на рис. 2.12?

$$(1) = \begin{pmatrix} \text{CNOT} & 0 \\ 0 & \text{CNOT} \end{pmatrix}, \quad (2) = \begin{pmatrix} I & 0 & 0 & 0 \\ 0 & I & 0 & 0 \\ 0 & 0 & X & 0 \\ 0 & 0 & 0 & X \end{pmatrix},$$

$$(3) = \begin{pmatrix} 0 & I & 0 & 0 \\ I & 0 & 0 & 0 \\ 0 & 0 & 0 & I \\ 0 & 0 & I & 0 \end{pmatrix}, \quad (4) = \begin{pmatrix} 0 & I & 0 & 0 \\ I & 0 & 0 & 0 \\ 0 & 0 & I & 0 \\ 0 & 0 & 0 & I \end{pmatrix}.$$

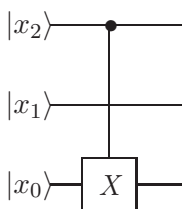


Рис. 2.12. Оператор

## Упражнение 2.13

Как выглядит матрица оператора, приведенного на рис. 2.13?

$$(1) = \begin{pmatrix} X & 0 \\ 0 & X \end{pmatrix}, \quad (2) = \begin{pmatrix} 0 & 1 & 0 & 1 \\ 1 & 0 & 1 & 0 \\ 0 & 1 & 0 & 1 \\ 1 & 0 & 1 & 0 \end{pmatrix},$$

$$(3) = \begin{pmatrix} 0 & 1 & 0 & 0 \\ 1 & 0 & 0 & 0 \\ 0 & 0 & 1 & 0 \\ 0 & 0 & 0 & 1 \end{pmatrix}, \quad (4) = \begin{pmatrix} 1 & 0 & 0 & 0 \\ 0 & 0 & 0 & 1 \\ 0 & 0 & 1 & 0 \\ 0 & 1 & 0 & 0 \end{pmatrix}.$$

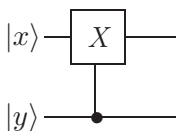


Рис. 2.13. Оператор

## Упражнение 2.14

Как выглядит схема алгоритма, реализующего оператор  $A$  на рис. 2.14?

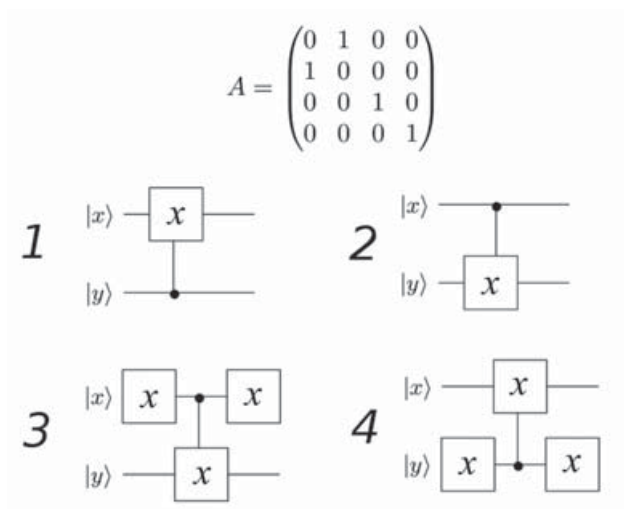


Рис. 2.14. Варианты схем

## Упражнение 2.15

Как выглядит схема алгоритма, реализующего операцию на рис. 2.15?

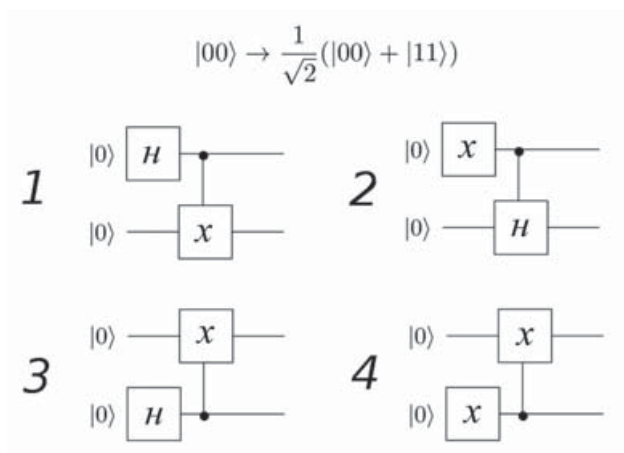


Рис. 2.15. Варианты схем



## Глава 3

# Квантовый компьютер и квантовые алгоритмы

Цель этой главы — познакомить вас с некоторыми простейшими квантовыми алгоритмами, демонстрирующими преимущества квантовых вычислений перед классическими. Кроме того, мы разберем простейший демонстрационный прототип квантового компьютера на двух кубитах, реализующий алгоритм Дэвида Дойча — первый алгоритм, разработанный для модели квантовых вычислений.

### 3.1. Задача Дойча

Итак, рассмотрим задачу Дойча [Deutsch, 1985]. Предположим, что у нас есть черный ящик, реализующий функцию  $f$ , отображающую один бит в один бит:

$$f : \{0, 1\} \rightarrow \{0, 1\}.$$

Черный ящик — это общепринятая метафора, означающая, что механизм устройства внутри ящика недоступен для анализа, и про функцию  $f$  мы ничего не можем узнать. Мы можем только вызывать ее от разных параметров, обращаясь к черному ящику, как к оракулу.

Функций, отображающих один бит в один бит, всего четыре:

$$\begin{aligned} f(x) &= 0, \\ f(x) &= 1, \\ f(x) &= x, \\ f(x) &= \bar{x}. \end{aligned} \tag{3.1}$$

Две из них — константы, 0 и 1, и две — сбалансированные, тождественная и NOT. Постановка задачи Дойча такова: является ли константой функция  $f$ , реализованная в черном ящике? При этом, по коварному замыслу производителя, черный ящик с интересующей нас функцией работает очень медленно — один вызов  $f$  он осуществляет за 24 ч. Сколько нам нужно времени, чтобы ответить на вопрос задачи Дойча?

Ясно, что одного вызова функции недостаточно. Нужно вызвать ее 2 раза — по одному для каждого из возможных параметров. Посмотрим, помогут ли нам квантовые вычисления справиться с этой задачей быстрее.

Мы помним, что эволюция квантовой системы унитарна. Следовательно, вместо функции  $f$  в черном ящике должен быть реализован унитарный оператор  $U_f$ , который, в отличие от функции  $f$ , должен быть обратим (иначе он не будет унитарным).

Квантовый оракул, реализующий функцию  $f$ , можно определить, например, вот так:

$$U_f |x\rangle |y\rangle = |x\rangle |y \oplus f(x)\rangle. \tag{3.2}$$

В отличие от функции  $f$ , отображающей один бит в один бит, оператор  $U_f$  работает в пространстве двух кубитов. При этом кубит  $|x\rangle$ , несущий значение аргумента, выполняет роль сохранения прообраза  $f(x)$  для обеспечения обратимости и не затрагивается действием оператора. Оператор  $U_f$  переставляет базисные векторы и не «склеивает» разные базисные векторы. Следовательно, он унитарен.

Кроме того, он несет в себе всю информацию о функции. Если в регистр  $y$  мы положим 0, то для всех разных значений  $x$  мы можем получить значение  $f(x)$  в этом регистре:

$$\begin{aligned} U_f |0\rangle |0\rangle &\rightarrow |0\rangle |f(0)\rangle, \\ U_f |1\rangle |0\rangle &\rightarrow |1\rangle |f(1)\rangle. \end{aligned} \quad (3.3)$$

Поскольку оператор должен быть определен на всех базисных векторах, нам придется определить  $U_f$  и для векторов, содержащих 1 в регистре  $y$ . При этом нельзя допустить, чтобы образы векторов  $|x\rangle |0\rangle$  и  $|x\rangle |1\rangle$  оказались одним вектором вида  $|x\rangle |y\rangle$ , и определение (3.2) предотвращает подобное «склеивание» векторов:

$$\begin{aligned} U_f |0\rangle |1\rangle &\rightarrow |0\rangle |1 \oplus f(0)\rangle \neq |0\rangle |f(0)\rangle = U_f |0\rangle |0\rangle, \\ U_f |1\rangle |1\rangle &\rightarrow |1\rangle |1 \oplus f(1)\rangle \neq |1\rangle |f(1)\rangle = U_f |1\rangle |0\rangle. \end{aligned} \quad (3.4)$$

Определив оракул  $U_f$  таким образом, мы получаем еще одно полезное свойство. Посмотрим, как  $U_f$  действует на состояния вида  $|x\rangle (|0\rangle - |1\rangle)$ :

$$\begin{aligned} U_f \frac{1}{\sqrt{2}} |x\rangle (|0\rangle - |1\rangle) &= \frac{1}{\sqrt{2}} |x\rangle (|0 \oplus f(x)\rangle - |1 \oplus f(x)\rangle) = \\ &= \frac{1}{\sqrt{2}} (-1)^{f(x)} |x\rangle (|0\rangle - |1\rangle). \end{aligned} \quad (3.5)$$

Получается, что для такого состояния  $U_f$  не изменяет регистр  $y$ . Вместо этого регистр  $x$  домножается на  $-1$ , если  $f(x) = 1$ .

В отличие от классического случая, где мы насчитали всего четыре функции вида  $\{0, 1\} \rightarrow \{0, 1\}$ , в квантовых вычислениях существует бесконечно много двухкубитных операторов. Рассмотрим матрицы и схемы оракулов для различных функций  $f$ .

**Константа ( $f(x) = 0$ ):**

$$\begin{aligned} U_f |x\rangle |y\rangle &= |x\rangle |y \oplus 0\rangle = |x\rangle |y\rangle, \\ U_f &= I. \end{aligned}$$

Схема устройства проста — пустой набор квантовых гейтов (рис. 3.1).



Рис. 3.1. Оператор  $U_f$ .  $f(x) = 0$

**Константа ( $f(x) = 1$ ):**

$$\begin{aligned} |00\rangle &\rightarrow |01\rangle, \\ |01\rangle &\rightarrow |00\rangle, \\ |10\rangle &\rightarrow |11\rangle, \\ |11\rangle &\rightarrow |10\rangle, \end{aligned} \tag{3.6}$$

$$U_f = \begin{pmatrix} 0 & 1 & 0 & 0 \\ 1 & 0 & 0 & 0 \\ 0 & 0 & 0 & 1 \\ 0 & 0 & 1 & 0 \end{pmatrix} = I \otimes X.$$

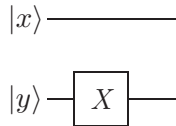


Рис. 3.2. Оператор  $U_f$ .  $f(x) = 1$

**Сбалансирована ( $f(x) = x$ ):**

$$\begin{aligned} |00\rangle &\rightarrow |00\rangle, \\ |01\rangle &\rightarrow |01\rangle, \\ |10\rangle &\rightarrow |11\rangle, \\ |11\rangle &\rightarrow |10\rangle, \end{aligned} \tag{3.7}$$

$$U_f = \begin{pmatrix} 1 & 0 & 0 & 0 \\ 0 & 1 & 0 & 0 \\ 0 & 0 & 0 & 1 \\ 0 & 0 & 1 & 0 \end{pmatrix} = \text{CNOT}.$$

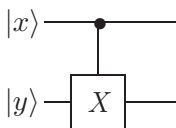


Рис. 3.3. Оператор  $U_f$ .  $f(x) = x$

**Сбалансирована ( $f(x) = \bar{x}$ ):**

$$\begin{aligned} |00\rangle &\rightarrow |01\rangle, \\ |01\rangle &\rightarrow |00\rangle, \\ |10\rangle &\rightarrow |10\rangle, \\ |11\rangle &\rightarrow |11\rangle, \end{aligned} \tag{3.8}$$

$$U_f = \begin{pmatrix} 0 & 1 & 0 & 0 \\ 1 & 0 & 0 & 0 \\ 0 & 0 & 1 & 0 \\ 0 & 0 & 0 & 1 \end{pmatrix}.$$

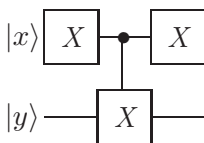


Рис. 3.4. Оператор  $U_f$ .  $f(x) = \bar{x}$

### Схема устройства

Алгоритм, решающий задачу Дойча, показан на рис. 3.5.

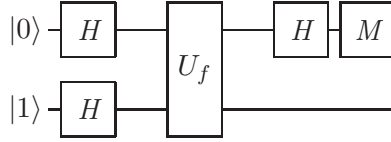


Рис. 3.5. Алгоритм Дойча

На вход устройства подаются два кубита —  $|0\rangle$  в регистре  $x$  и  $|1\rangle$  в регистре  $y$ . К обоим кубитам применяется преобразование Адамара и неизвестный квантовый оракул (один из рассмотренных нами ранее). После этого к кубиту в регистре  $x$  снова применяется преобразование Адамара. Буква  $M$  на схеме означает измерение (measurement) — измеряется только кубит в регистре  $x$ . Как видите, оракул в этом алгоритме вызывается всего 1 раз (вместо классического 2-разового вызова).

Давайте посмотрим, к чему это приведет (см. (3.5)):

$$\begin{aligned}
 |01\rangle &\xrightarrow{H_2} \frac{1}{2}(|0\rangle + |1\rangle)(|0\rangle - |1\rangle) = \\
 &= \frac{1}{2}|0\rangle(|0\rangle - |1\rangle) + \frac{1}{2}|1\rangle(|0\rangle - |1\rangle) \xrightarrow{U_f} \\
 &\xrightarrow{U_f} \frac{1}{2}(-1)^{f(0)}|0\rangle(|0\rangle - |1\rangle) + \frac{1}{2}(-1)^{f(1)}|1\rangle(|0\rangle - |1\rangle) = \\
 &= \frac{1}{2}((-1)^{f(0)}|0\rangle + (-1)^{f(1)}|1\rangle)(|0\rangle - |1\rangle). \quad (3.9)
 \end{aligned}$$

Нам остается только применить преобразование Адамара к первому кубиту и после этого его измерить.

Рассмотрим состояние первого кубита в (3.9). Если функция  $f$  — константа, то оба показателя степеней  $(-1)$  будут равны, и это состояние представляет собой

$$\pm \frac{1}{\sqrt{2}}(|0\rangle + |1\rangle) = \pm H(|0\rangle).$$

Если же функция  $f$  сбалансирована ( $f(0) \neq f(1)$ ), то степени  $(-1)$  будут разными, и состояние будет выглядеть так:

$$\pm \frac{1}{\sqrt{2}}(|0\rangle - |1\rangle) = \pm H(|1\rangle).$$

Таким образом, после применения оператора Адамара к первому кубиту (мы помним, что  $H^{-1} = H$ ), в регистре  $x$  будет находиться  $|0\rangle$ , если  $f$  — константа, и  $|1\rangle$ , если  $f$  сбалансирована. Измерение первого кубита в стандартном базисе позволит нам определить, с какой из этих ситуаций мы имеем дело.

На рис. 3.6 приведена реализация алгоритма Дойча на симуляторе квантового компьютера (см. <http://qc-sim.appspot.com>) для функции  $f(x) = x$ .

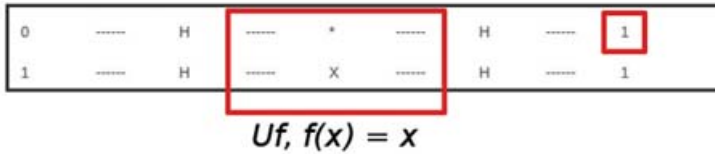


Рис. 3.6. Алгоритм Дойча на симуляторе квантового компьютера

Результат измерения первого кубита —  $|1\rangle$  — соответствует ожидаемому для сбалансированной функции.

## 3.2. Квантовый компьютер на фотонах

Для демонстрации алгоритма Дойча рассмотрим простейший квантовый компьютер на двух кубитах, который вы при желании можете собрать у себя дома или в лаборатории (рис. 3.7).

Предлагаемый вашему вниманию прототип представляет собой набор устройств, размещенных в определенном порядке на тяжелом ровном щите из ДСП (рис. 3.8).

Красный лазер (1) излучает фотоны с длиной волны 650 нм. Каждый фотон будет носителем сразу двух кубитов: один кубит будет кодироваться поляризацией фотона, вто-



Рис. 3.7. Внешний вид квантового компьютера

рой — его путем в интерферометре. Для одного сеанса вычислений нам, вообще говоря, достаточно одного фотона.

Линейный поляризатор (2), знакомый вам по гл. 2, пропускает в интерферометр только фотоны с нужной поляризацией. Пройдя его, фотон входит в интерферометр Маха—Цендера, состоящий из двух полупрозрачных зеркал (светоделительных кубиков) (3) и двух обычных металлических зеркал (4).

Обратите внимание, что светоделительные кубики неполяризационные. Они не должны никак влиять на поляризацию фотонов.

Зеркала должны быть полностью металлическими без стеклянного покрытия. Такими пользуются, например, стоматологи. Стеклянное покрытие является дополнительной отражающей поверхностью и добавляет ненужное нам расщепление фотона, так как он может отразиться и от стекла, и от металла зеркала.

Функцию оракула в компьютере выполняют две полуволновые пластины для красного света (5). О них чуть позже.



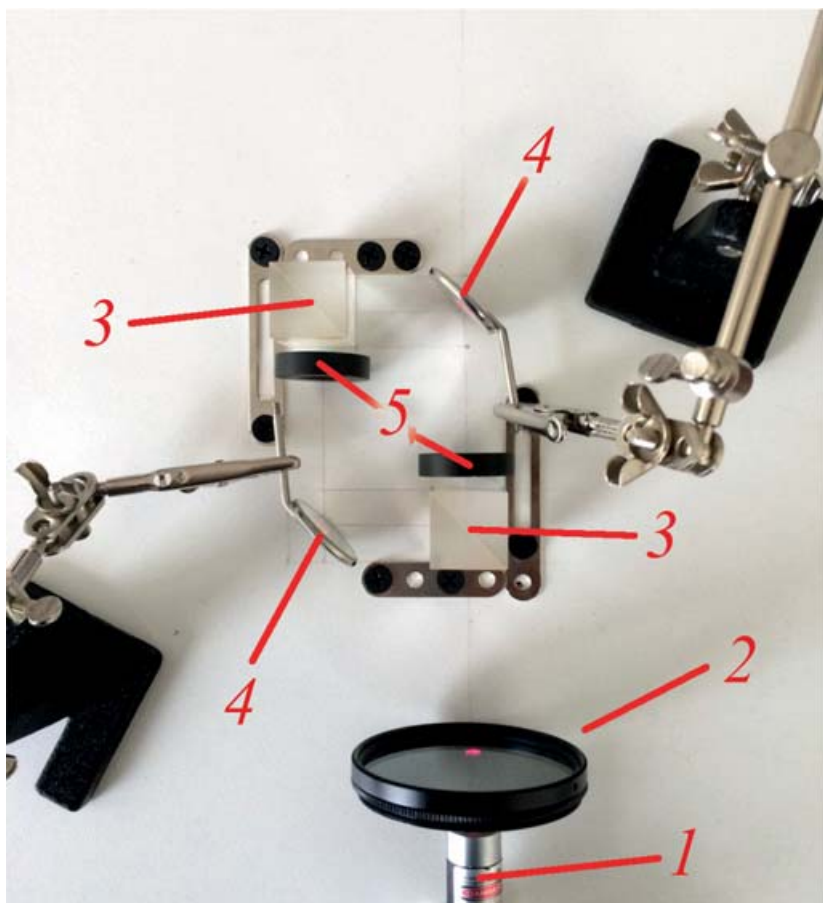


Рис. 3.8. Квантовый компьютер (обозначения компонентов см. в тексте)

Результатом измерения является вид интерференционной картины, полученной на экране при выходе лучей из интерферометра.

Интерферометр Маха—Цендера действует следующим образом (рис. 3.9):

- 1) при прохождении полупрозрачного зеркала внутри первого кубика фотон имеет две равновероятные возможности: 1) отразиться от зеркала и пойти по левому плечу интерферометра или 2) пройти его насквозь и пойти

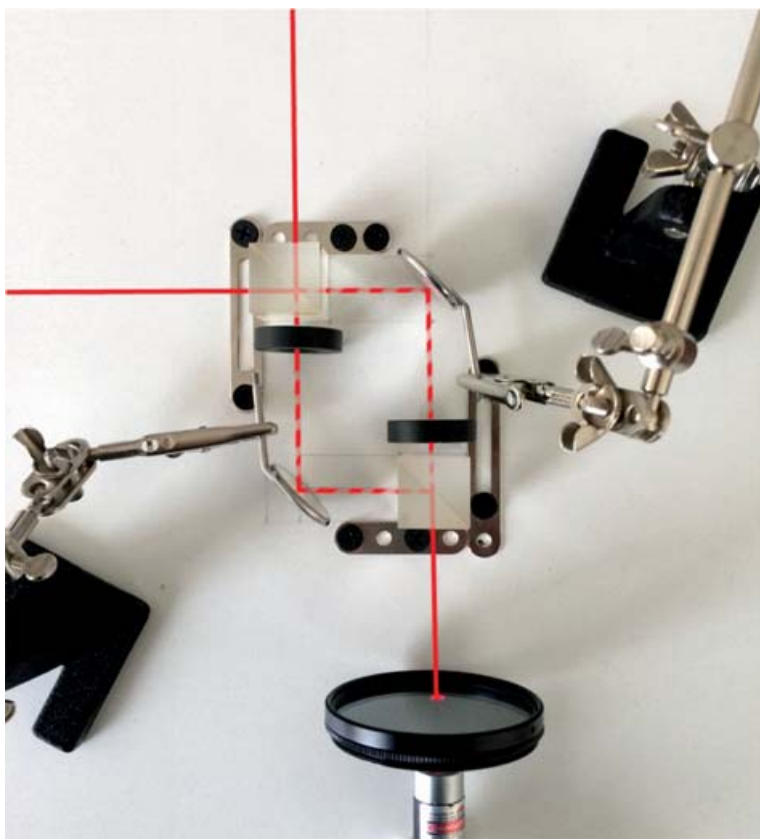


Рис. 3.9. Квантовый компьютер. Интерферометр Маха—Цендера

по правому плечу. Таким образом, для одного фотона до момента его измерения мы имеем суперпозицию двух состояний — фотон в левом и в правом плечах интерферометра;

- 2) далее на обоих путях фотона стоят зеркала, отражающие «раздвоившийся» фотон на второй кубик, где для каждого из путей опять возникает две возможности — пройти насквозь или отразиться.

Рассмотрим верхний выход. В него попадает левый фотон, прошедший второй кубик насквозь и правый фотон, отразив-

шийся от этого кубика. При этом мы помним, что это один и тот же фотон. Значит, он может проинтерферировать сам с собой, и на экране сверху (да и слева тоже) мы должны увидеть интерференционную картину.

### Полуволновая пластина. Принцип действия

Разберем принцип действия полуволновой пластины.

Мы уже говорили в гл. 2 о кристаллах с оптической осью. Линейные поляризаторы, например, пропускают свет, поляризованный вдоль одной оси, и не пропускают фотоны, поляризованные вдоль второй, перпендикулярной оси.

Похожим образом устроены кристаллы, используемые в волновых пластинах. У этих кристаллов тоже есть ось (рис. 3.10), и фотоны, поляризованные вдоль нее, беспрепятственно проходят через кристалл. Луч, прошедший через кристалл по этой оси (ось Fast), называется *обыкновенным*.

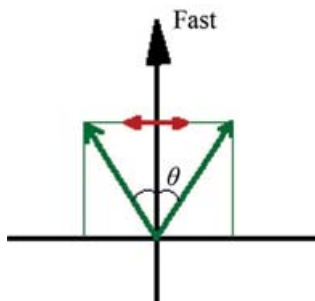


Рис. 3.10. Волновая пластина  $\lambda/2$

Фотоны, поляризованные вдоль ортогональной оси, тоже проходят, но замедляются кристаллом (формируют «необыкновенный» луч). При этом можно подобрать такую толщину кристалла, чтобы вышедший из него фотон *необыкновенного луча* запоздал по сравнению с *обыкновенным* на половину длины волны ( $\lambda/2$ ). Это равносильно умножению волны на  $-1$ .

Давайте посмотрим, что будет с лучом, наклоненным по отношению к оси кристалла на угол  $\theta$  (рис. 3.10). Вертикальная его составляющая проходит без изменений, а горизонтальная домножается на  $-1$ : плоскость поляризации отражается относительно оптической оси полуволновой пластины.

Носителем кубитов в рассматриваемом квантовом компьютере является один фотон. Первый кубит (регистр  $|x\rangle$  в задаче Дойча) кодируется путем фотона в интерферометре Маха—Цендера:

$|0\rangle$  — правое плечо,

$|1\rangle$  — левое плечо.

Второй кубит (регистр  $|y\rangle$ ) кодируется поляризацией фотона относительно плоскости основания:

$|0\rangle$  — горизонтальная поляризация,

$|1\rangle$  — вертикальная поляризация.

### Работа компьютера. Поляризатор

Внутри интерферометра попадают только фотоны, прошедшие поляризатор. Абсолютная ориентация поляризатора для вычислений неважна, но мы договорились о кодировании второго кубита его поляризацией относительно плоскости основания, поэтому мы ориентируем поляризатор под углом  $-\pi/4$  к плоскости основания (рис. 3.11).

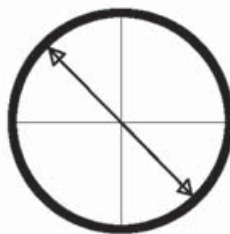


Рис. 3.11. Ориентация линейного поляризатора

Таким образом, после прохождения поляризатора мы имеем состояние

$$\frac{1}{\sqrt{2}} |0\rangle (|0\rangle - |1\rangle).$$

Поляризатор в этом устройстве выполняет роль преобразования Адамара на втором кубите в алгоритме Дойча.

### Работа компьютера. Первый кубик

Первый кубик играет роль преобразования Адамара на первом кубите. После него мы имеем состояние:

$$\frac{1}{2} (|0\rangle + |1\rangle) (|0\rangle - |1\rangle).$$

### Работа компьютера. Оракул

Мы прошли первый этап схемы Дойча — операторы Адамара. Теперь настало время оракула. В задаче Дойча возможно только четыре вида квантового оракула, каждый из которых нам необходимо уметь реализовывать при помощи полуволновых пластин.

Полуволновые пластины мы ориентируем под прямым углом к поляризатору (рис. 3.12).

При угле  $\pi/2$  с направлением поляризации фотонов полуволновые пластины действуют как умножение состояния на  $(-1)$  — замедление на половину длины волны:

$$|x\rangle (|0\rangle - |1\rangle) \rightarrow -|x\rangle (|0\rangle - |1\rangle).$$

Для  $f(x) = 0$  мы имеем схему тождественного оператора (рис. 3.13). Полуволновые пластины не требуются ни на левом, ни на правом пути.

Для  $f(x) = 1$  второй кубит подвергается воздействию оператора NOT независимо от значения первого кубита (рис. 3.14). Полуволновые пластины поставлены на обоих путях.

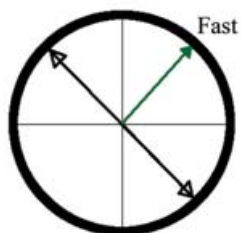


Рис. 3.12. Ориентация полуволновой пластины



Рис. 3.13. Оператор  $U_f$  и его реализация на полуволновых пластинах.  $f(x) = 0$  (здесь и на рис. 3.14–3.16 и 3.26:  $L$  и  $R$  — соответственно левый и правый пути)

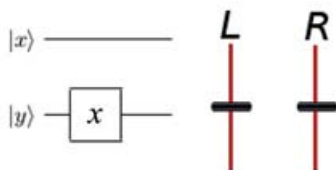


Рис. 3.14. Оператор  $U_f$  и его реализация на полуволновых пластинах.  $f(x) = 1$

Для  $f(x) = x$  второй кубит подвергается воздействию оператора NOT, только если первый кубит равен 1 — это соответствует левому плечу интерферометра (рис. 3.15). Полуволновая пластина ставится на левом пути.

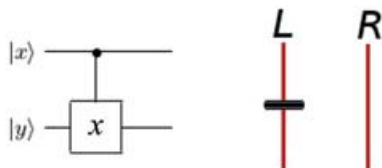


Рис. 3.15. Оператор  $U_f$  и его реализация на полуволновых пластинах.  $f(x) = x$

Для  $f(x) = \bar{x}$  второй кубит подвергается воздействию оператора NOT, только если первый кубит равен 0 — это соответствует правому плечу интерферометра (рис. 3.16). Полуволновая пластина ставится на правом пути.

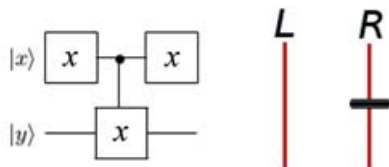


Рис. 3.16. Оператор  $U_f$  и его реализация на полуволновых пластинах.  $f(x) = \bar{x}$

### Работа компьютера. Второй кубит

Второй кубит сводит два плеча интерферометра вместе, выполняя роль преобразования Адамара на первом кубите.

### Работа компьютера. Измерение

Настало время измерения первого кубита. На рис. 3.17 вы видите два луча, демонстрирующие ситуацию, в которой интерферометр не настроен. Интерферометр настраивают путем поворота зеркал таким образом, чтобы свести эти два луча в одну точку.

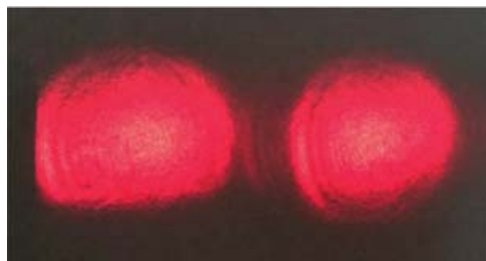


Рис. 3.17. Интерферометр не настроен

После настройки мы увидим интерференционную картину, приведенную на рис. 3.18. Такая картина была получена при двух конфигурациях оракула: 1) без полуволновых пластин и 2) с пластинами на обоих путях, потому что, когда пластины стоят на обоих путях, оба луча задерживаются одинаково, и это не меняет характера интерференции.

Интерференционная картина на рис. 3.18 соответствует ситуации, когда  $f$  — константа. Некоторые светлые полосы выделены темным контуром.

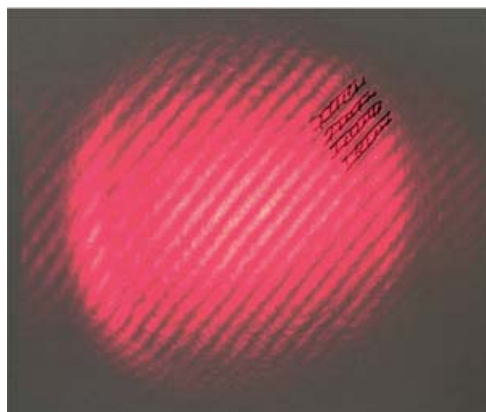


Рис. 3.18. Интерференционная картина.  
 $f$  — константа

Если полуволновая пластина стоит только на одном из плеч интерферометра ( $f$  сбалансирована), то один из лучей за-



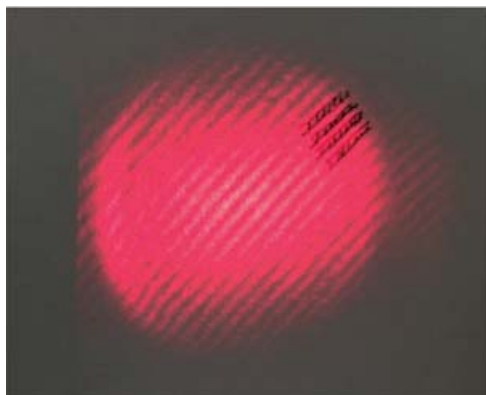


Рис. 3.19. Интерференционная картина.  
 $f$  сбалансирована

держивается по фазе на  $\pi$ , и в тех местах, где раньше были максимумы интерференционной картины, возникнут тени, так как в эти точки лучи будут приходить в противофазе. Это мы и видим на рис. 3.19!

Таким образом, настроив интерферометр и пропустив через него всего один фотон, мы можем понять, какого вида оракул сконфигурирован внутри интерферометра.

### 3.3. Задача Дойча—Джозы

Рассмотрим еще несколько простых задач, которые помогут нам сформировать представление о том, что такое типичный квантовый алгоритм.

#### Постановка задачи Дойча—Джозы

Функция  $f : \{0, 1\}^n \rightarrow \{0, 1\}$  преобразовывает  $n$ -битное число в один бит. При этом известно, что  $f$  — либо константа, либо сбалансирована (возвращает 1 ровно на половине своей области определения). Необходимо выяснить, какая ситуация имеет место на самом деле. Функция  $f$  реализована в виде черного ящика [Deutsch, Jozsa, 1992].

В классическом случае для того, чтобы достоверно убедиться, что  $f = \text{const}$ , потребуется  $2^{n-1}$  обращений к оракулу. Квантовый алгоритм (рис. 3.20) позволяет определить тип функции за одно обращение к квантовому оракулу.

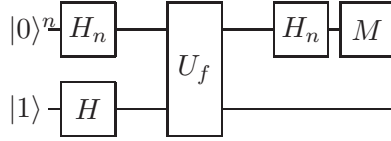


Рис. 3.20. Алгоритм Дойча—Джозы

Рассмотрим действие алгоритма:

$$\begin{aligned}
 |0\rangle^n |1\rangle &\xrightarrow{H_{n+1}} \frac{1}{2^{\frac{n+1}{2}}} \sum_{x=0}^{2^n-1} |x\rangle (|0\rangle - |1\rangle) \xrightarrow{U_f} \\
 &\xrightarrow{U_f} \frac{1}{2^{\frac{n+1}{2}}} \sum_{x=0}^{2^n-1} (-1)^{f(x)} |x\rangle (|0\rangle - |1\rangle). \quad (3.10)
 \end{aligned}$$

Если  $f = \text{const}$ , то  $(-1)^{f(x)}$  можно вынести из под знака суммы, и первые  $n$  кубитов находятся в состоянии

$$\frac{1}{2^{n/2}} (-1)^f \sum_{x=0}^{2^n-1} |x\rangle = (-1)^f H_n |0\rangle^n.$$

Тогда после применения оператора  $H_n$  измерение входного регистра даст вектор  $|0\rangle^n$  с вероятностью 1.

Если же функция сбалансирована, то состояние во входном регистре можно представить следующим образом:

$$\frac{1}{2^{n/2}} \left( \sum_{x:f(x)=0} |x\rangle - \sum_{x:f(x)=1} |x\rangle \right). \quad (3.11)$$

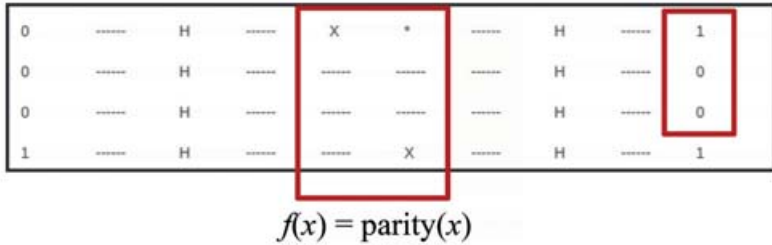


Рис. 3.21. Алгоритм Дойча—Джозы для функции «четность»

Обратим внимание, что оператор Адамара, примененный к любому вектору  $|x\rangle$ , возвращает сумму векторов, в которой при векторе  $|0\rangle^n$  всегда стоит коэффициент 1:

$$H_n |x\rangle = \frac{1}{2^{n/2}} \sum_{y=0}^{2^n-1} (-1)^{x \bullet y} |y\rangle = \frac{1}{2^{n/2}} (|0\rangle^n + \sum_{y=1}^{2^n-1} (-1)^{x \bullet y} |y\rangle).$$

Число слагаемых в обеих суммах в (3.11) одинаково, так как функция  $f$  сбалансирована. Следовательно, после применения к этим суммам оператора  $H_n$ , все векторы  $|0\rangle^n$ , получившиеся из первой суммы, взаимоуничтожатся с векторами  $|0\rangle^n$ , получившимися из второй суммы (поскольку перед второй суммой стоит минус). Таким образом, в результирующем состоянии не будет вектора  $|0\rangle^n$ , и его нельзя получить в результате измерения входного регистра.

Если в результате измерения мы получили вектор  $|0\rangle^n$ , то функция  $f$  — константа. Если же мы получили любой другой вектор, функция  $f$  сбалансирована.

На (рис. 3.21) приведен пример реализации алгоритма Дойча—Джозы на квантовом симуляторе для функции «четность»:

$$f(x) = 1 \iff x \bmod 2 = 0.$$

Мы видим, что результат измерения входного регистра равен  $|100\rangle$ , что соответствует результату «функция сбалансирована».

### 3.4. Задача Бернштейна—Вазирани

#### Постановка задачи

В черном ящике реализована функция  $f$ :

$$f : \{0, 1\}^n \rightarrow \{0, 1\},$$

$$f(x) = a \bullet x.$$

Необходимо найти число  $a$ .

В классическом случае вычисление каждого бита числа  $a$  потребует отдельного обращения к оракулу. Тот же самый квантовый алгоритм (рис. 3.20), который мы использовали в задаче Дойча—Джозы, позволяет определить  $a$  за одно обращение к квантовому оракулу.

Поскольку мы используем тот же алгоритм, что и в предыдущей задаче, мы не будем повторять разбор первых шагов и начнем с состояния (3.10), получаемого во входном регистре после вызова оракула  $U_f$ :

$$\begin{aligned} & \frac{1}{2^{\frac{n+1}{2}}} \sum_{x=0}^{2^n-1} (-1)^{f(x)} |x\rangle (|0\rangle - |1\rangle) = \\ & = \frac{1}{2^{\frac{n+1}{2}}} \sum_{x=0}^{2^n-1} (-1)^{a \bullet x} |x\rangle (|0\rangle - |1\rangle) = H_n |a\rangle \xrightarrow{H_n} |a\rangle. \end{aligned}$$

Таким образом, после применения схемы измерение входного регистра даст вектор  $|a\rangle$ .

На рис. 3.22 приведен пример реализации алгоритма Бернштейна—Вазирани [Bernstein, Vazirani, 1993] на квантовом симуляторе для функции  $f(x) = 163 \bullet x$ .

Мы видим, что результат измерения входного регистра равен  $|10100011\rangle$ , что является двоичным представлением числа 163.

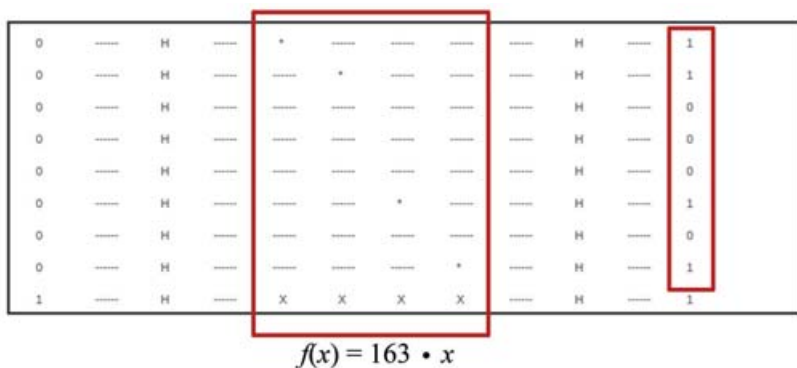


Рис. 3.22. Алгоритм Бернштейна—Вазирани.  $a = 163 = 0b10100011$

### 3.5. Задача Саймона

#### Постановка задачи

Функция  $f : \{0, 1\}^n \rightarrow \{0, 1\}^n$  реализована в виде черного ящика. Известно, что  $f$  имеет своеобразный период  $a$ :

$$\exists! a \neq 0 : \forall x f(x) = f(y) \iff y = x \oplus a.$$

Необходимо определить число  $a$ .

Для классических вычислений эта задача [Simon, 1994] сложная. В худшем случае может потребоваться порядка  $2^{n-1} + 1$  обращений к оракулу и столько же памяти для хранения результатов вызова функции. В среднем же потребуется  $O(2^{n-2})$  вызовов  $f$ , если предположить, что задачу придется решать многократно для разных функций.

Квантовый алгоритм для решения задачи приведен на рис. 3.23.

Рассмотрим действие алгоритма. После применения оператора Адамара и оракула  $U_f$  мы получим:

$$|0\rangle^n |0\rangle^n \xrightarrow{H_{n/2}} \frac{1}{2^{n/2}} \sum_{x=0}^{2^n-1} |x\rangle |0\rangle^n \xrightarrow{U_f} \frac{1}{2^{n/2}} \sum_{x=0}^{2^n-1} |x\rangle |f(x)\rangle.$$

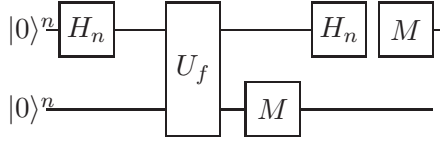


Рис. 3.23. Алгоритм Саймона

Для каждого значения  $f(x)$  существуют ровно два прообраза этого значения —  $x$  и  $(x \oplus a)$ , поэтому мы можем вынести  $f(x)$  для всех таких пар за скобки:

$$\frac{1}{2^{n/2}} \sum_{x=0}^{2^n-1} |x\rangle |f(x)\rangle = \frac{1}{2^{n/2}} \sum_{x \neq x \oplus a} (|x\rangle + |x \oplus a\rangle) |f(x)\rangle.$$

После измерения второго регистра в нем останется какое-то конкретное значение  $f(x)$ , а в первом регистре окажется сумма прообразов этого значения:

$$\frac{1}{\sqrt{2}} (|x\rangle + |x \oplus a\rangle) |f(x)\rangle.$$

Далее по схеме следует применение преобразования Адамара к первому регистру:

$$\begin{aligned} & \frac{1}{\sqrt{2}} (|x\rangle + |x \oplus a\rangle) \xrightarrow{H_n} \frac{1}{2^{\frac{n+1}{2}}} \times \\ & \times \sum_{y=0}^{2^n-1} (-1)^{x \bullet y} |y\rangle + \frac{1}{2^{\frac{n+1}{2}}} \sum_{y=0}^{2^n-1} (-1)^{(x \oplus a) \bullet y} |y\rangle = \\ & = \frac{1}{2^{\frac{n+1}{2}}} \sum_{y=0}^{2^n-1} ((-1)^{x \bullet y} + (-1)^{x \bullet y \oplus a \bullet y}) |y\rangle = \frac{1}{\dots} \sum_{y: a \bullet y = 0} |y\rangle. \quad (3.12) \end{aligned}$$

В сумме (3.12) останутся только векторы  $|y\rangle$ , номера которых удовлетворяют условию:

$$a \bullet y = 0. \quad (3.13)$$

Для определения числа  $a$  нам необходимо  $n$  линейно-независимых уравнений вида (3.13), и для их получения придется запустить алгоритм Саймона  $O(n)$  раз.

Итак, в этой главе мы разобрали четыре квантовых алгоритма и познакомились с простейшим прототипом квантового компьютера.

Во всех квантовых алгоритмах присутствовали следующие этапы:

- 1) подготовка суперпозиции всех возможных входных данных для интересующей нас функции;
- 2) применение самой функции (квантового оракула);
- 3) преобразование результата таким образом, чтобы вероятность интересующего нас исхода была близка к единице.

Для базового знакомства с квантовыми вычислениями пройденного на данный момент материала может быть достаточно. Те же, кому интересны алгоритмы решения реальных практических задач, могут выполнить упражнения к данной главе и перейти к следующей.

## 3.6. Упражнения

### Упражнение 3.1

Оператор  $U_f |x\rangle |y\rangle \rightarrow |x\rangle |y \oplus f(x)\rangle$  реализован в виде схемы (3.24). Какой из перечисленных функций  $f(x)$  соответствует этот оператор?

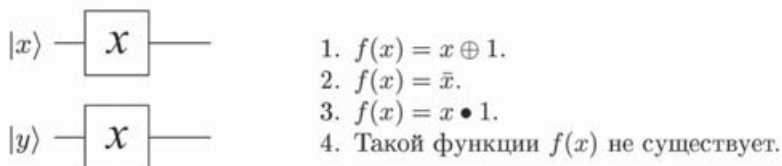


Рис. 3.24. Схема оператора и варианты функций  $f(x)$

## Упражнение 3.2

Какой из перечисленных на рис. 3.25 схем соответствует оператор  $U$ ?

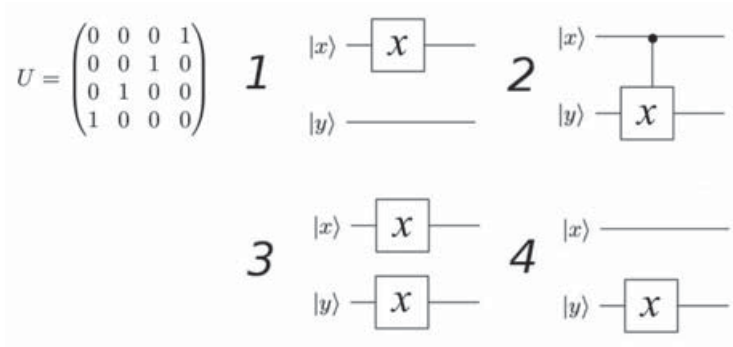


Рис. 3.25. Оператор  $U$  и варианты схем

## Упражнение 3.3

Какова должна быть конфигурация полуволновых пластин в представленном в лекциях квантовом компьютере на фотонах для реализации оператора  $U$  (рис. 3.26)? Состояние системы до прохождения полуволновых пластин описывается вектором  $\frac{1}{2}(|0\rangle + |1\rangle)(|0\rangle - |1\rangle)$ .

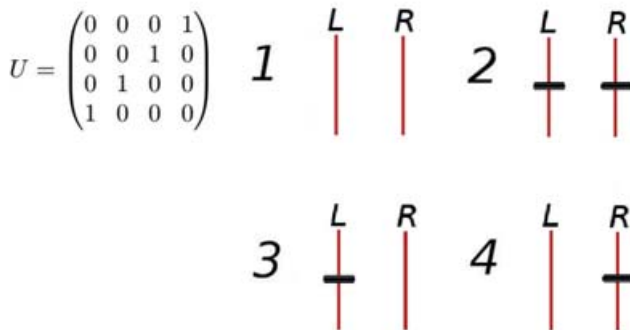


Рис. 3.26. Оператор  $U$  и варианты схем



## Упражнение 3.4

На рис. 3.27 выберите правильную схему оператора  $U_f$  для функции

$$f(x) : \{0, 1\}^3 \rightarrow \{0, 1\}, \quad f(x) = 7 \bullet x.$$

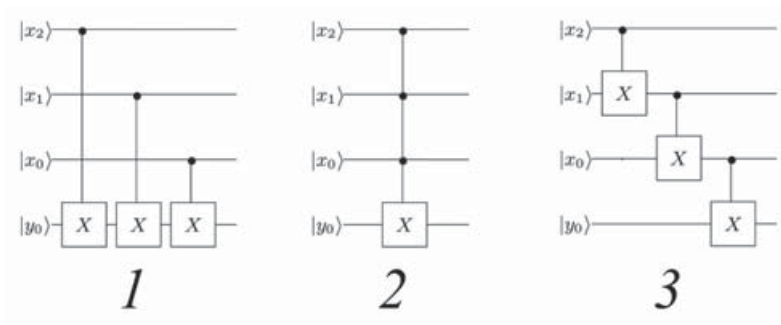


Рис. 3.27. Варианты схем для оператора  $U_f$

## Упражнение 3.5

Функция  $f : \{0, 1\}^2 \rightarrow \{0, 1\}$ ,  $f(x_1x_0) = x_0$ , возвращает младший бит своего аргумента. Решите задачу Саймона для этой функции и запишите число  $a$  в десятичной системе счисления.

## Упражнение 3.6

Функция  $f : \{0, 1\}^2 \rightarrow \{0, 1\}$ ,  $f(x_1x_0) = x_0$ , возвращает младший бит своего аргумента. Как выглядит оператор  $U_f$  для этой функции?

1.  $\text{CNOT} \otimes I$ .
2.  $X \otimes X \otimes X$ .
3.  $X \otimes I \otimes X$ .
4.  $I \otimes \text{CNOT}$ .

## Глава 4

# Алгоритм Шора

### 4.1. Введение

Материал этой главы посвящен, наверно, наиболее известному и нашумевшему квантовому алгоритму — алгоритму Шора, предложенному американским математиком Питером Шором в 1994 году. Алгоритм Шора [Shor, 1994] — это квантовый алгоритм, позволяющий разложить составное число на простые множители. Разложение чисел на простые множители называется факторизацией.

Важным параметром алгоритмов факторизации является динамика роста ресурсов, требуемых для выполнения задачи в зависимости от размеров факторизируемого числа. Представим, например, что некоторое большое число  $N$  состоит из простых множителей  $p$  и  $q$ , нам неизвестных ( $N = pq$ ). Если мы захотим найти эти множители путем простого перебора, то нам потребуется попробовать все потенциальные множители от 2 до  $\sqrt{N}$ , что является практически невыполнимой операцией для достаточно больших  $N$ . Классические алгоритмы решения этой задачи, известные на настоящий момент, ненамного лучше такого перебора. Это дает возможность как бы спрятать два разных простых числа в их произведении. Все могут видеть произведение, но никто не может узнать сами числа.

Оказывается, пользуясь этой несимметричностью процессов умножения и факторизации, можно прятать у всех на виду не только сами известные нам большие простые числа, но и вообще что угодно! Более того, вы можете предоставить всему миру возможность зашифровывать информацию таким образом, что прочтение ее будет доступно только вам. Подобное шифрование называется ассиметричным, или шифрованием с открытым ключом. Идея такова: у нас есть два ключа — один секретный, второй — открытый. Открытый ключ знают все вокруг. Если кто-то хочет послать нам секретное сообщение, он шифрует его открытым ключом, после чего никто, кроме нас расшифровать это сообщение уже не сможет. Это можно сделать только при помощи секретного ключа.

Ассиметричные алгоритмы шифрования очень важны, поскольку они позволяют, например, наладить закрытый канал передачи данных по открытой сети между заранее незнакомыми корреспондентами. Например, без ассиметричного шифрования было бы неосуществимы «рукопожатие» (handshake) в протоколе https, и, следовательно, стало бы невозможным защищенное соединение без предварительной договоренности.

Впервые алгоритм ассиметричного шифрования, основанный на сложности факторизации, был предложен англичанином Клиффордом Коксом в 1973 году. Результат Кокса был настолько высоко оценен английским правительством, что его немедленно засекретили. Поэтому официально первооткрывателями алгоритма считаются трое американцев — Ron Rivest, Adi Shamir и Leonard Adleman, опубликовавшие его в 1977 году. В их честь алгоритм назван по первым буквам фамилий — RSA.

## 4.2. Факторизация и RSA

Нам будет полезно вспомнить алгоритм RSA.

Пусть  $p$  и  $q$  — большие, неравные друг другу простые числа, а число  $N = pq$ . Тогда, по теореме Эйлера

$$\forall a < N : (a, N) = 1,$$

$$a^{\Phi(N)} = 1(N), \quad (4.1)$$

где  $\Phi(N)$  — функция Эйлера, равная количеству чисел, которые меньше аргумента  $(N)$  и взаимнопросты с ним (включая единицу):

$$\Phi(N) = (p-1)(q-1).$$

Выберем некоторое число  $e < N$ ,  $(e, N) = 1$ ,  $(e, \Phi(N)) = 1$ . Тогда

$$\exists d < N : ed = 1(\Phi(N)),$$

или

$$\exists d, k : ed + \Phi(N)k = 1. \quad (4.2)$$

Единица является наибольшим общим делителем чисел  $e$  и  $\Phi(N)$ , а выражение (4.2) является линейным представлением НОД<sup>1</sup>, которое можно найти, например, при помощи расширенного алгоритма Евклида. Назовем

$m < N$ ,  $(m, N) = 1$  — сообщением,

$e, N$  — открытым ключом,

$d, N$  — закрытым ключом.

Открытый ключ, как правило, делается доступным широкому кругу лиц (потенциальных корреспондентов), а числа  $d, \Phi(N), p$  и  $q$  держаться в секрете.

Сообщения для нас теперь может зашифровать любой, кому известен открытый ключ:

$$\text{encode}(m) = m^e(N),$$

а расшифровать их можем только мы:

$$\begin{aligned} \text{decode}(\text{encode}(m)) &= (\text{encode}(m))^d(N) = (m^e)^d(N) = \\ &= m^{ed}(N) = m^{1+\Phi(N)k}(N) = mm^{\Phi(N)k}(N) \stackrel{(4.1)}{=} m. \end{aligned}$$

Рассмотрим пример. Пусть

$$p = 11, q = 13,$$

---

<sup>1</sup> НОД — наибольший общий делитель (greatest common divisor).

$$N = pq = 143,$$

$$\Phi(N) = 10 \cdot 12 = 120,$$

$$e = 17.$$

Пара  $\{N, e\} = \{143, 17\}$  — открытый ключ. Зашифруем при помощи этого ключа сообщение «7»:

$$\begin{aligned} 7^{17}(143) &= 7 \cdot 49^8(143) = 7 \cdot 2401^4(143) = 7 \cdot 113^4(143) = \\ &= 7 \cdot (-30)^4(143) = 7 \cdot 900^2(143) = 7 \cdot 42^2(143) = 7 \cdot 48(143) = 50(143). \end{aligned}$$

Итак, «50» — зашифрованное сообщение. Для того чтобы расшифровать его, необходимо найти число  $d$ , удовлетворяющее (4.2):

$$17d = 1 + 120k.$$

Для этого мы можем воспользоваться расширенным алгоритмом Евклида или, например, заметить, что

$$17 \cdot 7 = 119 = 120 - 1,$$

$$17 \cdot (-7) = 1 + 120 \cdot (-1),$$

$$d = -7 = 113(120).$$

Пара  $\{N, d\} = \{143, 113\}$  является закрытым ключом, при помощи которого мы можем расшифровать сообщение:

$$50^{113} = 7(143).$$

Как видите, вся надежность алгоритма RSA основана на том, что злоумышленник не может узнать разложение числа  $N$  на множители за разумное время, чтобы получить значение  $\Phi(N)$  и далее  $d$ .

Все изменилось с появлением алгоритма Шора!

### 4.3. Поиск периода и факторизация

Алгоритм Шора предназначен для поиска неизвестного периода некоторой периодической функции. Почему же тогда я обещал, что он позволит раскладывать числа на множители? Давайте разберемся.

Пусть  $p$  и  $q$  — различные простые числа и  $N = pq$ . Для некоторого числа  $a < N$  :  $(a, N) = 1$  определим функцию  $f_a(x)$ :

$$f_a(x) = a^x(N).$$

Функция  $f_a$  периодическая, и ее период  $r$  является порядком числа  $a$  в кольце  $\mathbb{Z}_N$ :

$$a^r = 1(N),$$

$$\forall r_1 < r \quad a^{r_1} \neq 1(N).$$

Если в нашем распоряжении есть устройство, умеющее находить период любой периодической функции, то при помощи этого устройства, выбрав случайным образом число  $a$ , мы можем найти период  $r$  функции  $f_a$ .

Допустим, что число  $r$  — четное.

$$r = 0(2). \tag{4.3}$$

Тогда выражение

$$a^r - 1 = 0(N)$$

мы можем представить в виде

$$(a^{r/2} - 1)(a^{r/2} + 1) = Nk.$$

Число  $(a^{r/2} - 1)$  не делится на  $N$ , так как иначе  $a^{r/2}$  было бы сравнимо с 0 по модулю  $N$ , и число  $r/2$  было бы периодом.

Допустим также, что

$$(a^{r/2} + 1) \neq 0(N). \tag{4.4}$$

Тогда произведение  $(a^{r/2} - 1)(a^{r/2} + 1)$  делится на  $N$ , но ни один из множителей  $(a^{r/2} - 1)$ ,  $(a^{r/2} + 1)$  не делится на  $N$  целиком. Следовательно, числа  $(a^{r/2} - 1)$ ,  $(a^{r/2} + 1)$  не взаимно просты с  $N$ , и мы можем найти  $p$  и  $q$  при помощи алгоритма Евклида:

$$p, q = \text{GCD}(a^{r/2} \pm 1, N),$$

где GCD — greatest common divisor.

В ходе рассуждения мы сделали два допущения — (4.3) и (4.4). Нам необходимо оценить, с какой вероятностью для наугад выбранного числа  $a$  его порядок  $r$  удовлетворяет этим условиям.

Рассмотрим числа:

$$a_1 = a(p),$$

$$a_2 = a(q)$$

и их порядки  $r_1$  и  $r_2$  в кольцах  $\mathbb{Z}_p$  и  $\mathbb{Z}_q$  соответственно. В кольце  $\mathbb{Z}_p$  выполняется равенство

$$a_1^r(p) = a^r(p) = 1,$$

так как  $a^r = 1(pq)$ . Поскольку  $r_1$  — порядок числа  $a_1$  в  $\mathbb{Z}_p$ , число  $r$  должно делиться на  $r_1$ . Аналогичные рассуждения для  $\mathbb{Z}_q$  приводят нас к выводу, что число  $r$  должно делиться также и на  $r_2$ .

Кроме того, для произвольного числа  $s$  его делимость на  $r_1$  и  $r_2$  является достаточным условием, чтобы  $s$  делилось также и на  $r$ :

$$a^s = pk_1 + 1, \tag{4.5}$$

$$a^s = qk_2 + 1, \tag{4.6}$$

так как  $s$  делится на  $r_1$  и  $r_2$ .

Вычитая (4.6) из (4.5), получаем

$$pk_1 = qk_2. \tag{4.7}$$

Поскольку  $p$  не делится на  $q$ , из (4.7) следует, что  $k_1$  должно делиться на  $q$ , и, следовательно, из (4.5) мы имеем

$$a^s = pq \frac{k_1}{q} + 1 \implies a^s = 1(pq) \implies s:r.$$

Так как число  $r$  делится на числа  $r_1$  и  $r_2$ , и любое число, делящееся на  $r_1$  и  $r_2$ , делится также и на  $r$ , мы получаем, что  $r$  есть наименьшее общее кратное (НОК) чисел  $r_1$  и  $r_2$ :

$$r = \text{НОК}(r_1, r_2).$$

Выделим в числах  $r_1$  и  $r_2$  степени 2:

$$r_1 = 2^{c_1} \text{odd}_1, \quad c_1 \geq 0,$$

$$r_2 = 2^{c_2} \text{odd}_2, \quad c_2 \geq 0.$$

Если предположить, что, например,  $c_1 > c_2$ , то  $r$  в своем составе будет содержать полностью  $r_2$  и как минимум одну двойку:

$$r = 2r_2 \text{int},$$

$$a^{r/2} = a^{r_2 \text{int}} = 1(q) \implies a^{r/2} \neq -1(q) \implies a^{r/2} \neq -1(pq).$$

Таким образом, если степени двойки в составе чисел  $r_1$  и  $r_2$  не совпадают, то оба условия (4.3) и (4.4) выполняются, и задача разложения на множители успешно сводится к задаче поиска периода функции.

Число  $a$  мы выбирали случайно, но случайны ли степени двойки в числах  $r_1$  и  $r_2$ ? Для ответа на этот вопрос выделим степень двойки в числе  $p-1$ :

$$p = 2^k s + 1, \quad s = 1(2).$$

В кольце  $\mathbb{Z}_p$  есть примитивный элемент  $b$ , степени которого образуют все кольцо. Порядок  $b$  равен  $2^k s$ . Выбрав число  $a$ , мы тем самым случайно выбрали число  $a_1 = a(p)$  и случайно выбрали число  $m \in \{1, \dots, 2^k s\}$ :

$$a_1 = b^m(p).$$



Мы помним, что  $r_1$  — порядок числа  $a_1$ :

$$a_1^{r_1}(p) = 1 \implies b^{m \cdot r_1} = 1 = b^{2^k s} \implies m \cdot r_1 = 0(2^k s).$$

Получается, что произведение чисел  $m$  и  $r_1$  делится на  $2^k$ , при этом число  $m$  выбрано случайно из интервала  $\{1, \dots, 2^k s\}$ . Таким образом, вероятность  $P_i$  того, что  $r_1$  делится на  $2^i$  при  $i \in \{0, \dots, k\}$ , равна вероятности того, что случайно выбранное число  $m$  делится на  $2^{k-i}$ . Из этого мы можем заключить, что одинаковые степени двойки в числах  $r_1$  и  $r_2$  встречаются с такой же частотой, как и в случайно выбранных числах.

Нам осталось определить вероятность того, что в двух случайно выбранных числах встретится одинаковая степень двойки. Обозначим  $P_i$  — вероятность того, что в случайно выбранном числе содержится двойка ровно в степени  $i$ . Тогда

$$P_0 = \frac{1}{2}, P_1 = \frac{1}{4}, P_2 = \frac{1}{8},$$

$$P_i = P_{i-1} - \frac{1}{2}P_{i-1} = \frac{1}{2^i} - \frac{1}{2^{i+1}} = \frac{1}{2^{i+1}}.$$

Для степеней двойки от 0 до  $k$ , вероятность встретить одинаковые ее степени в двух случайно выбранных числах равна:

$$P = \sum_{i=0}^k P_i^2 = \left(\frac{1}{2}\right)^2 + \left(\frac{1}{4}\right)^2 + \left(\frac{1}{8}\right)^2 + \dots + \left(\frac{1}{2^{k+1}}\right)^2 =$$

$$= \left(\frac{1}{2^{k+1}}\right)^2 (1 + 2^2 + 4^2 + \dots + 2^{2k}). \quad (4.8)$$

Число в скобках в (4.8) помещается в регистр длиной  $2k$  битов, следовательно, оно меньше числа  $2^{2k+1}$ , поэтому

$$P \leq \left(\frac{1}{2^{k+1}}\right)^2 2^{2k+1} = \frac{1}{2}.$$

Получается, что вероятность неудачи сведения задачи факторизации к задаче поиска периода при выборе числа  $a$  не больше  $1/2$ .

## 4.4. Квантовое преобразование Фурье

Для алгоритма Шора нам потребуется новый квантовый оператор — квантовое преобразование Фурье (Quantum Fourier Transform, QFT):

$$N := 2^n,$$

$$\text{QFT} |x\rangle = \frac{\|x\|}{2^{n/2}} \sum_{y=0}^{2^n-1} e^{2\pi i \frac{xy}{N}} |y\rangle. \quad (4.9)$$

### Унитарность QFT

По традиции проверим унитарность нового оператора:

$$\|\text{QFT} |x\rangle\|^2 = \frac{\|x\|^2}{2^n} \sum_{y=0}^{2^n-1} 1 = \frac{\|x\|^2}{2^n} 2^n = \|x\|^2.$$

Оператор QFT не меняет норму вектора. Здесь и далее мы имеем дело только с векторами единичной длины, поэтому вместо  $\|x\|$  в выражении (4.9) мы будем писать 1.

Проверим, что QFT не меняет также углы между векторами:

$$\|x_1\| = \|x_2\| = 1, \langle x_1 | x_2 \rangle = 0,$$

$$\begin{aligned} & \langle \text{QFT} |x_1\rangle | \text{QFT} |x_2\rangle \rangle = \\ &= \frac{1}{2^n} \left\langle \sum_{y_1=0}^{2^n-1} \exp\left(2\pi i \frac{x_1 y_1}{N}\right) |y_1\rangle \left| \sum_{y_2=0}^{2^n-1} \exp\left(-2\pi i \frac{x_2 y_2}{N}\right) |y_2\rangle \right\rangle = \\ &= \frac{1}{2^n} \sum_{y_1=y_2} \left\langle \exp\left(2\pi i \frac{x_1 y_1}{N}\right) |y_1\rangle \left| \exp\left(-2\pi i \frac{x_2 y_2}{N}\right) |y_2\rangle \right\rangle + \\ &+ \frac{1}{2^n} \sum_{y_1 \neq y_2} \left\langle \exp\left(2\pi i \frac{x_1 y_1}{N}\right) |y_1\rangle \left| \exp\left(-2\pi i \frac{x_2 y_2}{N}\right) |y_2\rangle \right\rangle = \end{aligned}$$

$$\begin{aligned}
&= \frac{1}{2^n} \sum_{y_1=y_2} \left\langle \exp \left( 2\pi i \frac{x_1 y_1}{N} \right) |y_1\rangle \left| \exp \left( -2\pi i \frac{x_2 y_2}{N} \right) |y_2\rangle \right\rangle = \\
&= \frac{1}{2^n} \sum_{y=0}^{2^n-1} \exp \left( 2\pi i \frac{(x_1 - x_2)y}{N} \right). \tag{4.10}
\end{aligned}$$

Выражение, полученное нами в конце, является суммой геометрической прогрессии:

$$\sum_{y=0}^{2^n-1} a^y = \frac{a^{2^n} - 1}{a - 1}. \tag{4.11}$$

Применяя (4.11) к (4.4.), получаем

$$(4.4.) = \frac{\exp(2\pi i(x_1 - x_2)) - 1}{\exp\left(2\pi i \frac{(x_1 - x_2)}{N}\right) - 1} = \frac{1 - 1}{\exp\left(2\pi i \frac{(x_1 - x_2)}{N}\right) - 1} = 0.$$

Преобразование QFT отображает ортонормированный базис в ортонормированный базис, следовательно, оно унитарно.

### Оператор QFT. Реализация

Оценим сложность реализации оператора  $QFT$  на квантовом компьютере. Во-первых, заметим, что:

$$\begin{aligned}
QFT |x\rangle &= \frac{1}{2^{n/2}} \sum_{y=0}^{2^n-1} \exp \left( 2\pi i \frac{xy}{N} \right) |y\rangle = \\
&= \frac{1}{2^{n/2}} \sum_{y=0}^{2^n-1} \exp \left( 2\pi i \frac{xy(N)}{N} + k \cdot 2\pi i \right) |y\rangle = \\
&= \frac{1}{2^{n/2}} \sum_{y=0}^{2^n-1} \exp \left( 2\pi i \frac{xy(N)}{N} \right) |y\rangle, \tag{4.12}
\end{aligned}$$

$xy(N)$  —  $xy$  по модулю  $N$ ,  $k$  — результат деления  $xy$  на  $N$  на-цело.

Запишем числа  $x$  и  $y$  в двоичной системе счисления:

$$x = x_0 + x_1 2 + x_2 2^2 + \cdots + x_{n-1} 2^{n-1},$$

$$y = y_{n-1} 2^{n-1} + y_{n-2} 2^{n-2} + \cdots + y_1 2 + y_0.$$

Выражение

$$\frac{xy(N)}{N}$$

тогда можно записать так:

$$\frac{xy(N)}{N} = y_{n-1} \frac{x_0}{2} + y_{n-2} \left( \frac{x_0}{4} + \frac{x_1}{2} \right) + \cdots + y_0 \left( \frac{x_0}{2^n} + \frac{x_1}{2^{n-1}} + \cdots + \frac{x_{n-1}}{2} \right). \quad (4.13)$$

Подставив (4.13) в (4.12), получаем

$$\begin{aligned} \text{QFT} |x\rangle &= \frac{1}{2^{n/2}} \sum_{y=0}^{2^n-1} \exp \left( 2\pi i \left( y_{n-1} \frac{x_0}{2} + y_{n-2} \left( \frac{x_0}{4} + \frac{x_1}{2} \right) + \cdots + \right. \right. \\ &\quad \left. \left. + \cdots + y_0 \left( \frac{x_0}{2^n} + \frac{x_1}{2^{n-1}} + \cdots + \frac{x_{n-1}}{2} \right) \right) \right) |y\rangle = \\ &= \frac{1}{2^{n/2}} \sum_{y=0}^{2^n-1} \exp \left( 2\pi i y_{n-1} \frac{x_0}{2} e^{2\pi i y_{n-2} \left( \frac{x_0}{4} + \frac{x_1}{2} \right)} \cdots \right. \\ &\quad \left. \cdots e^{2\pi i y_0 \left( \frac{x_0}{2^n} + \frac{x_1}{2^{n-1}} + \cdots + \frac{x_{n-1}}{2} \right)} \right) |y\rangle. \end{aligned}$$

Выделим в  $y$  старший бит:

$$\begin{aligned} \text{QFT} |x\rangle &= \frac{1}{\sqrt{2}} \exp \left( 2\pi i \cdot 0 \cdot \frac{x_0}{2} \right) |0\rangle \otimes \\ &\otimes \frac{1}{2^{\frac{n-1}{2}}} \sum_{y=0}^{2^{n-2}} \exp (2\pi i y_{n-2}(\cdots)) \cdots \exp (2\pi i y_0(\cdots)) |y_{n-2} y_{n-1} \cdots y_0\rangle + \\ &+ \frac{1}{\sqrt{2}} \exp \left( 2\pi i \cdot 1 \cdot \frac{x_0}{2} \right) |1\rangle \otimes \frac{1}{2^{\frac{n-1}{2}}} \sum_{y=0}^{2^{n-2}} \exp (2\pi i y_{n-2}(\cdots)) \cdots \\ &\cdots \exp (2\pi i y_0(\cdots)) |y_{n-2} y_{n-1} \cdots y_0\rangle = \end{aligned}$$

$$= \frac{1}{\sqrt{2}} \left( |0\rangle + \exp\left(2\pi i \frac{x_0}{2}\right) |1\rangle \right) \otimes \frac{1}{2^{\frac{n-1}{2}}} \sum_{y=0}^{2^{n-2}} \exp(2\pi i y_{n-2}(\cdots)) \cdots \\ \cdots \exp(2\pi i y_0(\cdots)) |y_{n-2} y_{n-1} \cdots y_0\rangle.$$

Аналогичным образом выделим остальные биты в  $y$ :

$$\begin{aligned} \text{QFT}|x\rangle &= \frac{1}{\sqrt{2}} \left( |0\rangle + \exp\left(2\pi i \frac{x_0}{2}\right) |1\rangle \right) \otimes \\ &\otimes \frac{1}{\sqrt{2}} \left( |0\rangle + \exp\left(2\pi i \left(\frac{x_0}{4} + \frac{x_1}{2}\right)\right) |1\rangle \right) \otimes \cdots \\ &\cdots \otimes \frac{1}{\sqrt{2}} \left( |0\rangle + \exp\left(2\pi i \left(\frac{x_0}{2^n} + \cdots + \frac{x_{n-1}}{2}\right)\right) |1\rangle \right). \end{aligned} \quad (4.14)$$

Получается, что  $\text{QFT}|x\rangle$  раскладывается в тензорное произведение из  $n$  операторов, каждый из которых действует на один кубит.

Определим унитарный оператор  $R_k$ , действующий на один кубит:

$$R_k = \begin{pmatrix} 1 & 0 \\ 0 & \exp\left(2\pi i \frac{1}{2^k}\right) \end{pmatrix}.$$

На (рис. 4.1) приведена схема  $\text{QFT}|x\rangle$  на трех кубитах, реализованная при помощи операторов  $R_k$  и  $H$ . Обратите внимание, что схема меняет порядок кубитов, делая старшие кубиты младшими.

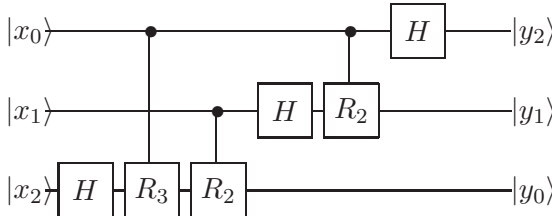


Рис. 4.1. Оператор QFT на трех кубитах

Верхняя линия схемы соответствует выражению в первых скобках в (4.14):

$$\frac{1}{\sqrt{2}}(|0\rangle + \exp\left(2\pi i \frac{x_0}{2}\right) |1\rangle) = \frac{1}{\sqrt{2}}(|0\rangle + (-1)^{x_0} |1\rangle) = H |x_0\rangle,$$

которая, в свою очередь, соответствует старшему биту QFT $|x\rangle$ .

Вторая линия схемы соответствует выражению во вторых скобках:

$$\begin{aligned} H |x_1\rangle &= \frac{1}{\sqrt{2}}(|0\rangle + (-1)^{x_1} |1\rangle) = \frac{1}{\sqrt{2}}(|0\rangle + \exp\left(2\pi i \frac{x_1}{2}\right) |1\rangle) \xrightarrow{R_2(x_0)} \\ &\xrightarrow{R_2(x_0)} \frac{1}{\sqrt{2}}(|0\rangle + \exp\left(2\pi i \left(\frac{x_0}{4} + \frac{x_1}{2}\right)\right) |1\rangle), \end{aligned}$$

и, наконец, третья линия соответствует выражению в третьих скобках в (4.14):

$$\begin{aligned} |x_2\rangle &\xrightarrow{H} \frac{1}{\sqrt{2}}(|0\rangle + \exp\left(2\pi i \frac{x_2}{2}\right) |1\rangle) \xrightarrow{R_3(x_0)} \\ &\xrightarrow{R_3(x_0)} \frac{1}{\sqrt{2}}(|0\rangle + \exp\left(2\pi i \left(\frac{x_2}{2} + \frac{x_0}{8}\right)\right) |1\rangle) \xrightarrow{R_2(x_1)} \\ &\xrightarrow{R_2(x_1)} \frac{1}{\sqrt{2}}(|0\rangle + \exp\left(2\pi i \left(\frac{x_2}{2} + \frac{x_1}{4} + \frac{x_0}{8}\right)\right) |1\rangle). \end{aligned}$$

Обобщая схему (4.1) на  $n$  кубитов, мы можем увидеть, что для реализации QFT требуется

$$\sum_{j=1}^n j \approx O(n^2)$$

операторов  $R_k$  и  $H$ .

## 4.5. Алгоритм Шора

Подготовка закончена, настала пора перейти к самому алгоритму. Схема алгоритма Шора приведена на рис. 4.2. Практически полностью эта схема повторяет алгоритм Саймона, за

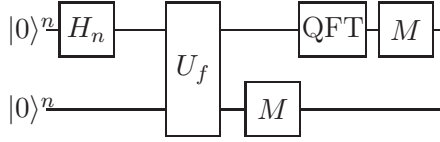


Рис. 4.2. Алгоритм Шора

исключением последнего шага — прямо перед измерением входного регистра вместо оператора Адамара  $H_n$  вызывается описанный в предыдущем разделе оператор QFT.

Рассмотрим действие алгоритма. Как и в алгоритме Саймона, после измерения регистра  $|y\rangle$  мы получаем в регистре  $|x\rangle$  сумму всех прообразов измеренного нами значения:

$$\begin{aligned}
 |0\rangle^n |0\rangle^n &\xrightarrow{H_n} \frac{1}{2^{n/2}} \sum_{x=0}^{2^n-1} |x\rangle |0\rangle^n \xrightarrow{U_f} \frac{1}{2^{n/2}} \sum_{x=0}^{2^n-1} |x\rangle |f(x)\rangle \xrightarrow{\text{Measure } Y} \\
 &\xrightarrow{\text{Measure } Y} \frac{1}{\sqrt{A}} \sum_{j=0}^{A-1} |x_0 + jr\rangle |f(x_0)\rangle.
 \end{aligned}$$

Здесь  $A$  — число всех прообразов  $f(x_0)$ :

$$A \approx \frac{N}{r},$$

$$N - r \leq Ar \leq N + r.$$

Далее по схеме следует применение QFT к регистру  $|x\rangle$ :

$$\begin{aligned}
 &\frac{1}{\sqrt{A}} \sum_{j=0}^{A-1} |x_0 + jr\rangle \xrightarrow{\text{QFT}} \\
 &\xrightarrow{\text{QFT}} \frac{1}{\sqrt{AN}} \sum_{j=0}^{A-1} \sum_{y=0}^{2^n-1} \exp\left(2\pi i \frac{x_0 y}{N}\right) \exp\left(2\pi i \frac{j r y}{N}\right) |y\rangle = \\
 &= \frac{1}{\sqrt{AN}} \sum_{y=0}^{2^n-1} \exp\left(2\pi i \frac{x_0 y}{N}\right) \sum_{j=0}^{A-1} \exp\left(2\pi i \frac{j r y}{N}\right) |y\rangle.
 \end{aligned}$$

Вероятность измерения конкретного  $y$  будет равна:

$$\begin{aligned} P(y) &= \frac{1}{AN} \left| \exp \left( 2\pi i \frac{x_0 y}{N} \right) \right|^2 \left| \sum_{j=0}^{A-1} \exp \left( 2\pi i \frac{j r y}{N} \right) \right|^2 = \\ &= \frac{1}{AN} \left| \sum_{j=0}^{A-1} \exp \left( 2\pi i \frac{j r y}{N} \right) \right|^2. \end{aligned} \quad (4.15)$$

Обозначим

$$\theta_y = 2\pi \frac{r y(N)}{N}.$$

Заметим, что сумма под модулем в (4.15) является суммой геометрической прогрессии:

$$\sum_{j=0}^{A-1} \exp \left( 2\pi i \frac{j r y}{N} \right) = \sum_{j=0}^{A-1} \exp (\theta_y j) = \frac{\exp (A \theta_y i) - 1}{\exp (\theta_y i) - 1}. \quad (4.16)$$

Назовем *хорошими* такие  $y$ , для которых выполняется условие

$$A|\theta_y| \in [0, \pi]. \quad (4.17)$$

Для *хороших*  $y$  верно

$$|\exp (A \theta_y i) - 1| \geq \frac{2A|\theta_y|}{\pi}. \quad (4.18)$$

Для доказательства (4.18) обозначим  $A\theta_y =: x$ . Тогда

$$\begin{aligned} |\exp (x i) - 1| &= |\cos x - 1 + i \sin x| = \sqrt{(\cos x - 1)^2 + \sin^2 x} = \\ &= \sqrt{2 - 2 \cos x} = \sqrt{2(\cos^2 \frac{x}{2} + \sin^2 \frac{x}{2}) - 2 \cos^2 \frac{x}{2} + 2 \sin^2 \frac{x}{2}} = 2 \sin \frac{x}{2}, \end{aligned}$$

так как на промежутке  $[0, \pi/2]$  значение  $\sin(x)$  положительно.

Таким образом, от нас требуется доказать, что

$$\sin \frac{A|\theta_y|}{2} \geq \frac{A|\theta_y|}{\pi}.$$



На границах отрезка  $[0, \pi]$  левая и правая часть неравенства равны друг другу:

$$\begin{aligned}\sin 0 &= 0, \\ \sin \frac{\pi}{2} &= \frac{\pi}{\pi} = 1.\end{aligned}$$

Поскольку на отрезке  $[0, \pi]$  левая часть неравенства — функция  $\sin$  — выпукла, а правая часть неравенства — линейная функция, то неравенство выполняется на всем отрезке  $[0, \pi]$ .

Также верно, что

$$|e^{\theta_y i} - 1| \leq |\theta_y|. \quad (4.19)$$

поскольку хорда не длиннее стягиваемой ею дуги (рис. 4.3):

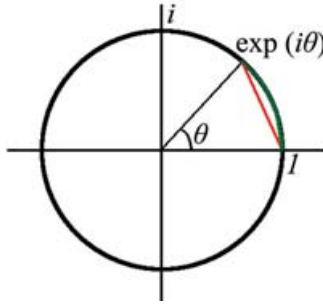


Рис. 4.3. Значения (4.19) на комплексной плоскости

Из (4.16), (4.18) и (4.19) получаем оценку вероятности измерения *хорошего* значения  $y$ :

$$P(y) \geq \frac{1}{AN} \left( \frac{2A|\theta_y|}{\pi} \right)^2 \left( \frac{1}{|\theta_y|} \right)^2 = \frac{4A}{\pi^2 N} \approx \frac{4}{\pi^2 r}. \quad (4.20)$$

Вспомним, что *хорошими* мы называли значения  $y$ , для которых выполняется

$$\begin{aligned}A|\theta_y| \in [0, \pi] &\iff -\pi \leq 2\pi \frac{A \cdot yr(N)}{N} \leq \pi \iff -\frac{1}{2} \leq \frac{yr(N)}{r} \leq \frac{1}{2} \iff \\ &\iff -\frac{r}{2} \leq yr(N) \leq \frac{r}{2} \iff Nk - \frac{r}{2} \leq yr \leq Nk + \frac{r}{2}.\end{aligned} \quad (4.21)$$

Неравенство (4.5.) для любого значения  $k \in \mathbb{N} \cup \{0\}$  имеет единственное решение  $y_k$ , при этом

$$y_0 = 0,$$

$$y_r = N = 0(N) = y_0(N).$$

Получается, что различных *хороших*  $y$  может быть всего  $r$  штук, а вероятность измерения любого из них — в  $r$  раз больше, чем вероятность измерения какого-то конкретного  $y$ :

$$P(y = 'good') = \frac{4}{\pi^2 r} r = \frac{4}{\pi^2} \approx 0,406 \dots . \quad (4.22)$$

### Что делать с *хорошим* $y$ ?

Мы увидели, что оператор QFT, применяемый в конце схемы алгоритма Шора, значительно повышает вероятность измерения векторов  $y$ , которые мы назвали *хорошими*. Чтобы понять, почему имеено эти векторы получили у нас такое одобрительное название, разделим определяющее их неравенство (4.5.) на  $Nr$ :

$$-\frac{r}{2} \leq yr(N) \leq \frac{r}{2} \iff \frac{k}{r} - \frac{1}{2N} \leq \frac{y}{N} \leq \frac{k}{r} + \frac{1}{2N} \iff \left| \frac{y}{N} - \frac{k}{r} \right| \leq \frac{1}{2N}.$$

Получается, что в окрестности шириной  $1/N$  известного нам числа  $\frac{y}{N}$  находится число  $\frac{k}{r}$ , безусловно представляющее для нас интерес из-за своего знаменателя. Знаменатель дроби  $\frac{k}{r}$  либо является искомым периодом  $r$ , либо одним из его делителей.

Если предположить, что

$$r < \sqrt{N}, \quad (4.23)$$

то можно показать, что число со знаменателем, меньшим  $\sqrt{N}$ , в заданной окрестности единственно:

$$a, b, r_1, r_2 \in \mathbb{N}, \quad a \neq b,$$

$$r_1 < \sqrt{N}, r_2 < \sqrt{N},$$

$$\left| \frac{a}{r_1} - \frac{b}{r_2} \right| = \frac{|a \cdot r_2 - b \cdot r_1|}{r_1 \cdot r_2} \geq \frac{1}{r_1 \cdot r_2} \geq \frac{1}{\sqrt{N} \sqrt{N}} = \frac{1}{N}.$$

Таким образом, после выполнения алгоритма Шора у нас есть число  $\frac{y}{N}$  и окрестность этого числа шириной  $\frac{1}{N}$ , содержащая интересующее нас число  $\frac{k}{r}$  — единственное число со знаменателем меньше  $\sqrt{N}$  в этой окрестности.

Найти число  $\frac{k}{r}$  можно, например, при помощи метода непрерывной дроби, позволяющего находить числа, близкие к данному рациональному числу и имеющие меньший знаменатель. Например:

$$n = 10, 2^n = N = 1024, \sqrt{N} = 32.$$

Измеренный нами  $y$  оказался равен 139:

$$\frac{y}{N} = \frac{139}{1024}.$$

$$\frac{139}{1024} = \frac{1}{\frac{1024}{139}} = \frac{1}{7 + \frac{51}{139}} \approx \frac{1}{7}.$$

$$\frac{1}{7 + \frac{1}{\frac{139}{51}}} = \frac{1}{7 + \frac{1}{\frac{139}{51}}} = \frac{1}{7 + \frac{1}{2 + \frac{37}{51}}} \approx \frac{2}{15}.$$

$$\frac{1}{7 + \frac{1}{2 + \frac{37}{51}}} = \frac{1}{7 + \frac{1}{2 + \frac{1}{\frac{51}{37}}}} = \frac{1}{7 + \frac{1}{2 + \frac{1}{1 + \frac{14}{37}}}} \approx \frac{3}{22}.$$

Итак, число  $22 < 32$ , вероятно, является либо периодом  $r$ , либо его делителем, конечно при условии, что  $y$ , который нам довелось измерить — *хороший*, что случается с вероятностью примерно 0,406..., а период  $r$  меньше  $\sqrt{N}$ . Теперь, также с вероятностью не меньше, чем  $1/2$ , мы можем использовать полученный период для решения изначальной задачи факторизации.

## 4.6. Пример реализации

Рассмотрим реализацию алгоритма Шора со следующими значениями параметров:

$$p = 3, q = 5, N = pq = 15,$$

$$\Phi(N) = (5 - 1)(3 - 1) = 8,$$

$$a = 7, f(x) = 7^x(15).$$

Функцию  $f(x) : \{0, 1\}^4 \rightarrow \{0, 1\}^4$  представим в следующем виде:

$$f(x) = 7^x(15) = (7^8)^{x_3} \cdot (7^4)^{x_2} \cdot (7^2)^{x_1} \cdot (7^1)^{x_0}(15) = (7^2)^{x_1} \cdot (7^1)^{x_0}(15);$$

так как 4 — порядок числа 7 в  $\mathbb{Z}_{15}$  и  $7^4 = 1(15)$ ,

$$(7^2)^{x_1} \cdot (7^1)^{x_0}(15) = (4)^{x_1} \cdot (7)^{x_0}(15). \quad (4.24)$$

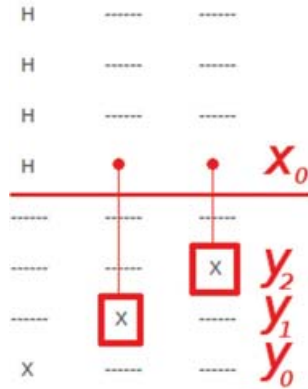
Реализация алгоритма для выбранных значений на квантовом симуляторе приведена на рис. 4.4.



Рис. 4.4. Алгоритм Шора.  $f(x) = 7^x(15)$

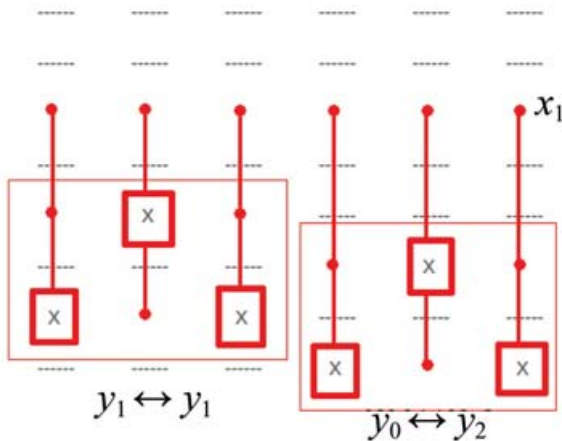
Блоки  $H_n$  и QFT на (рис. 4.4) нам уже знакомы. Требуется пояснить действие блоков, помеченных как 1,  $\times 7$  и  $\times 4$ .

Блок 1 — это просто оператор  $X$  на младшем кубите регистра  $|y\rangle$ . В результате действия этого блока в регистре  $|y\rangle$  появляется значение 1, которое в соответствии с (4.24) необходимо будет домножить на 7, если бит  $x_0 = 1$ , и домножить на 4, если бит  $x_1 = 1$ .

Рис. 4.5. Алгоритм Шора. Операция  $\times 7$ 

Домножение регистра  $|y\rangle$ , содержащего 1, на 7 в зависимости от бита  $x_0$  — это просто выставление оставшихся битов числа 7 в регистре операторами  $\text{CNOT}(x_0)$  (рис. 4.5).

Домножение регистра  $|y\rangle$  на 4 в зависимости от бита  $x_1$  — операция несколько более сложная. Домножение числа на 4 — это циклический сдвиг на 2, который реализуется путем перемены мест битов —  $(y_0 \leftrightarrow y_2)$  и  $(y_1 \leftrightarrow y_3)$  (рис. 4.6). Каждая

Рис. 4.6. Алгоритм Шора. Операция  $\times 4$

замена осуществляется тремя операторами CNOT, которые в свою очередь контролируются еще и битом  $x_1$ .

После выполнения указанных операций и квантового преобразования Фурье в регистре  $|x\rangle$  оказывается значение  $0 \times 0100 = 4$ :

$$\frac{y}{2^n} = \frac{4}{2^4} = \frac{1}{4}.$$

Дробь  $1/4$  сама подходит в кандидаты на роль  $\frac{k}{r}$  из-за маленького знаменателя. Подставив значение 4 в функцию  $f(x)$ , получаем

$$f(4) = 7^4(15) = 1.$$

Мы нашли период  $r$ !

Теперь попробуем найти числа  $p$  и  $q$ :

$$\text{GCD}(7^{\frac{4}{2}} + 1, 15) = \text{GCD}(50, 15) = 5,$$

$$\text{GCD}(7^{\frac{4}{2}} - 1, 15) = \text{GCD}(48, 15) = 3.$$

Числа  $p$  и  $q$  найдены. Алгоритм Шора работает!

## 4.7. Упражнения

### Упражнение 4.1

Алиса хочет послать Бобу сообщение  $m$  по открытому каналу, который прослушивает Ева. Чтобы Ева не прочитала сообщение, Алиса и Боб придумали следующий протокол:

- 1) Алиса и Боб генерируют псевдослучайные строки (соответственно  $A$  и  $B$ ) той же длины, что и сообщение  $m$ ;
- 2) Алиса посылет Бобу сообщение  $m_1 = m \oplus A$ ;
- 3) Боб отвечает Алисе сообщением  $m_2 = m_1 \oplus B = m \oplus A \oplus B$ ;
- 4) Алиса посылет Бобу сообщение  $m_3 = m_2 \oplus A = m \oplus A \oplus B \oplus A = m \oplus B$ ;

- 5) Боб вычисляет  $m_3 \oplus B = m \oplus B \oplus B = m$  и читает сообщение  $m$ .

Сможет ли Ева, получившая все сообщения, тоже прочитать сообщение  $m$ ?

#### Упражнение 4.2

Открытый ключ алгоритма RSA:  $(e, N) = (53, 299)$ . Сообщение (число)  $m$  зашифровано этим открытым ключом:  $e(m) = 171$ .

Расшифруйте сообщение.

#### Упражнение 4.3

$N = pq$ . Число  $m$  не взаимно просто с  $\Phi(N)$ :

$$(m, \Phi(N)) = k, \quad k > 1.$$

Можно ли использовать пару  $(m, N)$  в качестве открытого ключа в алгоритме RSA?

#### Упражнение 4.4

$$N = pq = 11\,409\,407,$$

$$f(x) = 19^x(N).$$

Мы нашли период  $r$  функции  $f$ :

$$r = 475\,090.$$

Также мы вычислили, что

$$19^{r/2} = 7\,533\,861.$$

Найдите числа  $p$  и  $q$ .

#### Упражнение 4.5

Число вида  $e^{\frac{2\pi i}{n}k}$  ( $0 \leq k < n$ ) называется корнем из единицы в степени  $n$  с номером  $k$ . Чему равна сумма всех корней из единицы степени 2017?

## Упражнение 4.6

Для реализации преобразования  $U_f$ ,  $f(x) = a^x(N)$  нам может потребоваться оператор  $\text{SWAP}(i, j)$ , меняющий кубиты  $i$  и  $j$  местами. Как выглядит схема такого оператора на рис. 4.7?

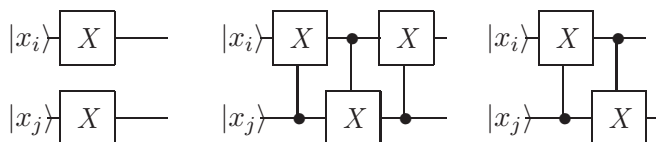


Рис. 4.7. Варианты схемы оператора  $\text{SWAP}(i, j)$

## Упражнение 4.7

Определите, какой оператор изображен на рис. 4.8:

- 1) циклического сдвига влево на 1 бит —  $\text{SHIFT1}$ ;
- 2)  $\text{SWAP}(0, 2)$ , затем  $\text{SWAP}(1, 2)$ ;
- 3) умножения на 2 по модулю 7;
- 4) все перечисленные варианты.

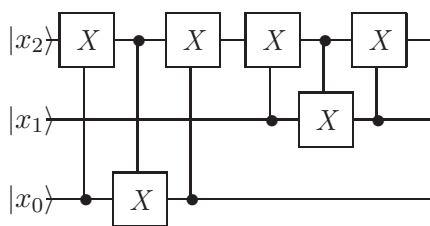


Рис. 4.8. Схема оператора

## Упражнение 4.8

Определите, какой оператор изображен на рис. 4.9:

- 1) циклического сдвига влево на 2 бит —  $\text{SHIFT2}$ ;
- 2) умножения на 4 по модулю 15;



- 3) умножения на  $7^2$  по модулю 15;  
 4) все перечисленные варианты.

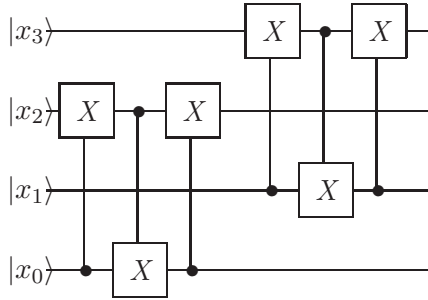


Рис. 4.9. Схема оператора

#### Упражнение 4.9

Число  $x$  содержит 4 бита:  $x_3x_2x_1x_0$ . Функция  $f(x) = 7^x(15)$  отображает 4 бита в 4 бита. Выберите верные утверждения:

- 1)  $f(x) = 7^{x_0} \cdot 7^{2x_1} \cdot 7^{4x_2} \cdot 7^{8x_3}(15)$ ;
- 2)  $f(x) = 7^{x_0} \cdot 7^{2x_1} \cdot 7^{3x_2}(15)$ ;
- 3)  $f(x) = 7^{x_0} \cdot 7^{2x_1}(15)$ ;
- 4)  $f(x) = 7^{x_0} \cdot 4^{x_1}(15)$ .

#### Упражнение 4.10

Задается ли оператор  $U_f$  для  $f(x) = 2^x(3)$  схемой с рис. 4.10?

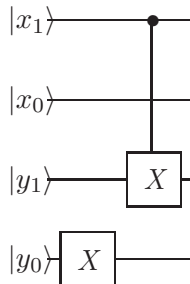


Рис. 4.10. Схема некоторого оператора

1. Да.
2. Нет.

## Упражнение 4.11

Запустив алгоритм Шора при  $n = 8$ ,  $N = 2^8 = 256$ , мы измерили значение  $y = 165$ . Если нам повезло, то на отрезке

$$\left[ \frac{165}{256} - \frac{1}{512}, \frac{165}{256} + \frac{1}{512} \right]$$

находится рациональное число  $\frac{k}{r}$  со знаменателем

$$r < \sqrt{N} = 16.$$

Найдите это число (например, методом непрерывной дроби).

## Глава 5

# Алгоритм Гровера и границы квантовых вычислений

### 5.1. Введение

Материал этой главы, последней во всем курсе, посвящен двум важным результатам, позволяющим сформировать некоторое представление о возможностях и границах квантовых вычислений.

В предыдущей главе мы познакомились с алгоритмом Шора, позволяющим при решении задачи разложения числа на множители на квантовом устройстве получить экспоненциальное ускорение по сравнению с классическим компьютером. Для всех ли задач возможно подобное ускорение в квантовых вычислениях? Какое ускорение можно в принципе всегда гарантированно получить при переходе к квантовой модели вычислений?

Эти и многие другие вопросы пока остаются открытыми, и, может быть, кто-то из читателей найдет для них исчерпывающие ответы. Пока же наша цель — познакомиться с тем, что к сегодняшнему дню известно на этот счет.

Мы начнем с очень важного и общего результата, полученного в 1996 году Ловом Гровером. Алгоритм Гровера [Grover, 1996] предназначен для поиска интересующей нас записи в неотсортированной базе данных. Это, например, как если бы нам потребовалось найти фамилию абонента в телефонном справочнике, когда мы знаем нужный телефонный номер. Абоненты в телефонных справочниках отсортированы по фамилиям, и в них нет сортировки по телефонам. Поэтому поиск фамилии по номеру телефона — весьма трудоемкая задача. В самом неудачном случае нам придется просмотреть весь справочник, прежде чем мы найдем интересующую нас запись.

Поиск в неотсортированной базе — это просто еще одна формулировка задачи о поиске прообраза легко вычислимой функции в некоторой точке. Умение эффективно решать подобные задачи естественным образом влечет умение решать любую задачу из класса NP. Как мы уже упоминали в гл. 1, класс NP — это такие задачи, для которых мы можем легко (эффективно) проверить решение. Эта проверка — всегда вычисление некоторой функции  $f$ , а поиск решения — это очень часто поиск обратной функции  $f^{-1}$ . Если кто-нибудь нам скажет, что знает фамилию абонента, которого мы ищем, и назовет ее, мы легко можем проверить эту догадку, найдя указанную фамилию в справочнике и сравнив телефон напротив нее с имеющимся у нас эталоном.

Или, например, в известной всем задаче коммивояжера необходимо найти в некотором графе гамильтонов путь, длина которого меньше заданного значения  $B$ . Имея конкретный путь — кандидат в решение задачи, мы можем легко вычислить его длину и проверить, подходит ли он. Однако имея лишь длину, мы обычно не можем легко подобрать путь, имеющий эту длину (т. е. вычислить обратную функцию).

Существование эффективного решения задачи коммивояжера — вопрос открытый, в том числе и для квантового компьютера. Но если мы представим функцию  $f$  в виде черного ящика — оракула, про внутреннее устройство которого мы ничего не знаем, то и в классическом, и в квантовом случае мы

можем предъявить оптимальный алгоритм решения и проанализировать его сложность.

В классическом случае нам подходит любая стратегия перебора. Если мы ищем фамилию абонента в телефонном справочнике, мы можем просто просматривать всех абонентов и сравнивать их телефонные номера с эталонным. Для телефонного справочника, содержащего номера  $N$  абонентов, мы получаем в среднем  $O(N)$  операций сравнения.

Удивительно, но для квантовых вычислений существует более эффективный алгоритм. Это алгоритм Гровера.

## 5.2. Алгоритм Гровера

Поскольку алгоритм Гровера представляет собой обобщенный, не зависящий от конкретной задачи поиск, функция  $f$  представляется в нем в виде черного ящика:

$$f : \{0, 1\}^n \rightarrow \{0, 1\}^n.$$

В области определения  $f$  присутствует одна особая точка, на которой  $f$  принимает нужное нам значение:

$$\exists! \omega : f(\omega) = a.$$

Для приведенного выше примера с телефонным справочником  $\omega$  — фамилия абонента, в то время как  $a$  — известный нам телефонный номер. Необходимо найти  $\omega$ . Как видите, это обобщенный вариант любой задачи из  $NP$ . Зная ответ — число  $\omega$ , мы можем легко его проверить, вызвав оракул и посмотрев, получим ли мы значение  $a$ .

Определим функцию  $f_\omega$  следующим образом:

$$f_\omega(x) = \delta_{x=\omega}.$$

$f_\omega$  принимает значение 0 во всех точках, кроме  $\omega$ , в которой она равна 1. Подобную функцию легко реализовать, имея оракул  $f$ .

## Оракул

Вспомним, как действует определенный нами ранее квантовый оракул на состояние вида  $\frac{1}{\sqrt{2}} |x\rangle (|0\rangle - |1\rangle)$ :

$$U_f \frac{1}{\sqrt{2}} |x\rangle (|0\rangle - |1\rangle) = (-1)^{f(x)} \frac{1}{\sqrt{2}} |x\rangle (|0\rangle - |1\rangle).$$

Мы можем рассмотреть проекцию  $U_f$  на подпространство аргумента  $(|x\rangle)$ :

$$U_\omega |x\rangle = (-1)^{f(x)} |x\rangle.$$

Оператор  $U_\omega$  действует как тождественный оператор на любой базисный вектор, кроме  $\omega$ , поэтому мы можем записать его следующим образом:

$$U_\omega = I - 2 |\omega\rangle \langle \omega|.$$

Действие этого оператора на любой вектор  $|x\rangle$  определяется следующим образом:

$$U_\omega |x\rangle = |x\rangle - 2 |\omega\rangle \langle \omega|x\rangle.$$

Для любого базисного вектора, кроме  $\omega$ , скалярное произведение  $\langle \omega|x\rangle$  дает 0, и мы имеем тождественный оператор

$$\langle \omega|x\rangle = 0,$$

$$U_\omega |x\rangle = |x\rangle - 2 |\omega\rangle \langle \omega|x\rangle = |x\rangle.$$

Для вектора  $\omega$  мы имеем

$$U_\omega |\omega\rangle = |\omega\rangle - 2 |\omega\rangle \langle \omega|\omega\rangle = |\omega\rangle - 2 |\omega\rangle = -|\omega\rangle.$$

Начальное состояние — то, с которого начинается работа алгоритма Гровера, строится следующим образом:

$$|s\rangle = H |0\rangle^n = \frac{1}{2^{n/2}} \sum_{x=0}^{2^n-1} |x\rangle.$$

Здесь  $|s\rangle$  — это знакомая нам равновзвешенная сумма всех базисных векторов подпространства аргумента. Такие начальные состояния мы уже много раз готовили в предыдущих задачах.

Определим еще вспомогательный оператор  $U_s$ :

$$U_s = 2|s\rangle\langle s| - I.$$

### Итерация Гровера

Алгоритм Гровера итеративен. Каждая его итерация определяется как применение операторов  $U_\omega$  и  $U_s$  к текущему состоянию системы:

$$R_{\text{grov}} = U_s U_\omega.$$

Действие итерации Гровера на начальное состояние  $|s\rangle$  изображено на рис. 5.1, где вертикальная ось — это искомый вектор  $\omega$ , а горизонтальная — это гиперпространство, образованное всеми остальными базисными векторами.

Вектор  $|s\rangle$  — сумма всех базисных векторов — нависает над горизонтальной гиперплоскостью под углом  $\theta$ :

$$\sin \theta = |\langle s|\omega\rangle| = \frac{1}{2^{n/2}}. \quad (5.1)$$

Чем больше размерность пространства, тем меньше угол  $\theta$ , тем ниже находится вектор  $|s\rangle$ .

Оператор  $U_\omega$  является отражением вектора системы относительно гиперплоскости, ортогональной  $\omega$ . Применив его, мы получаем вектор  $U_\omega |s\rangle$ , в котором все базисные составляющие остались неизменны и только составляющая  $|\omega\rangle$  заменилась на  $-|\omega\rangle$ . Оператор  $U_s$  — это отражение вектора системы относительно вектора  $|s\rangle$ . После него мы получаем вектор  $U_s U_\omega |s\rangle$ .

Выходит, что первая итерация Гровера повернула исходный вектор к искомому вектору  $|\omega\rangle$  на угол  $2\theta$ . Теперь угол вектора системы с горизонтальной гиперплоскостью составляет  $3\theta$ .

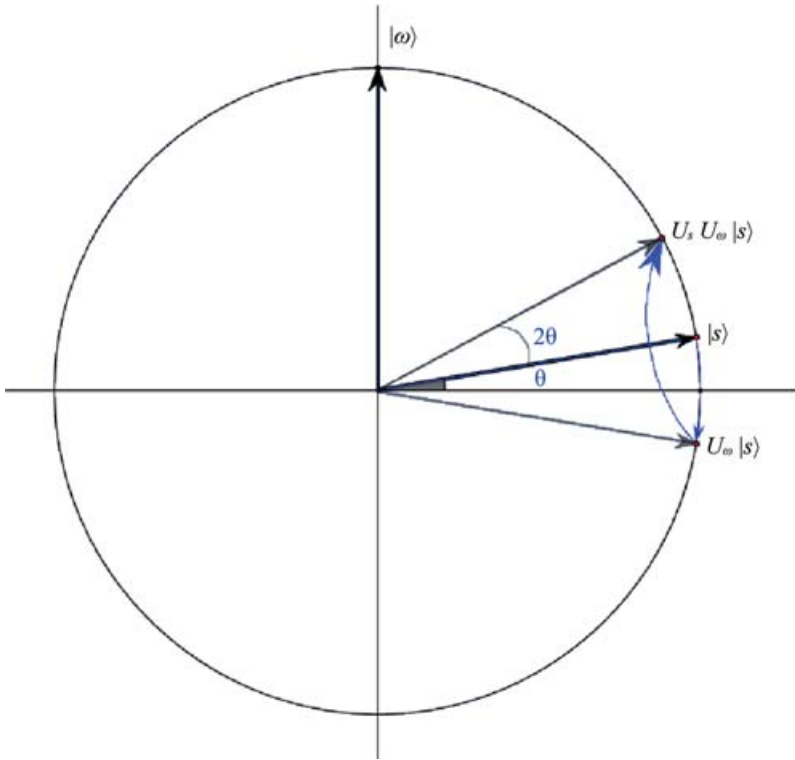


Рис. 5.1. Первая итерация Гровера

На рис. 5.2 изображено действие второй итерации Гровера, которая также поворачивает вектор системы на угол  $2\theta$  в направлении  $|\omega\rangle$ .

Нетрудно убедиться, что каждая следующая итерация Гровера будет делать с вектором системы то же самое — приближать его к  $|\omega\rangle$  на угол  $2\theta$ . После  $T$  итераций угол между вектором системы и гиперплоскостью будет равен  $(\theta + 2T\theta)$ , и нам нужно подобрать такое число итераций  $T$ , чтобы этот угол стал близок к  $\pi/2$ . Это позволит при измерении состояния получить вектор  $|\omega\rangle$  с вероятностью, близкой к единице:

$$\theta + 2T\theta = \pi/2 \iff T = \frac{\pi}{4\theta} - \frac{1}{2}.$$



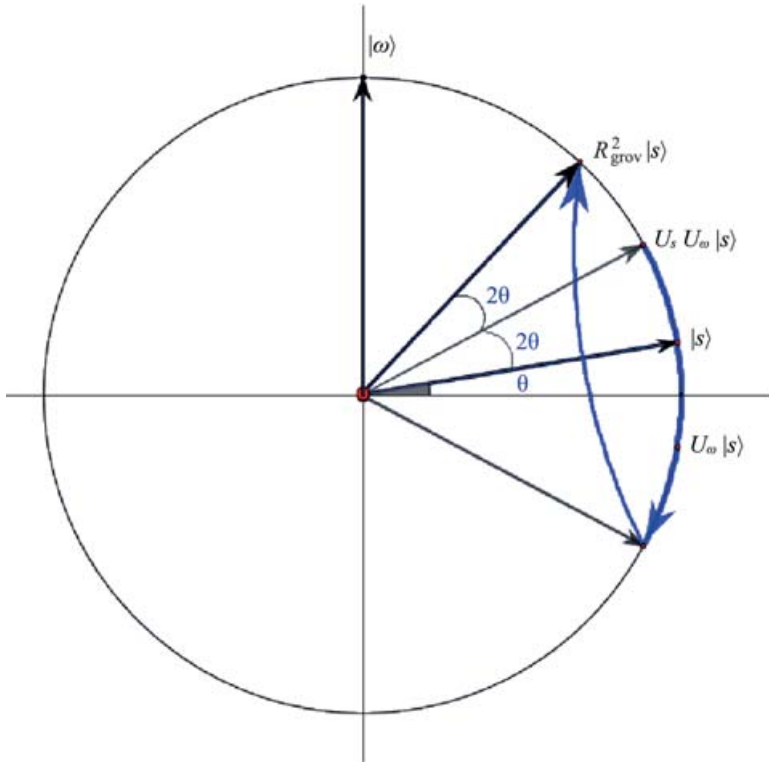


Рис. 5.2. Вторая итерация Гровера

При больших значениях  $n$  угол  $\theta$  становится достаточно мал и может быть приближенно заменен своим синусом (5.1):

$$T = \frac{\pi\sqrt{2^n}}{4} - \frac{1}{2} \approx \frac{\pi\sqrt{2^n}}{4}.$$

Как видите, вместо классических  $2^n$  итераций квантовому компьютеру требуется только  $2^{n/2}$  обращений к оракулу. Это, конечно, не экспоненциальное ускорение, как в алгоритме Шора. Но и квадратичного ускорения во многих задачах может оказаться вполне достаточно.

Например, при  $n = 2$  вместо 4 обращений к оракулу нам необходимо обратиться к нему только 1 раз. А при  $n = 8$  алго-

ритму Гровера потребуется около 12 итераций (вместо классических 256).

Пример реализации алгоритма Гровера для 2 кубитов на симуляторе квантового компьютера приведен на рис. 5.3–5.5.

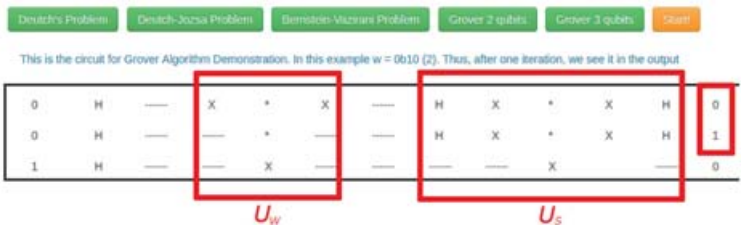


Рис. 5.3. Алгоритм Гровера на двух кубитах.  $\omega = 0 \times 10 = 2$

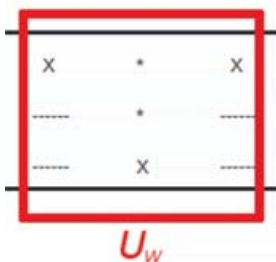


Рис. 5.4. Оператор  $U_\omega$ .  $\omega = 0 \times 10 = 2$

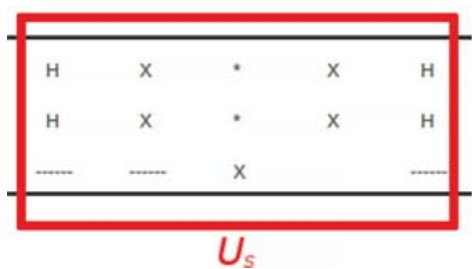


Рис. 5.5. Оператор  $U_s$

Оператор  $U_\omega$  (рис. 5.4) действует (выполняется контролируемый двумя кубитами аргумента оператор CNOT), только если верхний (младший) бит аргумента равен 0, а средний

(старший) бит аргумента равен 1, что соответствует двоичному представлению числа 2. Гейт  $X$  на первом (младшем) кубите аргумента повторяется дважды: первый раз для того, чтобы выполнилось условие действия CNOT для значения  $0 \times 10$ , а второй — чтобы вернуть младший кубит аргумента к его первоначальному значению (нейтрализовать действие первого  $X$ ).

Оператор  $U_s$  (рис. 5.5) действует как отражение относительно вектора  $|s\rangle$ , что соответствует отражению относительно вектора  $|+\rangle^n$  в базисе Адамара. Применяв преобразование Адамара (слева и справа), мы получаем возможность реализовать  $U_s$  как отражение относительно вектора  $|0\rangle^n$ .

Давайте еще раз посмотрим на схему нашего алгоритма.

1. Почему мы именно таким образом выбрали наше начальное состояние — вектор  $|s\rangle$ ? Дело в том, что каждая итерация Гровера приближает вектор системы к искомому вектору на угол  $2\theta$ . Чем больше угол  $\theta$ , тем быстрее мы решим задачу. Мы исходим из предположения, что нам ничего не известно про вектор  $|\omega\rangle$ , и, соответственно, единственный вектор, угол которого с  $|s\rangle$  мы знаем, — это вектор, равноудаленный от всех других векторов.

2. Мы предположили, что искомая точка только одна. Если их несколько, скажем,  $k$ , то по вертикальной оси тоже возникает гиперплоскость из всех этих векторов, а  $\sin \theta$  становится равен  $\frac{\sqrt{k}}{\sqrt{2^n}}$ . Это потребует перерасчета числа итераций. Таким образом, нам необходимо знать точно, сколько решений у поставленной нам задачи. Если мы этого не знаем, то рискуем неверно рассчитать количество итераций и проскочить искомые вектора. В алгоритме Гровера, добавляя итерации сверх оптимального числа, мы отдаляемся от решения!

3. И наконец, почему мы именно так определили оператор  $U_s$ ? Нам в пространстве аргумента необходима точка, от которой мы могли бы отражаться в направлении  $|\omega\rangle$ . Чем ближе эта точка к  $|\omega\rangle$ , тем меньше нам потребуется отражений. Если бы эта точка лежала ровно на середине пути, то мы попали бы в  $|\omega\rangle$  всего за одну итерацию! Но где же взять эту точку?

Если мы ничего не знаем об  $\omega$ , то опять же наилучшей для таких отражений для нас будет точка, равноудаленная от всех векторов пространства.

### Гипотетический квантовый компьютер с архитектурой фон Неймана

Давайте немного пофантазируем. Когда мы только запускаем алгоритм Гровера, мы ничего не знаем о состоянии  $|\omega\rangle$ . Представим, что мы выполнили ровно половину итераций Гровера (рис. 5.6, справа). Вектор системы  $|s_6\rangle$  знает о состоянии  $|\omega\rangle$  намного больше, чем мы. Он находится ровно на половине пути. Если бы мы могли отразиться от этого вектора, мы бы пришли в состояние  $|\omega\rangle$  всего за одну итерацию!

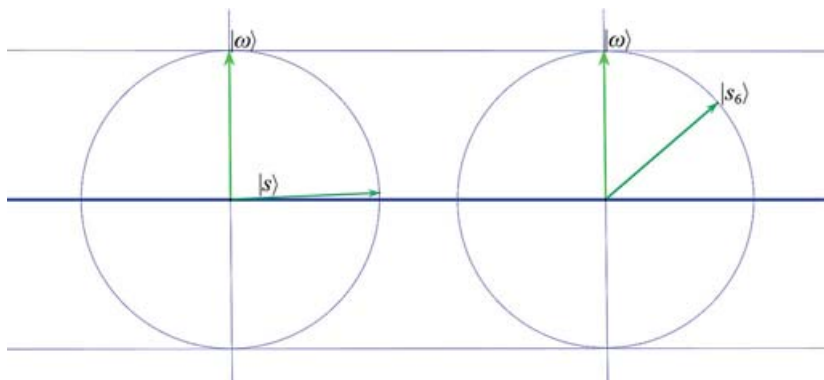
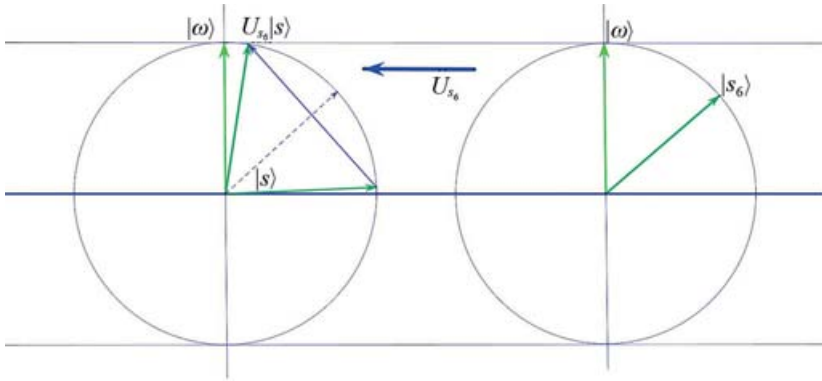
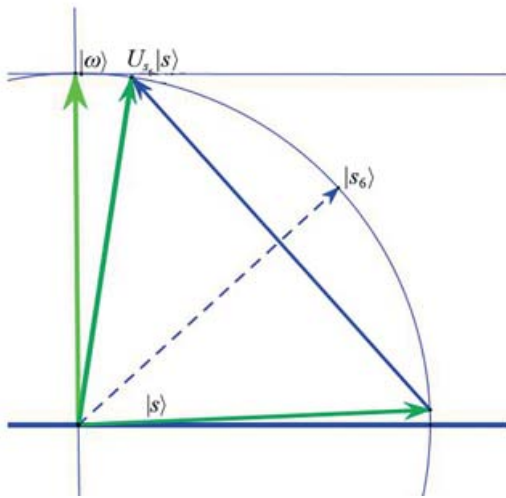


Рис. 5.6. Алгоритм Гровера на двух квантовых системах

Проблема заключается в том, что нам нечего отразить относительно этого вектора, поскольку он сам является вектором системы. Вот если бы мы могли использовать его как оператор в некоторой другой системе, в которой итерации Гровера еще не начались... Вот тогда бы нам действительно удалось прийти в  $|\omega\rangle$  за одну итерацию (рис. 5.7, 5.8). Более того, само состояние  $|s_6\rangle$  можно было бы получить из состояния  $|s_3\rangle$  всего за одну итерацию совершенно таким же способом (рис. 5.9, 5.10). И вместо  $\sqrt{2^n}$  итераций мы получили бы только  $n$ .

Рис. 5.7. Получение оператора  $U_{s_6}$ Рис. 5.8. Действие оператора  $U_{s_6}$ 

Для подобного усовершенствования нам нужно научиться использовать состояния (квантовые данные) как операторы — квантовые гейты. В классических вычислениях это называется архитектурой фон Неймана [von Neumann, 1945].

К сожалению, в настоящий момент физическая реализация этой архитектуры для квантовых вычислений находится

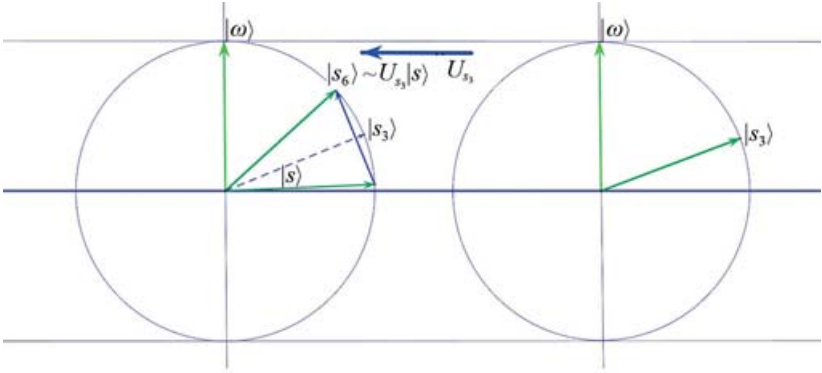


Рис. 5.9. Получение оператора  $U_{s_3}$

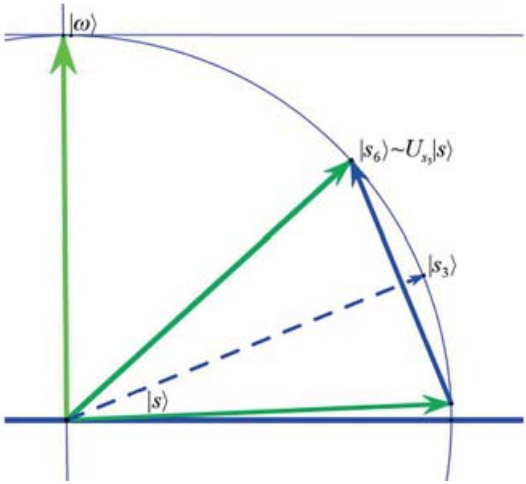


Рис. 5.10. Действие оператора  $U_{s_3}$

под большим вопросом. Подобная операция не входит в математическую модель, которую мы разобрали в гл. 2. Поэтому прекращаем фантазировать и переходим к доказательству оптимальности алгоритма Гровера в рамках той модели, которая у нас есть.

### 5.3. Оптимальность алгоритма Гровера

Мы выяснили, что для квантовых вычислений существует алгоритм, позволяющий находить прообраз неизвестной функции  $f$  за время  $O(2^{n/2})$ , где  $n$  — разрядность аргумента  $f$ . Это впечатляющее открытие может вселить в нас подогреваемую успехом Питера Шора надежду на то, что можно придумать алгоритм еще лучше, который давал бы нам результат еще более быстрый, может быть даже экспоненциально. Надежде этой тем не менее не суждено сбыться, по крайней мере в рамках принятой нами модели вычислений. В случае если про функцию  $f_\omega$  ничего неизвестно кроме числа ее особых точек, на которых она равна 1, алгоритм Гровера является оптимальным для поиска указанных точек.

Для того чтобы доказать это, введем некоторые обозначения:

- 1)  $|\omega\rangle$  — искомое *помеченное* состояние;
- 2)  $U(\omega, t) = U_t U_\omega U_{t-1} U_\omega \cdots U_1 U_\omega$  — унитарный оператор, включающий в себя  $t$  обращений к оракулу  $U_\omega$ . Этот оператор имеет смысл обобщенного алгоритма поиска  $|\omega\rangle$  посредством вызовов оракула. В алгоритме Гровера, например, все операторы  $U_i$  равны оператору  $U_s$ . Каждый вызов оракула  $U_\omega$  мы будем считать за отдельную итерацию алгоритма;
- 3)  $|\psi_0\rangle$  — начальное состояние системы;
- 4)  $|\psi_t\rangle = U(\omega, t) |\psi_0\rangle$  — состояние системы после итерации  $t$ ;
- 5)  $T : U(\omega, T) |\psi_0\rangle = |\psi_T\rangle \approx |\omega\rangle$  — число итераций, после выполнения которых вектор системы оказывается достаточно близок к искомому вектору  $|\omega\rangle$ ;
- 6)  $|\psi_\omega\rangle = |\psi_T\rangle$ ;
- 7)  $N = 2^n$ .

Мы докажем, что существует такой единичный вектор  $|\phi\rangle$ , для которого выполняется следующее двойное неравенство:

$$4T^2 \geq \sum_{\omega=0}^{N-1} \|\psi_\omega - \phi\|^2 \geq 2N - 2\sqrt{N}. \quad (5.2)$$

Поскольку левая и правая части неравенства не зависят от вектора  $|\phi\rangle$ , неравенство (5.3) верно всегда:

$$4T^2 \geq 2N - 2\sqrt{N}, \quad (5.3)$$

и мы вправе сделать вывод, что для любого алгоритма  $U(\omega, t)$  число итераций  $T$ , необходимых для нахождения  $|\omega\rangle$ , будет иметь порядок  $O(\sqrt{N})$ , что соответствует сложности алгоритма Гровера:

$$T \geq \sqrt{\frac{N}{2} - \frac{\sqrt{N}}{2}} \sim O(\sqrt{N}).$$

### Доказательство правой части неравенства (5.2)

Во-первых, заметим, что для разных значений  $\omega$  векторы  $|\psi_\omega\rangle$  формируют почти ортонормированный базис:

$$\langle \psi_{\omega_i} | \psi_{\omega_j} \rangle =: \Delta_{i,j},$$

$$|\Delta_{i,j}| \approx 0.$$

При значении  $|\Delta_{i,j}|$  намного отличающемся от 0, мы можем получить с большой вероятностью, например, результат  $|\omega_i\rangle$  вместо  $|\omega_j\rangle$ , что противоречит нашему предположению об эффективности алгоритма  $U(\omega, T)$ . Поэтому далее мы будем считать  $|\Delta_{i,j}|$  равным 0, а набор векторов  $|\psi_\omega\rangle$  — ортонормированным.

Распишем подробнее среднюю часть неравенства (5.2):

$$\begin{aligned} & \sum_{\omega=0}^{N-1} \| |\psi_\omega\rangle - |\phi\rangle \|^2 = \\ &= \sum_{\omega=0}^{N-1} \|\psi_\omega\|^2 + \sum_{\omega=0}^{N-1} \|\phi\|^2 - \sum_{\omega=0}^{N-1} \langle \psi_\omega | \phi \rangle - \sum_{\omega=0}^{N-1} \langle \phi | \psi_\omega \rangle. \end{aligned} \quad (5.4)$$

Запишем разложение вектора  $|\phi\rangle$  в базисе  $|\psi_\omega\rangle$ :

$$|\phi\rangle = (x_0, x_1, x_2, \dots, x_{n-1}), \quad (5.5)$$

$$x_j = a_j + b_j i.$$



Подставив (5.5) в (5.3.) и заменив нормы единичных векторов единицами, получаем

$$\begin{aligned} & \sum_{\omega=0}^{N-1} \| |\psi_{\omega}\rangle - |\phi\rangle \|^2 = \\ & = 2N - \sum_{j=0}^{N-1} (x_j + x_j^*) = 2N - 2 \sum_{j=0}^{N-1} \operatorname{Re}(x_j) = 2N - 2 \sum_{j=0}^{N-1} a_j. \end{aligned} \quad (5.6)$$

**Лемма 1.** Для любого набора вещественных чисел  $c_j$ ,  $j = 1 \dots K$ , выполняется неравенство

$$\left( \sum_{j=1}^K c_j \right)^2 \leq K \sum_{j=1}^K c_j^2.$$

**Доказательство леммы 1**

$$\begin{aligned} & \left( \sum_{j=1}^K c_j \right)^2 + \frac{1}{2} \sum_{i,j=1}^K (c_i - c_j)^2 = \\ & = \sum_{i,j=1}^K c_i c_j + \frac{1}{2} K \sum_{i=1}^K c_i^2 + \frac{1}{2} K \sum_{j=1}^K c_j^2 - \sum_{i,j=1}^K c_i c_j = K \sum_{j=1}^K c_j^2. \end{aligned}$$

Получается, что

$$\left( \sum_{j=1}^K c_j \right)^2 + \frac{1}{2} \sum_{i,j=1}^K (c_i - c_j)^2 = K \sum_{j=1}^K c_j^2 \implies \left( \sum_{j=1}^K c_j \right)^2 \leq K \sum_{j=1}^K c_j^2.$$

Лемма доказана.

Из определения скалярного произведения и нормированности векторов  $\phi$  можно сделать следующий вывод:

$$\langle \phi | \phi \rangle = 1 \implies \sum_{j=0}^{N-1} x_j x_j^* = 1 = \sum_{j=0}^{N-1} (a_j^2 + b_j^2) \implies \sum_{j=0}^{N-1} a_j^2 \leq 1. \quad (5.7)$$

Из (5.7) и леммы 1 следует

$$N \geq N \sum_{j=0}^{N-1} a_j^2 \geq \left( \sum_{j=0}^{N-1} a_j \right)^2 \implies \sqrt{N} \geq \sum_{j=0}^{N-1} a_j. \quad (5.8)$$

Подставляя (5.8) в (5.6), получаем

$$2N - 2 \sum_{j=0}^{N-1} a_j \geq 2N - 2\sqrt{N},$$

и правая часть неравенства доказана для любого единичного вектора  $|\phi\rangle$ .

### Доказательство левой части неравенства (5.2)

Оператор  $U(\omega, t)$  мы определили следующим образом:

$$U(\omega, t) = U_t U_\omega U_{t-1} U_\omega \cdots U_1 U_\omega.$$

Определим вектор  $|\phi_t\rangle$ :

$$|\phi_t\rangle = U_t U_{t-1} U_{t-2} \cdots U_1 |\psi_0\rangle.$$

Этот вектор получается из вектора начального состояния при действии алгоритма  $U(\omega, t)$ , из которого убраны (заменены на  $I$ ) все вызовы оракула  $U_\omega$ .

Рассмотрим следующую величину:

$$E(\omega, t) := \|(U_\omega - I) |\psi_t\rangle\| = \|(I - 2|\omega\rangle\langle\omega| - I) |\psi_t\rangle\| = 2\|\langle\omega|\psi_t\rangle|. \quad (5.9)$$

Определим функцию  $F(t)$ :

$$F(t) := \|\psi_t\rangle - \phi_t\rangle\| = \|U_t U_\omega |\psi_{t-1}\rangle - U_t |\phi_{t-1}\rangle\|.$$

Добавим и вычтем внутри нормы значение  $U_t |\psi_{t-1}\rangle$ :

$$\begin{aligned} F(t) &= \|U_t U_\omega |\psi_{t-1}\rangle - U_t |\psi_{t-1}\rangle + U_t |\psi_{t-1}\rangle - U_t |\phi_{t-1}\rangle\| \leq \\ &\leq \|U_t (U_\omega - I) |\psi_{t-1}\rangle\| + \|U_t (|\psi_{t-1}\rangle - |\phi_{t-1}\rangle)\| = \end{aligned}$$

$$\begin{aligned}
&= \|(U_\omega - I)|\psi_{t-1}\rangle\rangle\| + \||\psi_{t-1}\rangle - |\phi_{t-1}\rangle\| = \\
&= E(\omega, t-1) + F(t-1).
\end{aligned} \tag{5.10}$$

(поскольку оператор  $U_t$  унитарен, его можно убрать из нормы).

Из (5.10) и (5.9) следует

$$\begin{aligned}
F(T) = \||\psi_\omega\rangle - |\phi_T\rangle\| &\leq 2 \sum_{t=1}^T |\langle\omega|\psi_{t-1}\rangle| \implies \\
\implies \||\psi_\omega\rangle - |\phi_T\rangle\|^2 &\leq 4 \left( \sum_{t=1}^T |\langle\omega|\psi_{t-1}\rangle| \right)^2.
\end{aligned}$$

Применим лемму 1:

$$F(T) \leq 4T \sum_{t=1}^T |\langle\omega|\psi_{t-1}\rangle|^2.$$

Теперь мы можем оценить сверху среднюю часть неравенства (5.2) для вектора  $|\phi_T\rangle$ :

$$\begin{aligned}
\sum_{\omega=0}^{N-1} \||\psi_\omega\rangle - |\phi_T\rangle\|^2 &\leq 4T \sum_{\omega=0}^{N-1} \sum_{t=1}^T |\langle\omega|\psi_{t-1}\rangle|^2 = \\
&= 4T \sum_{t=1}^T \sum_{\omega=0}^{N-1} |\langle\omega|\psi_{t-1}\rangle|^2 = 4T \sum_{t=1}^T 1 = 4T^2,
\end{aligned}$$

так как

$$\sum_{\omega=0}^{N-1} |\langle\omega|\psi_{t-1}\rangle|^2$$

является квадратом нормы вектора  $|\psi_{t-1}\rangle$ .

Левая часть неравенства (5.2) доказана.

## 5.4. Всегда ли квантовый компьютер имеет преимущество перед классическим?

До настоящего момента мы рассматривали задачи, в решении которых квантовый компьютер показывал себя лучше, чем классический. У читателя может возникнуть ощущение, что это всегда так. К сожалению, нет.

Рассмотрим функции вида

$$f(x) : \{0, 1\}^n \rightarrow \{0, 1\}$$

и определим для каждой из них строку

$$x(f) = x_{N-1}x_{N-2} \cdots x_0,$$

$$N = 2^n, \quad x_i = f(i).$$

Оракул  $U_f$  мы определяли следующим образом:

$$U_f |x\rangle |y\rangle = |x\rangle |y \oplus f(x)\rangle.$$

Следовательно,

$$\forall i \in \{0, \dots, N-1\},$$

$$U_f |i\rangle |y\rangle = x_i |i\rangle |y \oplus 1\rangle + (1 - x_i) |i\rangle |y\rangle.$$

Получается, что после  $T$  вызовов оракула  $U_f$  коэффициент при каждом базисном векторе будет полиномом степени  $T$  от различных  $x_i$ .

Обозначим  $\tilde{x}_i = 1 - 2x_i$  и рассмотрим функцию «четность»:

$$\text{Parity}(\tilde{x}) = \prod_{i=0}^{N-1} \tilde{x}_i,$$

которая равна 1, если функция  $f$ , для которой определена строка  $x(f)$ , равна 1 для четного числа аргументов. В противном случае функция  $\text{Parity}$  равна  $-1$ .

Представим, что имея оператор  $U_f$  в виде квантового черного ящика, мы хотим определить четность функции  $f$ .

Классическая сложность этой задачи —  $N$  обращений к оракулу. По своему обыкновению, мы разработали некий эффективный, с нашей точки зрения, квантовый алгоритм, определяющий четность функции  $f$  за  $T$  обращений к квантовому оракулу  $U_f$ . Мы предполагаем при этом, что  $T < N/2$ , т.е. наш алгоритм дает по крайней мере двухкратное ускорение по сравнению с классическим перебором.

После запуска этого алгоритма при каждом из базисных векторов образовался полином от  $x_i$  степени  $T$ , и, следовательно, вероятность измерения любого из них равна полиному степени  $2T < N$ . Какие-то из этих векторов, в случае получения их в результате измерения, мы будем интерпретировать как признак четности функции. Обозначим вероятность получения при измерении векторов этого типа —  $P_{\text{even}}^{2T}$ .

Рассмотрим сумму по всем функциям вероятностей ответа «четная» на нашем устройстве, умноженных на реальную четность функции:

$$\sum_{\tilde{x}} P_{\text{even}}^{2T}(\tilde{x}) \prod_{i=0}^{N-1} \tilde{x}_i. \quad (5.11)$$

Мы можем выделить некоторый индекс  $j$  и разбить сумму (5.11) на две части — первую по всем функциям, таким, что  $f(j) = 0$ ; вторую — по всем функциям, таким, что  $f(j) = 1$ :

$$(5.11) = \sum_{\tilde{x}: \tilde{x}_j=1} P_{\text{even}}^{2T}(\tilde{x}) \prod_{i \neq j} \tilde{x}_i - \sum_{\tilde{x}: \tilde{x}_j=-1} P_{\text{even}}^{2T}(\tilde{x}) \prod_{i \neq j} \tilde{x}_i. \quad (5.12)$$

Поскольку  $2T < N$ , для каждого одночлена  $M$  из  $P_{\text{even}}^{2T}$  мы можем найти индекс  $j$ , такой, что  $x_j$  не входит в этот одночлен. Тогда для этого одночлена выражение (5.12) обращается в 0:

$$\begin{aligned} & \sum_{\tilde{x}: \tilde{x}_j=1} M(\tilde{x}) \prod_{i \neq j} \tilde{x}_i - \sum_{\tilde{x}: \tilde{x}_j=-1} M(\tilde{x}) \prod_{i \neq j} \tilde{x}_i = \\ & = \sum_{\tilde{x}} M(\tilde{x}) \prod_{i \neq j} \tilde{x}_i - \sum_{\tilde{x}} M(\tilde{x}) \prod_{i \neq j} \tilde{x}_i = 0. \end{aligned}$$

Поскольку это верно для каждого одночлена, то и вся сумма (5.11) оказывается равна 0!

Распишем это открытие вот так:

$$\begin{aligned}
 0 &= \sum_{\tilde{x}} P_{\text{even}}^{2T}(\tilde{x}) \prod_{i=0}^{N-1} \tilde{x}_i = \sum_{\tilde{x}: \tilde{x} \text{ even}} P_{\text{even}}^{2T}(\tilde{x}) - \sum_{\tilde{x}: \tilde{x} \text{ odd}} P_{\text{even}}^{2T}(\tilde{x}) \Rightarrow \\
 &\Rightarrow \sum_{\tilde{x}: \tilde{x} \text{ even}} P_{\text{even}}^{2T}(\tilde{x}) = \sum_{\tilde{x}: \tilde{x} \text{ odd}} P_{\text{even}}^{2T}(\tilde{x}).
 \end{aligned}$$

Получается, что если мы вызывали оракул  $U_f$  меньше  $N/2$  раз, то вероятность получить ответ, что функция четная, одинакова для четных и нечетных функций. Значит, квантовые вычисления для этой задачи не дают ускорения даже в 2 раза.

На этой оптимистичной ноте мы заканчиваем наше краткое знакомство с квантовыми вычислениями. Надеюсь, что представленный здесь материал разбудил интерес читателя к дальнейшему изучению темы и проведению своих собственных исследований в этой области. С моей стороны остается пожелать удачи в этом нелегком, но интересном занятии.

## 5.5. Упражнения

### Упражнение 5.1

Оператор  $U_s$  в пространстве трех кубитов реализуется схемой на рис. 5.11.

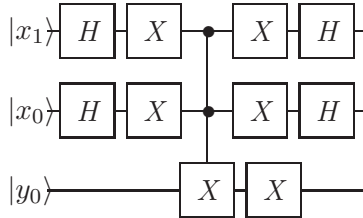


Рис. 5.11. Схема оператора  $U_s$

Кубит  $|y\rangle$  содержит значение  $H|1\rangle$ . Выберите верные утверждения:

- 1) последовательное применение операторов  $H$  и  $X$  к кубитам  $|x_0\rangle$  и  $|x_1\rangle$  отображает вектор  $|s\rangle$  в вектор  $|11\rangle$ ;
- 2) последовательное применение операторов  $H$  и  $X$  к кубитам  $|x_0\rangle$  и  $|x_1\rangle$  отображает вектор  $|s\rangle$  в вектор  $|00\rangle$ ;
- 3) оператор CNOT (кубиты  $|x_0\rangle, |x_1\rangle$  — контрольные,  $|y\rangle$  — контролируемый) действует только на вектор  $|11y\rangle$ , остальные векторы этот оператор не затрагивает;
- 4) оператор CNOT на схеме домножает вектор  $|11y\rangle$  на  $-1$ , а остальные векторы не затрагивает;
- 5) последовательное применение операторов  $X$  и  $H$  к кубитам  $|x_0\rangle$  и  $|x_1\rangle$  отображает вектор  $|11\rangle$  в вектор  $|s\rangle$ . Получается, что в векторе системы компонента  $|s\rangle$  оказалась домножена на  $-1$ , а ортогональные ей компоненты остались неизменными;
- 6) оператор  $X$  на кубите  $|y\rangle$  домножает вектор системы на  $-1$ , в результате чего вектор системы оказывается отражен относительно вектора  $|s\rangle$  (все компоненты, ортогональные  $|s\rangle$ , домножены на  $-1$ , а компонента, сонаправленная с  $|s\rangle$ , — нет);
- 7) оператор  $X$  на кубите  $|y\rangle$  можно убрать из схемы, так как в выражении для косинуса угла в гильбертовом пространстве стоит модуль и  $|\langle x|y\rangle| = |\langle -x|y\rangle|$ .

### Упражнение 5.2

Сколько требуется итераций Гровера, если  $N = 4$ ?

### Упражнение 5.3

Сколько требуется итераций Гровера, если  $n = 32$ ?

### Упражнение 5.4

Является ли дифференцируемой функция  $f(|x\rangle) = \langle x|x\rangle$  в пространстве над комплексными числами?

## Упражнение 5.5

Мы решаем задачу коммивояжера на графе с 10 узлами при помощи алгоритма Гровера. Сколько итераций Гровера нам потребуется сделать?

## Упражнение 5.6

Небольшая «утечка» данных из черного ящика, скрывающего от наших глаз устройство функции  $f_\omega$ , позволила нам несколько модифицировать вектор начального состояния  $|s\rangle$  и, соответственно, оператор  $U_s$ .

$$|s\rangle = \frac{1}{\sqrt{N+2}} \sum_{x \neq \omega} |x\rangle + \frac{\sqrt{3}}{\sqrt{N+2}} |\omega\rangle.$$

Что даст такое усовершенствование при больших  $N$ ?

## Упражнение 5.7

Выберите все «четные» функции (все такие  $f$ , для которых  $\prod_{i=0}^{N-1} \tilde{x}_i = 1$ ):

- 1) функция, возвращающая младший бит аргумента;
- 2) функция, возвращающая бит аргумента с номером  $k$ ;
- 3) константа 1;
- 4) константа 0;
- 5) характеристическая функция множества мощности 5;
- 6)  $f(x) = 1$ , если и только если  $x$  имеет нечетное число единиц в двоичном представлении. Размерность  $x = n > 1$ ;
- 7)  $f(x) = 1$ , если и только если  $x$  имеет четное число единиц в двоичном представлении. Размерность  $x = n > 1$ .



## ИСПОЛЬЗОВАННАЯ ЛИТЕРАТУРА

- Bernstein E., Vazirani U. 1993. Quantum complexity theory. Proceedings of the Twenty-Fifth Annual ACM Symposium on Theory of Computing (STOC '93): 11–20.
- Cook S. A. 1971. The complexity of theorem-proving procedures. Proceedings of the Third Annual ACM Symposium on Theory of computing (May 1971): 151–158.
- Deutsch D., Jozsa R. 1992. Rapid solutions of problems by quantum computation. Proceedings of the Royal Society A mathematical physical and engineering Sciences 439: 553. <https://doi.org/10.1098/rspa.1992.0167>
- Deutsch D. 1985. Quantum theory, the Church-Turing principle and the universal quantum computer. Proceedings of the Royal Society A mathematical physical and engineering Sciences 400: 97.
- Feynman R. P. 1982. Simulating physics with computers. International Journal of Theoretical Physics 21 (6/7): 467–488.
- Grover L. K. 1996. A fast quantum mechanical algorithm for database search. Proceedings of the Twenty-Eighth Annual ACM Symposium on Theory of Computing (STOC '96): 212–219.
- Hugh E. [1956], 1973. The Theory of the Universal Wave Function. Thesis. Princeton: Princeton University: 1–140.
- Shor P. W. 1994. Algorithms for quantum computation: discrete logarithms and factoring. Proceedings 35<sup>th</sup> Annual Symposium on Foundations of Computer Science: 124–134.
- Simon D. R. 1994. On the power of quantum computation. Proceedings 35<sup>th</sup> Annual Symposium on Foundations of Computer Science: 116–123.
- Turing A. 1938. Systems of Logic Based on Ordinals. PhD thesis. Princeton: Princeton University.
- Neumann J. von. 1993. First Draft of a Report on the EDVAC. IEEE Annals of the History of Computing 15 (4): 27–75.

## РЕКОМЕНДОВАННАЯ ЛИТЕРАТУРА

- Дойч Д. 2015. Структура реальности. Наука о параллельных вселенных. М.: Альпина нон-фикшн.
- Дойч Д. 2015. Начало бесконечности. Объяснения, которые меняют мир. М.: Альпина нон-фикшн.
- Коноплев Ю.М., Сысоев С.С. Симулятор квантового компьютера. <http://qc-sim.appspot.com> (дата обращения: 11.03.2019).
- Deutsch D. 1985. Quantum theory, the Church-Turing principle and the universal quantum computer. Proceedings of the Royal Society A mathematical physical and engineering Sciences 400: 97–117.
- Garey M. R., Johnson D. S. 1979. Computers and Intractability: A Guide to the Theory of NP-Completeness. W. H. Freeman and Co.
- Preskill J. Lecture notes for “Physics 219/Computer Science 219. Quantum Computation” (Formerly Physics 229). <http://www.theory.caltech.edu/people/preskill/ph229/index.html> (accessed 11.03.2019).



## ОТВЕТЫ К УПРАЖНЕНИЯМ

### Глава 1. Вычисления. От классических к квантовым

#### Упражнение 1.1

У любой строки из  $n$  битов, переданной по этому каналу, испорчено от 0 до 1 бита. Следовательно, у каждой строки есть  $(n + 1)$  возможных прообразов — вариантов строк, которые могут означать полученное сообщение. Эти варианты не должны пересекаться для разных сообщений. Поэтому число различных сообщений, которое можно передать по такому каналу, равно  $\frac{2^n}{n+1}$ .

Информационная емкость передачи

$$I = \log_2 \frac{2^n}{n+1} = n - \log_2(n+1).$$

### Глава 2. Математическая модель квантовых вычислений

#### Упражнение 2.1

3.

#### Упражнение 2.2

$$\frac{1-i}{2}.$$

#### Упражнение 2.3

$$e^{ix} = \cos x + i \sin x, \quad x = i, x = -i,$$

$$\exp(-1) = \cos i + i \sin i, \quad e = \cos i - i \sin i \implies \sin i = \frac{\exp(-1) - e}{2i}.$$

## Упражнение 2.4

$$e^{a+bi} = 1 + i = \sqrt{2}e^{i\frac{\pi}{4}} \implies \ln(1+i) = \frac{\ln 2}{2} + \frac{i\pi}{4}.$$

## Упражнение 2.5

Варианты 1, 3, 5, 6.

## Упражнение 2.6

$$\frac{13}{16}.$$

## Упражнение 2.7

$$\frac{5 - 2\sqrt{2}}{16}.$$

## Упражнение 2.8

$$\frac{1}{2}.$$

## Упражнение 2.9

Вариант 4.

## Упражнение 2.10

0.

## Упражнение 2.11

$$\frac{1}{2}.$$

## Упражнение 2.12

Вариант 2.

## Упражнение 2.13

Вариант 4.

## Упражнение 2.14

Вариант 3.

### Упражнение 2.15

Вариант 1.

## Глава 3. Квантовый компьютер и квантовые алгоритмы

### Упражнение 3.1

Вариант 4. Такой функции  $f$  не существует, поскольку оператор  $U_f$  для любой функции оставляет кубит аргумента неизменным.

### Упражнение 3.2

Вариант 3.

### Упражнение 3.3

Вариант 2. Полуволновые пластины на обоих плечах интерферометра домножают состояние на  $-1$  независимо от значения первого кубита. Домножение  $(|0\rangle - |1\rangle)$  на  $-1$  равносильно действию оператора  $X$ .

### Упражнение 3.4

Вариант 1.

### Упражнение 3.5

2.

### Упражнение 3.6

Вариант 4.

## Глава 4. Алгоритм Шора

### Упражнение 4.1

Вычислив

$$m_1 \oplus m_2 \oplus m_3 = m \oplus A \oplus m \oplus A \oplus B \oplus m \oplus B = m,$$

Ева может получить сообщение  $m$ .

### Упражнение 4.2

19.

## Упражнение 4.3

Нельзя, поскольку для такого  $m$  нельзя подобрать число  $d$ , такое, что  $md = 1(\Phi(N))$ :

$$(m, \Phi(N)) = k, \quad m = ki_1, \quad \Phi(N) = ki_2,$$

$$md = ki_1d \neq 1 + \Phi(N)i_3 = 1 + ki_2i_3,$$

поскольку левая часть делится на  $k$ , а правая — нет.

## Упражнение 4.4

2311, 4937.

## Упражнение 4.5

0.

## Упражнение 4.6

Схема 2.

## Упражнение 4.7

Вариант 4.

## Упражнение 4.8

Вариант 4.

## Упражнение 4.9

1, 3, 4.

## Упражнение 4.10

1. Да.

## Упражнение 4.11

$$\frac{9}{14}.$$

## Глава 5. Алгоритм Гровера и границы квантовых вычислений

## Упражнение 5.1

1, 3, 4, 5, 6, 7.

Упражнение 5.2

1.

Упражнение 5.3

51 472.

Упражнение 5.4

Нет, условия Коши—Римана не выполняются.

Упражнение 5.5

$$\lfloor 2^{\frac{\lceil \lg(10!) \rceil}{2} - 2} \pi \rfloor = 1608.$$

Упражнение 5.6

Позволит сократить число итераций в  $\sqrt{3}$  раз.

Упражнение 5.7

1, 2, 3, 4, 6, 7.



Научное издание

*СЫСОЕВ Сергей Сергеевич*

**ВВЕДЕНИЕ В КВАНТОВЫЕ ВЫЧИСЛЕНИЯ.  
КВАНТОВЫЕ АЛГОРИТМЫ**

*Учебное пособие*

Редактор *А. Б. Иванова*

Корректор *Е. В. Величкина*

Компьютерная верстка *А. М. Вейшторп*

Обложка *Е. Р. Куныгина*

Подписано в печать 27.03.2019. Формат  $60 \times 90^{1/16}$ . Усл. печ. л. 9.  
Планируемый тираж 1000 экз. 1-й завод — 100 экз. Заказ № .

Издательство Санкт-Петербургского университета.  
199004, Санкт-Петербург, В. О., 6-я линия, д. 11.  
Тел./факс +7(812) 328-44-22  
[publishing@spbu.ru](mailto:publishing@spbu.ru)



**[publishing.spbu.ru](http://publishing.spbu.ru)**

Типография Издательства СПбГУ.  
199034, Санкт-Петербург, Менделеевская линия, д. 5.

Книги Издательства СПбГУ можно приобрести  
по издательским ценам в Доме университетской книги СПбГУ

Санкт-Петербург, Менделеевская линия, д. 5

Тел. (812) 329-24-71

Часы работы: 10.00–20.00 пн. — сб.,  
а также на сайте [publishing.spbu.ru](http://publishing.spbu.ru)